

N° d'ordre : 1282

50376
1985
251

50376
1985
251

UNIVERSITE DES SCIENCES ET TECHNIQUES DE LILLE

THÈSE

présentée à

L'UNIVERSITE DES SCIENCES ET TECHNIQUES DE LILLE

pour obtenir le titre de

DOCTEUR DE 3ème CYCLE

(Mathématiques appliquées)

par

Fatma ZEDEK



INTERPOLATION SUR UN DOMAINE CARRE PAR DES SPLINES QUADRATIQUES A DEUX VARIABLES

Thèse soutenue le Mercredi 26 Juin 1985 devant la Commission d'Examen

Membres du Jury :

P. POUZET
P. SABLONNIERE
R. ARCANGELI
C. BREZINSKI

Président
Rapporteur
Examineurs

P R O F E S S E U R S C L A S S E E X C E P T I O N N E L L E

M. CONSTANT Eugène	I.E.E.A.
M. FOURET René	Physique
M. GABILLARD Robert	I.E.E.A.
M. MONTREUIL Jean	Biologie
M. PARREAU Michel	Mathématiques
M. TRIDOT Gabriel	Chimie
M. VIVIER Emile	Biologie
M. WERTHEIMER Raymond	Physique

P R O F E S S E U R S l è r e c l a s s e

M. BACCHUS Pierre	Mathématiques
M. BEAUFILS Jean-Pierre (dét.)	Chimie
M. BIAYS Pierre	G.A.S.
M. BILLARD Jean (dét.)	Physique
M. BOILLY Bénoni	Biologie
M. BOIS Pierre	Mathématiques
M. BONNELLE Jean-Pierre	Chimie
M. BOUGHON Pierre	Mathématiques
M. BOURIQUET Robert	Biologie
M. BREZINSKI Claude	I.E.E.A.
M. CELET Paul	Sciences de la Terre
M. CHAMLEY Hervé	Biologie
M. COEURE Gérard	Mathématiques
M. CORDONNIER Vincent	I.E.E.A.
M. DEBOURSE Jean-Pierre	S.E.S.
M. DYMENT Arthur	Mathématiques

PROFESSEURS 1ère classe (suite)

M. ESCAIG Bertrand	Physique
M. FAURE Robert	Mathématiques
M. FOCT Jacques	Chimie
M. GRANELLE Jean-Jacques	S.E.S.
M. GRUSON Laurent	Mathématiques
M. GUILLAUME Jean	Biologie
M. HECTOR Joseph	Mathématiques
M. LABLACHE COMBIER Alain	Chimie
M. LACOSTE Louis	Biologie
M. LAVEINE Jean Pierre	Sciences de la Terre
M. LEHMANN Daniel	Mathématiques
Mme LENOBLE Jacqueline	Physique
M. LHOMME Jean	Chimie
M. LOMBARD Jacques	S.E.S.
M. LOUCHEUX Claude	Chimie
M. LUCQUIN Michel	Chimie
M. MIGEON Michel Recteur à Grenoble	E.U.D.I.L.
M. MIGNOT Fulbert (dét.)	Mathématiques
M. PAQUET Jacques	Sciences de la Terre
M. PROUVOST Jean	Sciences de la Terre
M. ROUSSEAU Jean-Paul	Biologie
M. SALMER Georges	I.E.E.A.
M. SEGUIER Guy	I.E.E.A.
M. SIMON Michel	S.E.S.
M. STANKIEWICZ François	S.E.S.
M. TILLIEU Jacques	Physique
M. VIDAL Pierre	I.E.E.A.
M. ZEYTOUNIAN Radyadour	Mathématiques

P R O F E S S E U R S 2ème classe

M. ANTOINE Philippe	Mathématiques (Calais)
M. BART André	Biologie
Mme BATTIAU Yvonne	Géographie
M. BEGUIN Paul	Mathématiques
M. BELLET Jean	Physique
M. BERZIN Robert	Mathématiques
M. BKOUCHE Rudolphe	Mathématiques
M. BODARD Marcel	Biologie
M. BOSQ Denis	Mathématiques
M. BRASSELET Jean-Paul	Mathématiques
M. BRUYELLE Pierre	Géographie
M. CAPURON Alfred	Biologie
M. CARREZ Christian	I.E.E.A.
M. CAYATTE Jean-Louis	S.E.S.
M. CHAPOTON Alain	C.U.E.E.P.
M. COQUERY Jean-Marie	Biologie
Mme CORSIN Paule	Sciences de la Terre
M. CORTOIS Jean	Physique
M. COUTURIER Daniel	Chimie
M. CROSNIER Yves	I.E.E.A.
M. CURGY Jean-Jacques	Biologie
Mlle DACHARRY Monique	Géographie
M. DAUCHET Max	I.E.E.A.
M. DEBRABANT Pierre	E.U.D.I.L.
M. DEGAUQUE Pierre	I.E.E.A.
M. DELORME Pierre	Biologie
M. DELORME Robert	S.E.S.
M. DE MASSON D'AUTUME Antoine	S.E.S.
M. DEMUNTER Paul	C.U.E.E.P.

PROFESSEURS 2ème classe (Suite 1)

M. DENEL Jacques	I.E.E.A.
M. DE PARIS Jean-Claude	Mathématiques (Calais)
Mlle DESSAUX Odile	Chimie
M. DEVRAINNE Pierre	Chimie
M. DHAINAUT André	Biologie
Mme DHAINAUT Nicole	Biologie
M. DORMARD Serge	S.E.S.
M. DOUKHAN Jean-Claude	E.U.D.I.L.
M. DUBOIS Henri	Physique
M. DUBRULLE Alain	Physique (Calais)
M. DUBUS Jean-Paul	I.E.E.A.
M. FAKIR Sabah	Mathématiques
M. FONTAINE Hubert	Physique
M. FOUQUART Yves	Physique
M. FRONTIER Serge	Biologie
M. GAMBLIN André	G.A.S.
M. GLORIEUX Pierre	Physique
M. GOBLOT Rémi	Mathématiques
M. GOSSELIN Gabriel (dét.)	S.E.S.
M. GOUDMAND Pierre	Chimie
M. GREGORY Pierre	I.P.A.
M. GREMY Jean-Paul	S.E.S.
M. GREVET Patrice	S.E.S.
M. GUILBAULT Pierre	Biologie
M. HENRY Jean-Pierre	E.U.D.I.L.
M. HERMAN Maurice	Physique
M. JACOB Gérard	I.E.E.A.
M. JACOB Pierre	Mathématiques
M. JEAN Raymond	Biologie
M. JOFFRE Patrick	I.P.A.

PROFESSEURS 2ème classe (suite 2)

M. JOURNAL Gérard	E.U.D.I.L.
M. KREMBEL Jean	Biologie
M. LANGRAND Claude	Mathématiques
M. LATTEUX Michel	I.E.E.A.
Mme LECLERCQ Ginette	Chimie
M. LEFEVRE Christian	Sciences de la Terre
Mlle LEGRAND Denise	Mathématiques
Mlle LEGRAND Solange	Mathématiques (Calais)
Mme LEHMANN Josiane	Mathématiques
M. LEMAIRE Jean	Physique
M. LHENAFF René	Géographie
M. LOCQUENEUX Robert	Physique
M. LOSFELD Joseph	C.U.E.E.P.
M. LOUAGE Francis(dét.)	E.U.D.I.L.
M. MACKE Bruno	Physique
M. MAIZIERES Christian	I.E.E.A.
M. MESSELYN Jean	Physique
M. MESSERLIN Patrick	S.E.S.
M. MONTEL Marc	Physique
Mme MOUNIER Yvonne	Biologie
M. PARSY Fernand	Mathématiques
Mlle PAUPARDIN Colette	Biologie
M. PERROT Pierre	Chimie
M. PERTUZON Emile	Biologie
M. PONSOLLE Louis	Chimie
M. PORCHET Maurice	Biologie
M. POVY Lucien	E.U.D.I.L.
M. RACZY Ladislas	I.E.E.A.
M. RAOULT Jean François	Sciences de la Terre
M. RICHARD Alain	Biologie

PROFESSEURS 2ème Classe (suite 3)

M. RIETSCH François	E.U.D.I.L.
M. ROBINET Jean-Claude	E.U.D.I.L.
M. ROGALSKI Marc	Mathématiques
M. ROY Jean-Claude	Biologie
M. SCHAMPS Joël	Physique
Mme SCHWARZBACH Yvette	Mathématiques
M. SLIWA Henri	Chimie
M. SOMME Jean	G.A.S.
Mlle SPIK Geneviève	Biologie
M. STAROSWIECKI Marcel	E.U.D.I.L.
M. STERBOUL François	E.U.D.I.L.
M. TAILLIEZ Roger	Institut Agricole
Mme TJOTTA Jacqueline (dét.)	Mathématiques
M. TOULOTTE Jean-Marc	I.E.E.A.
M. TURRELL Georges	Chimie
M. VANDORPE Bernard	E.U.D.I.L.
M. VAST Pierre	Chimie
M. VERBERT André	Biologie
M. VERNET Philippe	Biologie
M. WALLART Francis	Chimie
M. WARTEL Michel	Chimie
M. WATERLOT Michel	Sciences de la Terre
Mme ZINN JUSTIN Nicole	Mathématiques

CHARGES DE COURS

M. ADAM Michel S.E.S.

CHARGES DE CONFERENCES

M. BAF COP Joël I.P.A.

M. DUVEAU Jacques S.E.S.

M. HOF LACK Jean I.P.A.

M. LATOUCHE Serge S.E.S.

M. MALAUSSENA DE PERNO Jean-Louis S.E.S.

M. NAVARRE Christian I.P.A.

M. OPIGEZ Philippe S.E.S.

Je tiens à remercier vivement Monsieur le Professeur P. POUZET, qui m'a fait l'honneur d'accepter la présidence du jury de cette thèse.

Je suis très reconnaissante envers Monsieur P. SABLONNIERE qui m'a fait bénéficier de son aide constante et de ses conseils généreux au cours de la préparation de ce travail.

Il m'est agréable d'exprimer mes remerciements à Monsieur le Professeur C. BREZINSKI, qui a bien voulu s'intéresser à ce travail et le juger.

Monsieur R. ARCANGELI, Professeur à l'Université de Pau, me fait l'honneur d'examiner ce travail. Qu'il en soit remercié.

Je remercie également Madame A. REMY, Messieurs P. VAN INGELANDT et Y. TINEL, pour l'aide qu'ils m'ont attribuée en programmation.

Que soient remerciés sincèrement Madame F. TAILLY et M. H. GLANC qui, avec célérité, soin et compétence, ont assuré la réalisation matérielle de cette thèse.

Vu le nombre, je m'excuse de ne pas citer tous ceux qui ont, de près comme de loin, participé à l'élaboration de ce travail.

TABLES DES MATIÈRES.

-

INTRODUCTION GÉNÉRALE.

CHAPITRE 1 : QUELQUES RÉSULTATS FONDAMENTAUX SUR LES SPLINES QUADRATIQUES.

- I - Introduction.
- II - Interpolation de Lagrange sur un intervalle de \mathbb{R} , par des splines quadratiques.
- III - Splines définies sur un domaine triangulé de \mathbb{R}^2

CHAPITRE 2 : ETUDE DE L'ERREUR D'INTERPOLATION D'HERMITE PAR DES SPLINES QUADRATIQUES C^1 .

- I - Introduction.
- II - Etude de l'erreur d'interpolation sur un triangle $T \in \mathcal{T}$, $T \subset \mathcal{D}$.
- III - Généralisation : Etude de l'erreur d'interpolation sur le domaine \mathcal{D} triangulé.

CHAPITRE 3 : INTERPOLATION DE LAGRANGE SUR UN DOMAINE CARRÉ TRIANGULÉ.

- I - Introduction et notations.
- II - Choix des points d'interpolation.
- III - Calcul de la spline d'interpolation.
- IV - Résultats pratiques sur la majoration de la norme de l'opérateur d'interpolation.
- V - Quelques généralisations.
- VI - Programmes et courbes de niveaux.

CHAPITRE IV : ESTIMATION DES DÉRIVÉES PARTIELLES PAR MINIMISATION DE L'ÉNERGIE DE FLEXION D'UNE PLAQUE MINCE

- I - Introduction et notations.
- II - Calcul de l'expression de l'énergie.
- III - Résolution du système.
- IV - Quelques résultats numériques.

CONCLUSION GÉNÉRALE.

RÉFÉRENCES.

INTRODUCTION.

-

Les splines quadratiques à deux variables sont les surfaces différentiables et polynômiales par morceaux les plus simples. Ce sont en effet des fonctions de $C^1(\Omega)$ (Ω domaine polygonal du plan), dont la restriction à chaque triangle T d'une triangulation de Ω est un élément de P_2 , espace des polynômes à deux variables de degré total inférieur ou égal à 2.

Chaque polynôme P se développe dans la base de Bernstein :

$$P(\lambda) = \sum_{0 \leq i+j \leq 2} a_{ij} \beta_{ij}(\lambda_1, \lambda_2, \lambda_3)$$

$\lambda = (\lambda_1, \lambda_2, \lambda_3)$ étant les coordonnées barycentriques de T .

$$\beta_{ij}(\lambda_1, \lambda_2, \lambda_3) = \frac{2!}{i!j!(2-i-j)!} \lambda_1^i \lambda_2^j \lambda_3^{2-i-j}$$

Les a_{ij} sont appelés B-coefficients de P .

Toutes ces notions sont développées par P. Sablonnière dans [10].

Ainsi le calcul de la spline se ramène à celui de ses B-coefficients. Dans notre étude, nous choisissons comme domaine Ω , un carré de \mathbb{R}^2 .

Dans le premier chapitre, nous donnons quelques rappels concernant l'interpolation de Lagrange par des Splines quadratiques sur un intervalle de \mathbb{R}^2 (ces résultats seront utilisés au chapitre 3), et l'élément fini quadratique de Powell-Sabin, avec le calcul des fonctions de base du procédé d'interpolation correspondant.

Dans le deuxième chapitre, nous faisons une étude de la majoration de la norme L_p , de la fonction de ses dérivées premières et secondes, dans le cas de l'interpolation d'Hermite par des splines quadratiques sur un domaine subdivisé en triangle de Powell-Sabin.

Nous nous basons dans cette étude sur des résultats donnés par R. Arcangeli et J.L. Gout dans [1].

L'étude est faite d'abord sur un triangle de référence, puis dans la deuxième partie du chapitre, nous montrons que les majorations obtenues se généralisent à D ; en utilisant les résultats donnés par P. Sablonnière dans [9].

Le troisième chapitre concerne l'interpolation de Lagrange en des points répartis de façon assez régulière sur Ω . Nous donnons deux algorithmes très simples correspondant à deux choix des points d'interpolation et permettant le calcul des B -coefficients de la spline, ainsi que ceux des fonctions de base. Ce calcul permet de trouver un majorant M et un minorant m de la norme L_∞ de l'opérateur d'interpolation ; et par conséquent, une majoration de l'erreur d'interpolation. Nous montrons que cette dernière est en $O(h^\alpha)$, avec α au moins égal à 2. A la fin de ce chapitre nous donnons deux programmes : un programme concernant le calcul des B -coefficients des fonctions de base ; ainsi que celui de m et M , et un programme concernant le calcul de l'interpolant spline, de l'erreur d'interpolation et de l'ordre de convergence. Nous donnons aussi des courbes de niveau de certaines fonctions et de leurs interpolants.

On sait que la construction de l'interpolant d'Hermite vu au chapitre 1, nécessite la connaissance des dérivées partielles premières aux points d'interpolation. Or, en pratique, cette condition n'est pas toujours satisfaite ; il faut donc approcher les valeurs de ces dérivées : cela fait l'objet du quatrième et dernier chapitre.

Nous proposons deux méthodes d'approximation : la première méthode utilise la minimisation de l'expression

$$E = \iint_{\Omega} \left\{ \left(\frac{\partial^2 S}{\partial x^2} \right)^2 + 2 \left(\frac{\partial^2 S}{\partial x \partial y} \right)^2 + \left(\frac{\partial^2 S}{\partial y^2} \right)^2 \right\} dx dy.$$

qui représente une valeur approchée de l'énergie de flexion d'une plaque mince. Dans ce cas, les calculs numériques montrent que l'erreur sur la fonction est en $O(h^2)$ seulement.

La deuxième méthode consiste à estimer les dérivées partielles au moyen de splines cubiques à une variable définies sur les parallèles aux côtés de Ω : cette méthode est beaucoup plus satisfaisante car l'erreur sur la fonction est en $O(h^3)$. Et à la fin de ce chapitre, on compare ces résultats avec ceux obtenus par Le Méhauté dans [7], au moyen des splines plaques minces locales.

Dans ce dernier cas l'erreur sur la fonction est en $O(h^3)$ également.

CHAPITRE 1.

QUELQUES RESULTATS FONDAMENTAUX

SUR

LES SPLINES QUADRATIQUES.

I - INTRODUCTION.

Ce chapitre regroupe certains résultats fondamentaux dont on se sert dans les chapitres suivants, notamment l'interpolation par des splines quadratiques sur un intervalle de \mathbb{R} et un triangle de \mathbb{R}^2 .

II - INTERPOLATION DE LAGRANGE SUR UN INTERVALLE DE \mathbb{R} , PAR DES SPLINES QUADRATIQUES.

Soit $I = [a, b]$ un intervalle de \mathbb{R} et $\Delta = \{a = t_0 < \dots < t_N = b\}$ une subdivision uniforme de I .

Soit :

$$\text{et } \left. \begin{array}{l} h_i = t_{i+1} - t_i \\ t_{i+1}^* = t_{i+1/2} = t_i + \frac{1}{2} h_i \end{array} \right\} \text{ pour } 0 \leq i \leq N-1$$

Avec :

$$\left\{ \begin{array}{l} t_0^* = t_0 \\ t_{N+1}^* = t_N \end{array} \right.$$

pour $0 \leq i \leq N-1$, on définit :

$P_2([t_i, t_{i+1}])$: {fonctions polynomiales du second degré définies sur $[t_i, t_{i+1}]$ }

$P_2^1([a, b], \Delta)$: { $s \in C^1([a, b])$; tel que $S/[t_i, t_{i+1}] \in P_2([t_i, t_{i+1}])$,
 $0 \leq i \leq N-1$ }

$C^{-1}([a, b])$: {fonctions définie et bornées sur $[a, b]$ }.

Alors le problème suivant :

Chercher $S \in P_2^1([a, b], \Delta)$ tq
 $S(t_i^*) = f(t_i^*) = f_i^*$
 (pour $f \in C^{-1}([a, b])$)

admet une solution et une seule. (Pour la démonstration voir [6]).

S peut s'écrire dans la base de Bernstein de $P_2^1([t_i, t_{i+1}])$ ($0 \leq i \leq N-1$) de la manière suivante :

$$S(x) = a_{2i} \beta_0 + a_{2i+1} \beta_1 + a_{2i+2} \beta_2$$

avec

$$\left\{ \begin{array}{l} \beta_0(x) = (1-x)^2 \\ \beta_1(x) = 2x(1-x) \\ \beta_2(x) = x^2 \end{array} \right.$$

Définition 1.

Les a_j ; $2i \leq j \leq 2i+2$ pour $0 \leq i \leq N-1$, sont appelés coefficients-Bézier ou les B-coefficients de S. (Pour cette notion voir [10]).

Exemple.

On représente les B-coefficients pour $N = 4$.

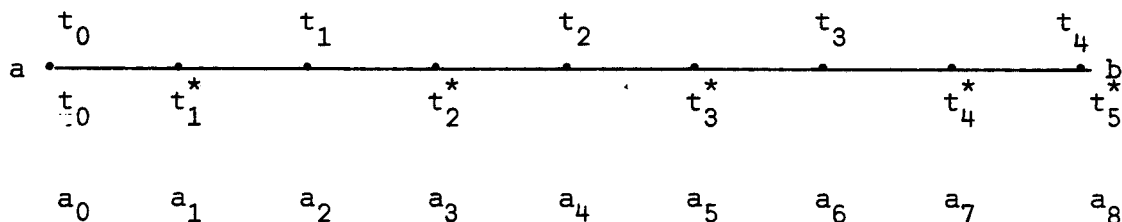


Fig. 1. Représentation des B-coefficients a_i , $0 \leq i \leq 8$; de $S \in P_2^1([a, b])$.

Proposition 1.

Les B-coefficients indiqués sur la figure précédente (Fig. 1), se calculent en résolvant le système suivant :

Avec $0 \leq \lambda_i \leq 1$ pour $1 \leq i \leq 3$.

Soit :

$P_2(T)$: {fonctions polynomiales du second degré définies sur T }

$P_2^1(\Omega, \mathbb{C})$: $\{S \in C^1(\Omega) \text{ tq } S/T \in P_2(T), \forall T \in \mathcal{T}\}$

Définition 3.

$S \in P_2^1(\Omega, \mathbb{C})$, est appelée *Spline quadratique C^1 définie sur Ω*

S/T peut s'écrire dans la base de Bernstein de $P_2(T)$ de la manière suivante :

$$S(\lambda_1, \lambda_2, \lambda_3) = \sum_{0 \leq i+j \leq 2} a_{ij} \beta_{ij}(\lambda_1, \lambda_2, \lambda_3).$$

Avec :

$$\beta_{ij}(\lambda_1, \lambda_2, \lambda_3) = \frac{2!}{i!j!(2-i-j)!} \lambda_1^i \lambda_2^j \lambda_3^{(2-i-j)}$$

(pour $0 \leq i+j \leq 2$).

$\{\beta_{ij}\}_{0 \leq i+j \leq 2}$ est la base de Bernstein. $\{a_{ij}\}_{0 \leq i+j \leq 2}$ sont les B-coefficients de S . (Voir figure 2).

Propriété 1.

Les $\{\beta_{ij}\}_{0 \leq i+j \leq 2}$ vérifient la propriété suivante :

$$\left\{ \begin{array}{l} \beta_{ij}(\lambda) \geq 0 \\ \sum_{0 \leq i+j \leq 2} \beta_{ij}(\lambda) = 1 \end{array} \right.$$

Considérons les points : $A_{ij} \in \partial T = \text{bord de } T$, de coordonnées barycentriques :

$$(i/2 ; j/2 ; (2-i-j)/2) \text{ pour } 0 \leq i+j \leq 2.$$

Définition 4.

L'ensemble des points $\tilde{a}_{ij} = (A_{ij}, a_{ij})$, est appelé B-réseau ou B-polyèdre, sur le triangle T, du polynôme :

$$P(\lambda) = \sum_{0 \leq i+j \leq 2} a_{ij} \beta_{ij}(\lambda)$$

(voir Fig. 2).

Définition 5.

On appelle triangle quadratique l'ensemble des points $(\lambda, P(\lambda))$; c'est à dire le graphe de $P \in P_2(T)$.

Propriété 2.

On vérifie que :

$$\left\{ \begin{array}{l} \lambda = \sum_{0 \leq i+j \leq 2} A_{ij} \beta_{ij}(\lambda) \\ P(\lambda) = \sum_{0 \leq i+j \leq 2} a_{ij} \beta_{ij}(\lambda) \end{array} \right.$$

Remarque 1.

1°) - Les relations données dans les propriétés (1) et (2) indiquent que les points $(\lambda, p(\lambda))$, du graphe de P, appartiennent à l'enveloppe convexe des points $\tilde{a}_{ij} = (A_{ij}, a_{ij})$.

2°) - Les figures suivantes éclaircissent la notion de B-coefficients.

Polynôme quadratique dans la base de Bernstein :

$$P(\lambda) = a_{00} \lambda_0^2 + 2a_{10} \lambda_0 \lambda_1 + 2a_{01} \lambda_0 \lambda_2 + a_{20} \lambda_1^2 + 2a_{11} \lambda_1 \lambda_2 + a_{02} \lambda_2^2$$

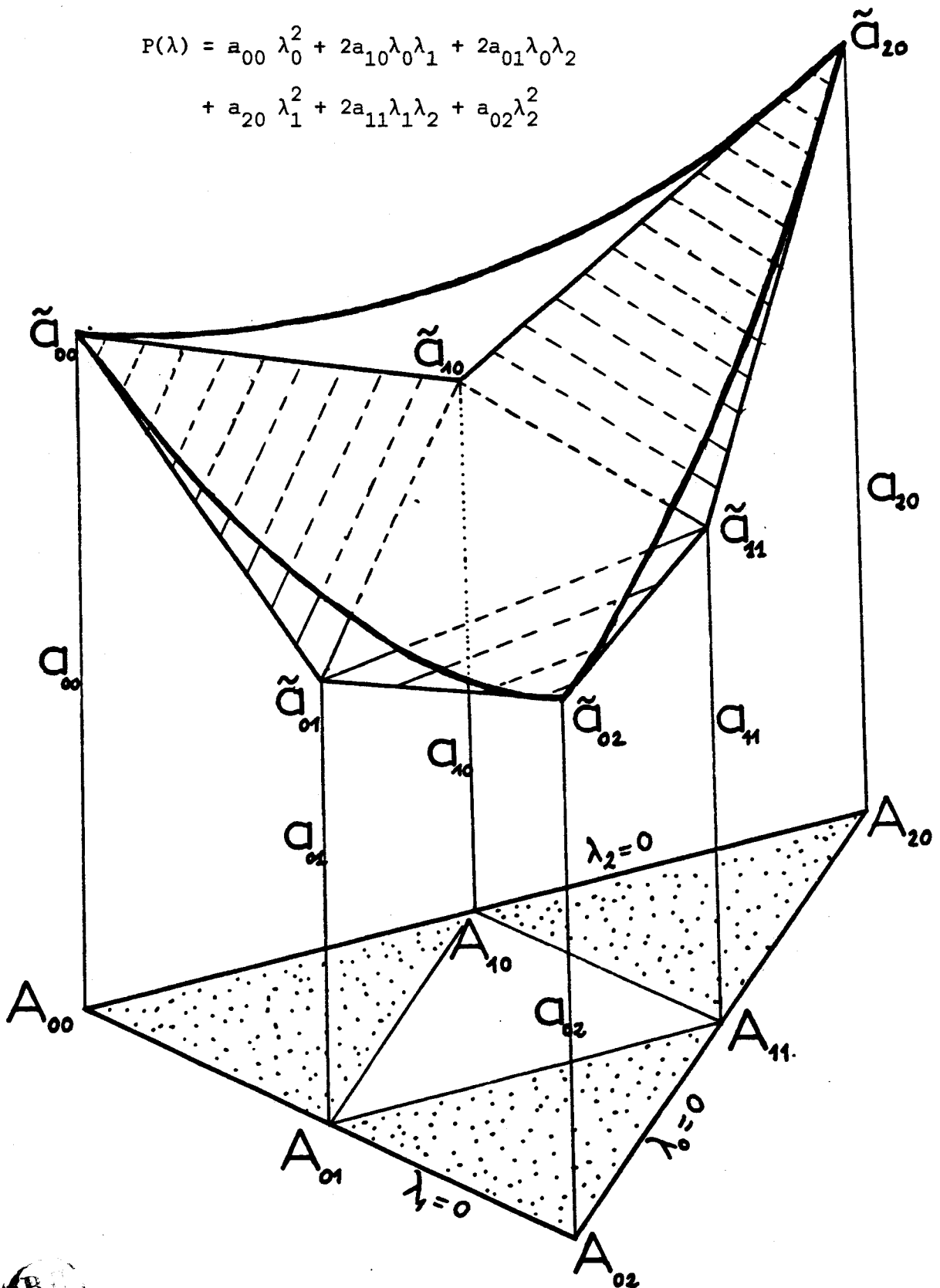


Figure 2.

Réseau Bézier = $\{\tilde{a}_{ij}\}$

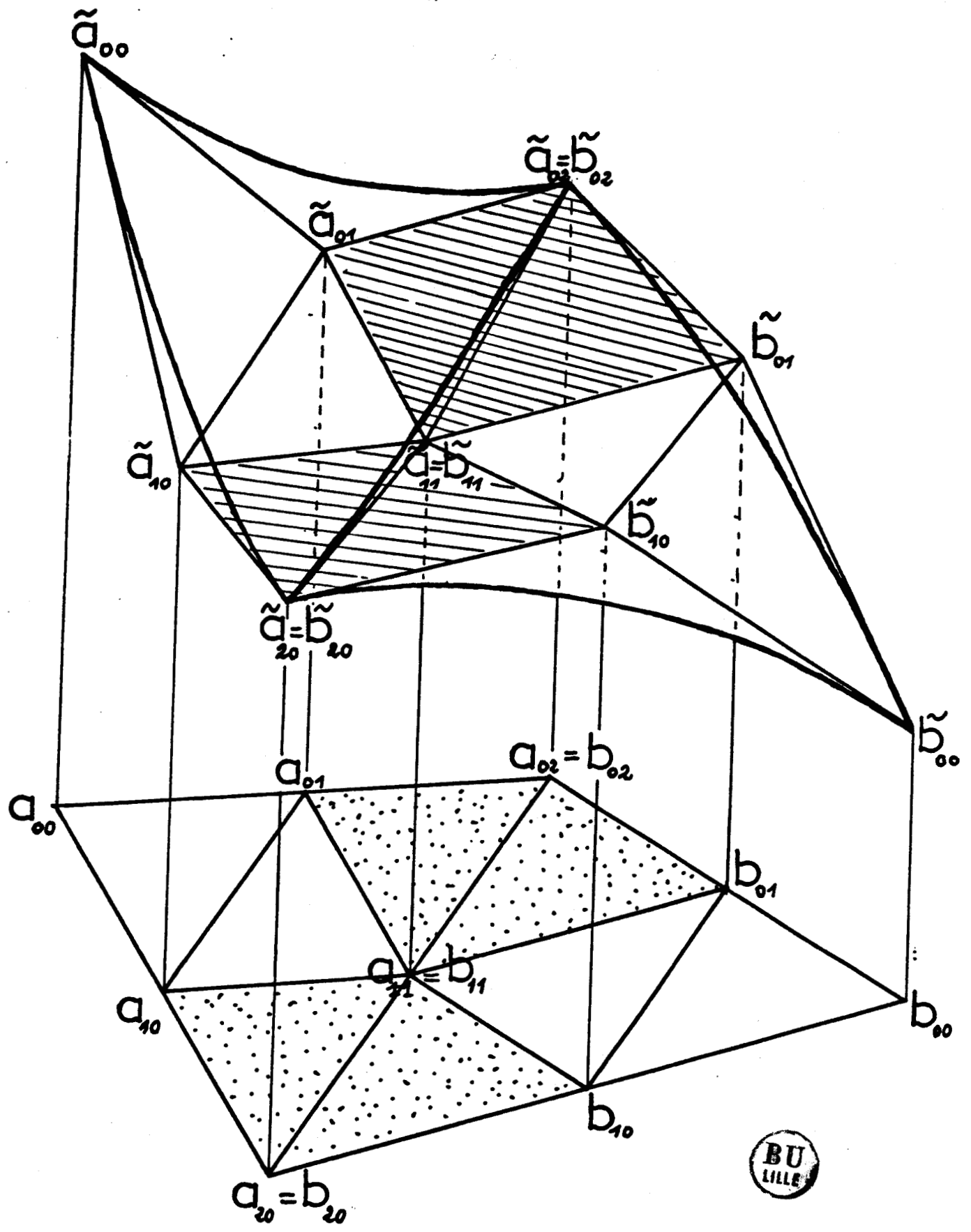


Figure 3.

Réseaux Bézier { Représentation
Continuité C^1

B - Raccordement C^1 de deux triangles quadratiques.

Etant donné deux triangles $T_1 = (A_1 A_2 A_3)$ et $T_2 = (A_1 A_2 A'_3)$, inclus dans Ω , on sait d'après ce qui précède que la spline S s'écrit de la manière suivante :

$$\begin{cases} P_1(\lambda) = \sum_{0 \leq i+j \leq 2} a_{ij} \beta_{ij}(\lambda) & \text{sur } T_1 \\ P_2(\mu) = \sum_{0 \leq i+j \leq 2} b_{ij} \beta_{ij}(\mu) & \text{sur } T_2. \end{cases}$$

La figure précédente représente le raccordement C^1 le long de $[A_1 A_2]$ des deux triangles quadratiques

$$\begin{aligned} & \{(\lambda, P_1(\lambda)) ; \lambda = (\lambda_1, \lambda_2, \lambda_3) \text{ avec } 0 \leq \lambda_i \leq 1 \text{ et } \sum_{i=1}^3 \lambda_i = 1\} \\ & \{(\mu, P_2(\mu)) ; \mu = (\mu_1, \mu_2, \mu_3) \text{ avec } 0 \leq \mu_i \leq 1 \text{ et } \sum_{i=1}^3 \mu_i = 1\} \end{aligned}$$

Remarque 2.

Le calcul de S revient à celui de ses B-coefficients. Et pour faciliter ce dernier, par la suite, on considère la projection du B-réseau dans le plan ; on obtient ainsi la figure suivante :

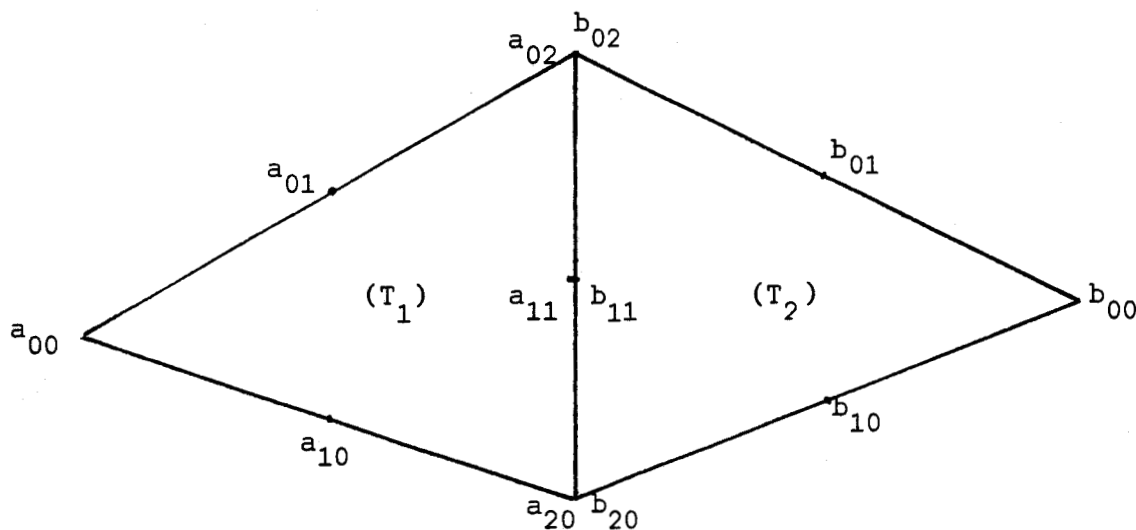


Fig. 4. Projection du B-réseau de deux triangles quadratiques dans le plan.

Dans la suite, tous les B-coefficients seront représentés par leurs projections.

Proposition 2.

La continuité C^1 entre les deux triangles quadratiques précédents, le long de $[A_1 A_2]$, se traduit par le fait que les points \tilde{a}_{20} ; \tilde{a}_{11} ; \tilde{a}_{10} ; et \tilde{b}_{10} d'une part ; et les points \tilde{a}_{20} ; \tilde{a}_{11} ; \tilde{a}_{10} et \tilde{b}_{10} d'autre part sont coplanaires. Se de plus : A_3 , A_1 et \bar{A}_3 sont alignés avec $A_3' A_1 = K A_3 A_1$ cette continuité se traduit par :

$$(1+K) a_{20} = b_{10} + K a_{10}$$

$$(1+K) a_{11} = b_{01} + K a_{01}$$

Pour la démonstration de cette proposition voir [10]

C) - Application : Problème de Powell-Sabin.

1°) - Position du problème.

Dans ce paragraphe on a :

$$\Omega = \text{triangle } T = A_1 A_2 A_3.$$

La triangulation T subdivise Ω , ($\Omega = T$), en 6 triangles t_i , appelés micro-triangles, comme le montre la figure suivante :

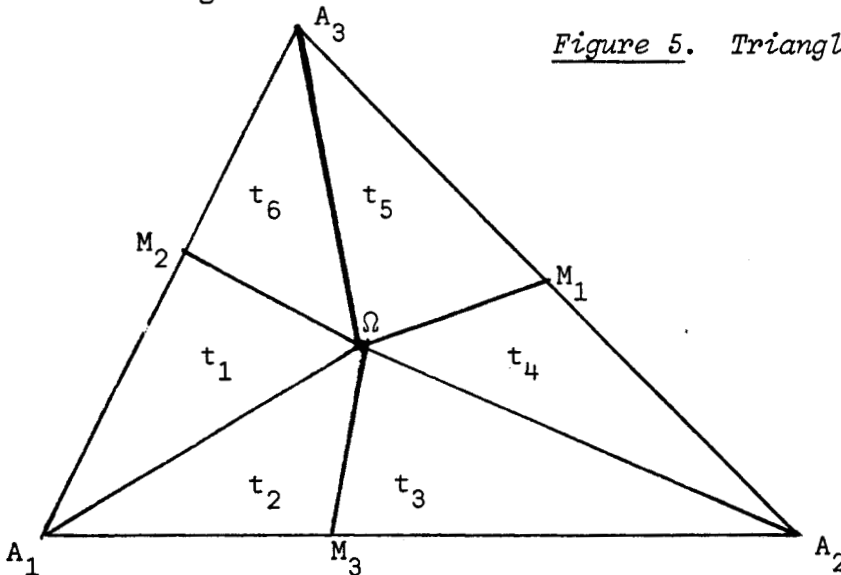


Figure 5. Triangle de Powell-Sabin.

On a :

$$\left\{ \begin{array}{l} \Omega = \omega_1 A_1 + \omega_2 A_2 + \omega_3 A_3 \\ M_1 = (1-\alpha_1) A_2 + \alpha_1 A_3 \\ M_2 = \alpha_2 A_1 + (1-\alpha_2) A_3 \\ M_3 = (1-\alpha_3) A_1 + \alpha_3 A_2 \end{array} \right. \quad \text{pour } 0 < \alpha_i < 1$$

On définit :

$$P_2(t_i) : \quad \{ \text{fonctions polynomiales du second degré définies sur } t_i \} \\ \text{(pour } 1 \leq i \leq 6)$$

et

$$P_2^1(T) : \quad \{ S \in C^1(T) \text{ tq } S / t_i \in P_2(t_i) ; 1 \leq i \leq 6 \}$$

Le problème à résoudre est le suivant : Etant donné $f \in C^1(\Omega)$, $\exists ? S \in P_2^1(\Omega)$ tq :

$$\left\{ \begin{array}{l} S(A_i) = f(A_i) \\ \frac{\partial S}{\partial x}(A_i) = \frac{\partial f}{\partial x}(A_i) \\ \frac{\partial S}{\partial y}(A_i) = \frac{\partial f}{\partial y}(A_i) \end{array} \right. \quad \text{pour } 1 \leq i \leq 3$$

On démontre dans [10], qu'il existe S unique, $S \in P_2^1(\Omega, C)$; vérifiant ces conditions.

2) - Fonctions de base du procédé d'interpolation.

Les fonctions de base sont appelés ϕ_i , X_i , et ψ_i pour $1 \leq i \leq 3$ et vérifient :

$$\left\{ \begin{array}{lll} \phi_i(A_i) = 1 & \frac{\partial \phi_i}{\partial \lambda_{i+1}}(A_i) = 0 & \frac{\partial \phi_i}{\partial \lambda_{i+2}}(A_i) = 0 \\ X_i(A_i) = 0 & \frac{\partial X_i}{\partial \lambda_{i+1}}(A_i) = 1 & \frac{\partial X_i}{\partial \lambda_{i+2}}(A_i) = 0 \\ \psi_i(A_i) = 0 & \frac{\partial \psi_i}{\partial \lambda_{i+1}}(A_i) = 0 & \frac{\partial \psi_i}{\partial \lambda_{i+2}}(A_i) = 1 \end{array} \right.$$

Les fonctions ϕ_i , X_i et ψ_i , ainsi que leurs dérivés partiels premières étant nulles aux points A_{i+1} , A_{i+2} . Avec la convention :

$$A_j = A_{j-3} \text{ pour } j \geq 4$$

3°) - Opérateur d'interpolation et interpolant.

Appelons π l'opérateur d'interpolation, c'est à dire l'application

$$\begin{array}{ccc} \pi : C^1(T) & \longrightarrow & P_2^1(T) \\ f & \longrightarrow & \pi f = S \end{array}$$

πf étant définie de la manière suivante :

$$\begin{aligned} \pi f &= \sum_{i=1}^3 f(A_i) \phi_i + \sum_{i=1}^3 DF(A_i) \cdot A_i A_{i+1}^{\rightarrow} X_i + \sum_{i=1}^3 DF(A_i) \cdot A_i A_{i+2}^{\rightarrow} \psi_i \\ &= \sum_{i=1}^3 f(A_i) \phi_i + \sum_{i=1}^3 \frac{\partial f}{\partial \lambda_{i+1}}(A_i) X_i + \sum_{i=1}^3 \frac{\partial f}{\partial \lambda_{i+2}}(A_i) \psi_i \end{aligned}$$

4°) - Résultat préliminaire.

Définition 6.

On appelle λ_{ij} ($1 \leq i \leq 6$ et $1 \leq j \leq 3$), les coordonnées barycentriques relatives au triangle t_i .

$i \backslash j$	1	2	3
1	$\lambda_1 - \left[\frac{\omega_1}{\omega_2} - \frac{\alpha_2 \omega_3}{\omega_2(1-\alpha_2)} \right] \lambda_2 - \frac{\alpha_2}{1-\alpha_2} \lambda_3$	$\frac{\lambda_2}{\omega_2}$	$-\frac{\omega_3}{\omega_2(1-\alpha_2)} \lambda_2 + \frac{1}{1+\alpha_2} \lambda_3$
2	$\lambda_1 - \left[\frac{1-\alpha_3}{\alpha_3} \lambda_2 + \left[\frac{\omega_2(1-\alpha_3)}{\omega_3 \alpha_3} - \frac{\omega_1}{\omega_3} \right] \lambda_3 \right]$	$\frac{1}{\alpha_3} \lambda_2 - \frac{\omega_2}{\alpha_3 \omega_3} \lambda_3$	$\frac{\lambda_3}{\omega_3}$
3	$-\frac{\alpha_3}{1-\alpha_3} \lambda_1 + \lambda_2 + \left[\frac{\omega_1 \alpha_3}{\omega_3(1-\alpha_3)} - \frac{\omega_2}{\omega_3} \right] \lambda_3$	$\frac{\lambda_3}{\omega_3}$	$\frac{1}{1-\alpha_3} \lambda_1 - \frac{\omega_1}{\omega_3(1-\alpha_3)} \lambda_3$
4	$\left[\frac{\omega_3(1-\alpha_1)}{\omega_1 \alpha_1} - \frac{\omega_2}{\omega_1} \right] \lambda_1 + \lambda_2 - \frac{1-\alpha_1}{\alpha_1} \lambda_3 + \lambda_3$	$\frac{1}{\alpha_1} \lambda_3 - \frac{\omega_3}{\omega_1 \alpha_1} \lambda_1$	$\frac{\lambda_1}{\omega_1}$
5	$\left[\frac{\omega_2 \alpha_1}{\omega_0(1-\alpha_1)} - \frac{\omega_3}{\omega_1} \right] \lambda_1 - \frac{\alpha_1}{1-\alpha_1} \lambda_2 + \lambda_3$	$\frac{\lambda_1}{\omega_1}$	$\frac{1}{1-\alpha_1} \lambda_2 - \frac{\omega_2}{\omega_1(1-\alpha_1)} \lambda_1$
6	$-\frac{1-\alpha_2}{\alpha_2} \lambda_1 + \left[\frac{\omega_1(1-\alpha_2)}{\omega_2 \alpha_2} - \frac{\omega_3}{\omega_2} \right] \lambda_2 + \lambda_3$	$\frac{1}{\alpha_2} \lambda_1 - \frac{\omega_1}{\alpha_2 \omega_2} \lambda_2$	$\frac{\lambda_2}{\omega_2}$

TABLEAU 1. Expression des (λ_{ij}) $1 \leq i \leq 6$ en fonction des λ_k pour $1 \leq k \leq 3$.

Lemme 1.

Le tableau précédent représente le calcul des coordonnées barycentriques relatives aux micro-triangles t_i ; en fonction de celles relatives au macro-triangle T .

Démonstration du lemme 1.

En se référant à la figure 5, on a pour $M \in t_1$, par exemple

(1)

$$M = \lambda_{11} A_1 + \lambda_{12} \Omega + \lambda_{13} M_2$$

or

$$\begin{cases} \Omega = \omega_1 A_1 + \omega_2 A_2 + \omega_3 A_3 \\ M_2 = \alpha_2 A_1 + (1 - \alpha_2) A_3 \end{cases}$$

En remplaçant dans (1) on a :

(1')

$$M = \lambda_{11} A_1 + \lambda_{12} (\omega_1 A_1 + \omega_2 A_2 + \omega_3 A_3) + \lambda_{13} (\alpha_2 A_1 + (1 - \alpha_2) A_3)$$

d'autre part, M s'écrit en fonction des sommets de T de la manière suivante :

(2)
$$M = \lambda_1 A_1 + \lambda_2 A_2 + \lambda_3 A_3$$

En comparant les expressions (1') et (2), on obtient le système suivant :

$$\begin{cases} \lambda_1 = \lambda_{11} + \omega_1 \lambda_{12} + \alpha_2 \lambda_{13} \\ \lambda_2 = \omega_2 \lambda_{12} \\ \lambda_3 = \omega_3 \lambda_{12} + (1 - \alpha_2) \lambda_{13} \end{cases}$$

En résolvant ce système on obtient :

$$\left\{ \begin{array}{l} \lambda_{12} = \frac{\lambda_2}{\omega_2} \\ \lambda_{13} = -\frac{\omega_2}{\omega_2(1-\alpha_2)} \lambda_2 + \frac{1}{1-\alpha_2} \lambda_3 \\ \lambda_{11} = \lambda_2 - \left[\frac{\omega_1}{\omega_2} - \frac{\alpha_2 \omega_3}{\omega_2(1-\alpha_2)} \right] \lambda_2 - \frac{\alpha_2}{1-\alpha_2} \lambda_3 \end{array} \right.$$

On fait le même raisonnement pour le calcul des coordonnées barycentriques relatives aux autres micro-triangles t_i ($2 \leq i \leq 6$).

5°) - Calcul des B-coefficients de la spline d'interpolation.

Représentons d'abord la projection du B-réseau dans le plan

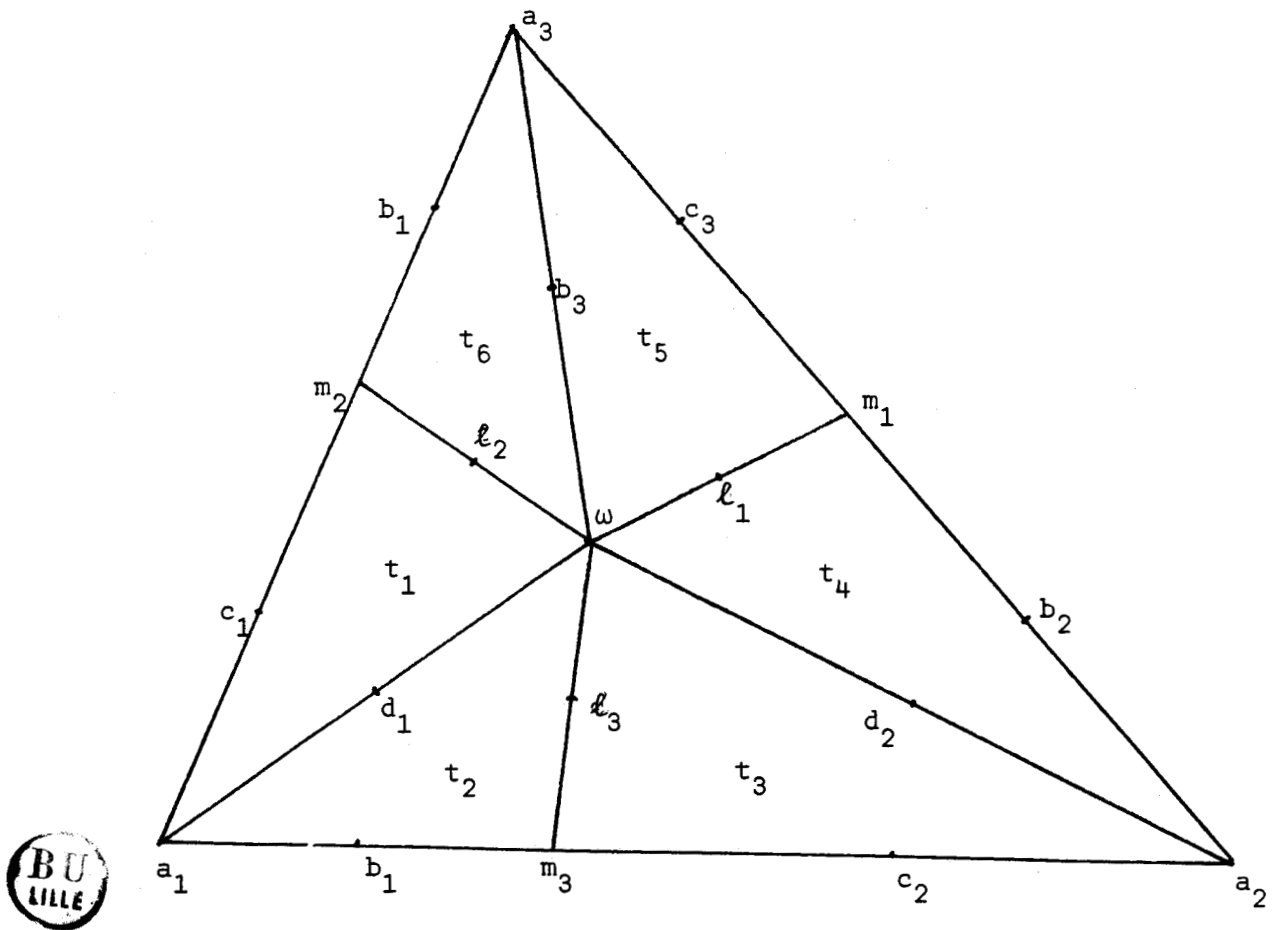


Figure 6.

Remarque 3.

Pour le calcul des B-coefficients de la spline on se base sur le raccordement C^1 de deux triangles quadratiques.

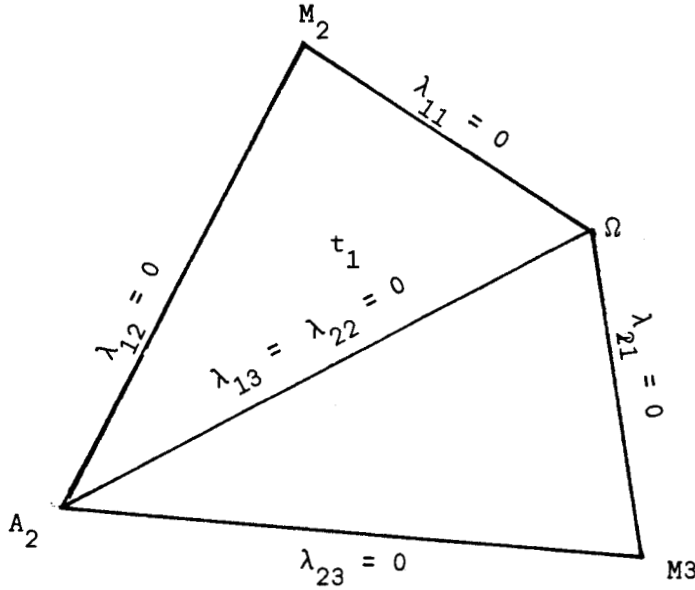


Fig. 7. Représentation des micro-triangles t_1 et t_2 et des coordonnées barycentriques correspondantes.

Les coordonnées barycentriques relatives à t_1 et t_2 sont respectivement $(\lambda_{11}, \lambda_{12}, \lambda_{13})$ et $(\lambda_{21}, \lambda_{22}, \lambda_{23})$.

En s'inspirant de la figure 6, on peut écrire la spline S , dans la base de Bernstein de $P_2(t_1)$ et $P_2(t_2)$ de la manière suivante :

$$\left\{ \begin{array}{l} S(\lambda_{11}, \lambda_{12}, \lambda_{13}) = a_1 \lambda_{11}^2 + \omega \lambda_{12}^2 + m_2 \lambda_{13}^2 + 2(d_1 \lambda_{11} \lambda_{12} + e_2 \lambda_{12} \lambda_{13} + c_1 \lambda_{11} \lambda_{13}) (\text{Sur } t_1) \\ S(\lambda_{21}, \lambda_{22}, \lambda_{23}) = a_1 \lambda_{21}^2 + m_3 \lambda_{22}^2 + \omega \lambda_{23}^2 + 2(b_1 \lambda_{21} \lambda_{22} + e_3 \lambda_{22} \lambda_{23} + d_1 \lambda_{21} \lambda_{23}) (\text{Sur } t_2) \end{array} \right.$$

or

$$\left\{ \begin{array}{l} \lambda_{11} = 1 - \lambda_{12} - \lambda_{13} \\ \lambda_{21} = 1 - \lambda_{22} - \lambda_{23} \end{array} \right.$$

d'où en remplaçant dans les deux expressions, on a :

$$\begin{aligned} g(\lambda_{12}, \lambda_{13}) &= a_1(1 - \lambda_{12} - \lambda_{13})^2 + \omega\lambda_{12}^2 + m_2\lambda_{13}^2 \\ &+ 2d_1(1 - \lambda_{12} - \lambda_{13})\lambda_{12} + 2e_2\lambda_{12}\lambda_{13} \\ &+ 2c_1\lambda_{13}(1 - \lambda_{12} - \lambda_{13}) \end{aligned}$$

et

$$\begin{aligned} g(\lambda_{22}, \lambda_{23}) &= \hat{a}_1(1 - \lambda_{22} - \lambda_{23})^2 + m_3\lambda_{22}^2 + \omega\lambda_{23}^2 \\ &+ 2b_1(1 - \lambda_{22} - \lambda_{23})\lambda_{22} + 2e_3\lambda_{22}\lambda_{23} \\ &+ 2d_1(1 - \lambda_{22} - \lambda_{23})\lambda_{23} \end{aligned}$$

Posons :

$$\begin{cases} p_1 = \frac{\partial g}{\partial \lambda_2}(A_1) \\ q_1 = \frac{\partial g}{\partial \lambda_3}(A_1) \end{cases}$$

on a :

$$P_1 = \frac{\partial g}{\partial \lambda_2}(A_1) \frac{\partial g}{\partial \lambda_{22}}(A_1) \cdot \frac{\partial \lambda_{22}}{\partial \lambda_2}(A_1) + \frac{\partial g}{\partial \lambda_{23}}(A_1) \cdot \frac{\partial \lambda_{23}}{\partial \lambda_2}(A_1)$$

d'où :

$$P_1 = \frac{\partial g}{\partial \lambda_2}(A_1) = \frac{1}{\alpha_3} \frac{\partial g}{\partial \lambda_{22}}(A_1)$$

(Voir TAB. 1)

De la même manière on trouve :

$$q_1 = \frac{\partial g}{\partial \lambda_3}(A_1) = \frac{1}{1-\alpha_2} \frac{\partial g}{\partial \lambda_{13}}(A_1)$$

Aussi on a :

$$\frac{\partial g}{\partial \lambda_{12}}(A_1) = \frac{\partial g}{\partial \lambda_2}(A_1) \cdot \frac{\partial \lambda_2}{\partial \lambda_{12}}(A_1) + \frac{\partial g}{\partial \lambda_3}(A_1) \frac{\partial \lambda_3}{\partial \lambda_{12}}(A_1) = \omega_2 p_1 + \omega_3 q_1$$

Or après le calcul on trouve :

$$\left\{ \begin{array}{l} \frac{\partial g}{\partial \lambda_{22}} (A_1) = 2(b_1 - a_1) \\ \frac{\partial g}{\partial \lambda_{12}} (A_1) = 2(d_1 - a_1) \\ \frac{\partial g}{\partial \lambda_{13}} (A_1) = 2(c_1 - a_1) \end{array} \right.$$

On a ainsi à résoudre le système suivant :

$$\left\{ \begin{array}{l} \frac{2}{\alpha_3} (b_1 - a_1) = p_1 \\ \frac{2}{1 - \alpha_2} (c_1 - a_1) = q_1 \\ 2(d_1 - a_1) = \omega_2 p_1 + \omega_3 q_1 \end{array} \right.$$

On obtient, comme solution :

$$\left\{ \begin{array}{l} b_1 = a_1 + \frac{1}{2} \alpha_3 p_1 \\ c_1 = a_1 + \frac{1}{2} (1 - \alpha_2) q_1 \\ d_1 = a_1 + \frac{1}{2} (\omega_2 p_1 + \omega_3 q_1) \end{array} \right.$$

Aussi en posant

$$\left\{ \begin{array}{l} a_2 = f(A_2) \\ p_2 = \frac{\partial f}{\partial \lambda_3} (A_2) \\ q_2 = \frac{\partial f}{\partial \lambda_1} (A_2) \end{array} \right. \quad \left\{ \begin{array}{l} a_3 = f(A_3) \\ p_3 = \frac{\partial f}{\partial \lambda_1} (A_3) \\ q_3 = \frac{\partial f}{\partial \lambda_2} (A_3) \end{array} \right.$$

Et en raisonnant de la même façon que précédemment, on trouve des valeurs analogues pour b_i , c_i , d_i ($i = 2,3$), et en appliquant les résultats donnés dans [8], on a :

$$\left\{ \begin{array}{l} m_1 = (1-\alpha_1) b_2 + \alpha_1 c_3 \\ e_1 = (1-\alpha_1) d_3 + \alpha_1 d_2 \\ \omega = \omega_1 d_1 + \omega_2 d_2 + \omega_3 d_3 \end{array} \right.$$

Remarque 4.

Les résultats précédents permettent donc d'obtenir directement les B-coefficients des fonctions de base du procédé d'interpolation, qui sont regroupés dans le tableau suivant :

	ϕ_1	ϕ_2	ϕ_3	X_1	X_2	X_3	ψ_1	ψ_2	ψ_3
a_1	1	0	0	0	0	0	0	0	0
b_1	1	0	0	$1/2 \omega_3$	0	0	0	0	0
c_1	1	0	0	0	0	0	$\frac{1-\alpha_2}{2}$	0	0
d_1	1	0	0	$1/2 \omega_2$	0	0	$\omega_3/2$	0	0
a_2	0	1	0	0	0	0	0	0	0
b_2	0	1	0	0	$1/2 \alpha_1$	0	0	0	0
c_2	0	1	0	0	0	0	0	$\frac{1-\alpha_3}{2}$	0
d_2	0	1	0	0	$1/2 \omega_3$	0	0	$\omega_1^2/2$	0
a_3	0	0	1	0	0	0	0	0	0
b_3	0	0	1	0	0	$1/2 \alpha_2$	0	0	0
c_3	0	0	1	0	0	0	0	0	$\frac{1}{2}(1-\alpha_1)$
d_3	0	0	1	0	0	$1/2 \omega_1$	0	0	$\frac{1}{2} \omega_2$
m_1	0	$1-\alpha_1$	α_1	0	$\frac{\alpha_1(1-\alpha_1)}{2}$	0	0	0	$\frac{\alpha_1(1-\alpha_1)}{2}$
m_2	α_2	0	$1-\alpha_2$	0	0	$\frac{\alpha_2(1-\alpha_2)}{2}$	$\frac{\alpha_2(1-\alpha_2)}{2}$	0	0
m_3	$1-\alpha_3$	α_3	0	$\frac{\alpha_3(1-\alpha_3)}{2}$	0	0	0	$\frac{\alpha_3(1-\alpha_3)}{2}$	0
e_1	0	$1-\alpha_1$	α_1	0	$\frac{\omega_3(1-\alpha_1)}{2}$	$\frac{\omega_1 \alpha_1}{2}$	0	$\frac{\omega_1(1-\alpha_1)}{2}$	$\frac{\omega_2 \alpha_1}{2}$
e_2	α_2	0	$1-\alpha_2$	$\frac{\alpha_2 \omega_2}{2}$	0	$\frac{\omega_1(1-\alpha_2)}{2}$	$\frac{\alpha_2 \omega_3}{2}$	0	$\frac{\omega_2(1-\alpha_1)}{2}$
e_3	$1-\alpha_3$	α_3	0	$\frac{(1-\alpha_3)\omega_2}{2}$	$\frac{\alpha_3 \omega_3}{2}$	0	$\frac{\omega_3(1-\alpha_3)}{2}$	$\frac{\alpha_3 \omega_1}{2}$	0
ω	ω_1	ω_2	ω_3	$\frac{\omega_1 \omega_2}{2}$	$\frac{\omega_2 \omega_3}{2}$	$\frac{\omega_1 \omega_3}{2}$	$\frac{\omega_1 \omega_3}{2}$	$\frac{\omega_1 \omega_2}{2}$	$\frac{\omega_2 \omega_3}{2}$

TABLEAU 2. B-coefficients des fonctions de base du procédé d'interpolation.



CHAPITRE II

ETUDE DE L'ERREUR D'INTERPOLATION D'HERMITE

PAR

DES SPLINES QUADRATIQUES C^1 .

I - INTRODUCTION.

Considérons un domaine \mathcal{D} de \mathbb{R}^2 , subdivisé par une triangulation \mathcal{T} .

\mathcal{T} est régulière, c'est à dire qu'il existe $\alpha \geq 1$ tel que :

$$\forall T \in \mathcal{T}, T \subset \mathcal{D},$$

on a :

$$1 \leq \frac{h}{2\rho} \leq \alpha$$

(h et ρ sont les diamètres respectifs des cercles circonscrit à T et inscrit dans T).

Ce chapitre concerne l'étude de l'erreur pour l'interpolant d'Hermite défini au chapitre I.

On commence l'étude sur l'un des triangles T de la subdivision \mathcal{T} . Dans la deuxième partie, on montre que les résultats se généralisent au domaine \mathcal{D} , et ce, en se basant sur les résultats donnés par P. Sablonnière dans [9].

Etant donné $m \in \mathbb{N}$, $x = (x_1, x_2)$; $x \in \mathbb{R}^2$, $p \in \mathbb{R}$, $T \in \mathcal{T}$; on définit :

$$W^{m,p}(T) : \{(\text{classes de}) \text{ fonctions } f \text{ tq } f \in L^p(T) \\ \text{et } \partial^\beta f \in L^p(T) \text{ pour } |\beta| \leq m\}$$

avec

$$\partial^\beta f = \left(\frac{\partial}{\partial x_1}\right)^{\beta_1} \left(\frac{\partial}{\partial x_2}\right)^{\beta_2}$$

avec

$$\left\{ \begin{array}{l} \beta = (\beta_1, \beta_2) \\ |\beta| = \beta_1 + \beta_2 \end{array} \right.$$

On définit aussi pour $\ell \in \mathbb{N}$, $\ell \leq m$

$$\| |D^\ell f(x)| \| = \sup_{\| \xi_i \| = 1} |D^\ell f(x) (\xi_1, \dots, \xi_\ell)|$$

($\xi_i \in \mathbb{R}^2$ pour $1 \leq i \leq \ell$)

On munit $W^{m,p}(T)$, des semi-normes suivantes :

$$|f|_{\ell,p,T} = \left(\int_T \| |D^\ell f(x)| \|^p dx \right)^{1/p} ; 0 \leq \ell \leq m$$

Avec la modification habituelle quand p tend vers l'infini.

II - ÉTUDE DE L'ERREUR D'INTERPOLATION SUR UN TRIANGLE $T \in \mathcal{T}$, $T \subset \mathcal{D}$:

Soit $T = A_1 A_2 A_3$, subdivisé en 6 micro-triangles t_i .

Soit $f \in W^{m,p}(T)$ et $a = \frac{h}{2p}$.

On a vu au chapitre I que l'interpolant d'Hermite de f , aux points A_i ($1 \leq i \leq 3$), s'écrit de la manière suivante :

$$\pi f = S = \sum_{i=1}^3 f(A_i) \phi_i + \sum_{i=1}^3 \frac{\partial f}{\partial \lambda_{i+1}} (A_i) X_i + \sum_{i=1}^3 \frac{\partial f}{\partial \lambda_{i+2}} (A_i) \psi_i$$

Avec toujours la convention d'indices :

$$A_j = A_{j-3} \text{ pour } j \geq 4.$$

Remarque 1.

Dans cette étude, on se base sur les résultats donnés par GOUT dans [4]. Pour $\nu > 1$, π opérateur d'interpolation et h le diamètre du cercle circonscrit à T , on a les résultats suivants, avec les notations du chapitre I (§ III.C).

Théorème 1.

$$|f - \pi f|_{0,p,T} \leq \frac{6p^2 - 5p}{6(3p-2)(p-1)} h^3 |f|_{3,p,T}$$

Théorème 2.

$$|f - \pi f|_{1,p,T} \leq 6pa \left\{ \sum_{i=1}^3 \left(\frac{N_i}{3p-2} + \frac{D_i}{p-1} \right) \right\} h^2 |f|_{3,p,T}$$

avec :

$$N_i = \text{Max} \left(1 ; \frac{|\alpha_{i+1} - \omega_i|}{\omega_{i+1}} ; \frac{|1 - \alpha_{i+2} - \omega_i|}{\omega_{i+2}} \right)$$

$$D_i = \text{Max} \left(\frac{|(1 - \alpha_{i+2})\omega_{i+1} - \omega_i \alpha_{i+2}|}{\omega_{i+2}}, 1 \right)$$

Théorème 3.

$$|f - \pi f|_{2,p,T} \leq 108 p M a^2 \frac{4p-3}{(3p-2)(p-1)} h |f|_{3,p,T}$$

Avec :

$$M = \text{Max}_{1 \leq i \leq 3} \left(\frac{\omega_i}{\omega_{i+1}^2} \right)$$

Pour la démonstration du théorème 1, on a besoin des lemmes suivants :

Lemme 1.Pour $r = 0, 1$; et avec les mêmes hypothèses que précédemment, on a :

$$\left(\int_T \left(\text{Max}_{1 \leq i \leq 3} ||J_r(f, A_i)(x)|| \right)^p \right)^{1/p} \leq \frac{p}{(3-r)p-2} h^{3-r} |f|_{3,p,T}$$

Avec :

$$J_r(f, A_i)(x) = \int_0^1 (1-t)^{2-r} D^3 f(x+t(A_i-x)) \cdot (A_i-x)^{3-r} dt$$

Pour la démonstration de ce lemme cf. [1]

Lemme 2.

ϕ_i, X_i, ψ_i étant les fonctions de base du procédé d'interpolation, on a les résultats suivants :

$$\left\{ \begin{array}{l} \phi_i \geq 0 ; X_i \geq 0 \quad \psi_i \geq 0 \\ \sum_{i=1}^3 \phi_i(\lambda_1, \lambda_2, \lambda_3) = 1 \\ \sum_{i=1}^3 (X_i + \psi_i)(\lambda_1, \lambda_2, \lambda_3) = \lambda_1 \lambda_2 + \lambda_1 \lambda_3 + \lambda_2 \lambda_3 \end{array} \right.$$

Démonstration.

La démonstration est évidente ; en effet il suffit d'écrire localement chaque fonction de base dans la base de Bernstein (voir ch. I) ; les B-coefficients de la somme sont alors les sommes des B-coefficients des fonctions de base du procédé.

Lemme 3.

$$\begin{aligned} |(f - \pi f)(x)| &\leq \frac{1}{2} \sum_{i=1}^3 |J_0(f, A_i)(x)| \phi_i(x) \\ &+ \sum_{i=1}^3 |J_1(f, A_i)(x) \cdot \overrightarrow{A_i A_{i+1}}| X_i(x) \\ &+ \sum_{i=1}^3 |J_1(f, A_i)(x) \cdot \overrightarrow{A_i A_{i+2}}| \psi_i(x) \end{aligned}$$

Pour la démonstration de ce lemme cf. [4].

Démonstration du théorème 1.

En utilisant le lemme précédent et en majorant les normes par le Max, on a :

$$\begin{aligned}
|(f-\pi f)(x)| &\leq \frac{1}{2} \operatorname{Max}_{1 \leq i \leq 3} |J_0(f, A_i)(x)| \sum_{i=1}^3 \phi_i(x) \\
&+ h \operatorname{Max}_{1 \leq i \leq 3} ||J_1(f, A_i)(x)|| \sum_{i=1}^3 \chi_i(x) \\
&+ h \operatorname{Max}_{1 \leq i \leq 3} ||J_1(f, A_i)(x)|| \sum_{i=1}^3 \psi_i(x)
\end{aligned}$$

(car $||A_i A_{i+j}|| \leq h$ pour $1 \leq i \leq 3$ et $1 \leq j \leq 2$).

Et en utilisant le lemme 2, on a :

$$|(f-\pi f)(x)| \leq \frac{1}{2} \operatorname{Max}_{1 \leq i \leq 3} |J_0(f, A_i)(x)| + \frac{h}{3} \operatorname{Max}_{1 \leq i \leq 3} ||J_1(f, A_i)(x)||$$

En effet :

$$\operatorname{Max}_{x \in T} (\lambda_1 \lambda_2 + \lambda_2 \lambda_3 + \lambda_1 \lambda_3)(x) = 1/3.$$

En passant à la norme L_p et en appliquant le lemme 1, on a :

$$\begin{aligned}
|f-\pi f|_{0,p,T} &\leq 1/2 \left[\int_T (\operatorname{Max}_{1 \leq i \leq 3} ||J_0(f, A_i)(x)||)^p \right]^{1/p} \\
&+ \frac{h}{3} \left[\int_T (\operatorname{Max}_{1 \leq i \leq 3} ||J_1(f, A_i)(x)||)^p \right]^{1/p} \\
&\leq \frac{p}{2(3p-2)} h^3 |f|_{3,p,T} + \frac{h}{3} \frac{p}{2p-2} h^2 |f|_{3,p,T}
\end{aligned}$$

d'où

$$|f-\pi f|_{0,p,T} \leq \frac{p(6p-5)}{6(p-1)(3p-2)} h^3 |f|_{3,p,T}.$$

C.Q.F.D.

Pour la démonstration du théorème 2, on a besoin des lemmes suivants :

Lemme 4.

Soit $f_i = \phi_i$ (X_i ou ψ_i ; $1 \leq i \leq 3$).

Posons

$$P_i(x) = f_i(\lambda_1(x), \lambda_2(x), \lambda_3(x)) ;$$

On a pour $m = 0, 1, 2$

$$\begin{aligned} ||D^m P_i(x)|| &\leq \left(\max_{1 \leq j \leq 3} ||D\lambda_j|| \right)^m \sum_{|\alpha|=m} \frac{m!}{\alpha!} |\partial^\alpha f_i(\lambda_1(x), \lambda_2(x), \lambda_3(x))| \\ &\leq \left(\frac{1}{\rho} \right)^m \sum_{|\alpha|=m} \frac{m!}{\alpha!} |\partial^\alpha f_i(\lambda_1(x), \lambda_2(x), \lambda_3(x))| \end{aligned}$$

Pour la démonstration de ce lemme cf. [1].

Le tableau suivants représentent les dérivés partielles premières et secondes des fonctions de base. Il suffit de donner les résultats pour ϕ_1 et X_1 . ϕ_i ($i = 2, 3$) et X_i ; ψ_i (pour $1 \leq i \leq 3$) ont des formules respectivement analogues à celles de ϕ_1 et X_1 .

	$\frac{\partial \phi_1}{\partial \lambda_1}$	$\frac{\partial \phi_1}{\partial \lambda_2}$	$\frac{\partial \phi_1}{\partial \lambda_3}$
t_1	$2(\lambda_{11} + \lambda_{12} + \lambda_{13})$	$2\lambda_{11} + 2 \frac{\alpha_2 - \omega_1}{\omega_2} \lambda_{13}$	$2\lambda_{11}$
t_2	$2(\lambda_{21} + \lambda_{22} + \lambda_{23})$	$2\lambda_{21}$	$2\lambda_{21} + 2 \frac{1 - \alpha_3 - \omega_1}{\omega_3} \lambda_{22}$
t_3	$2(\lambda_{33} + \lambda_{32})$	0	$2 \frac{1 - \alpha_3 - \omega_1}{\omega_3} \lambda_{33}$
t_4	$2\lambda_{43}$	0	0
t_5	$2\lambda_{52}$	0	0
t_6	$2(\lambda_{62} + \lambda_{63})$	$2 \frac{(\alpha_1 - \omega_1)}{\omega_2} \lambda_{62}$	0

Tableau 1. Représentant les dérivées partielles de ϕ_1 par rapport aux coordonnées barycentriques $\lambda_1, \lambda_2, \lambda_3$.



	$\frac{\partial X_1}{\partial \lambda_1}$	$\frac{\partial X_1}{\partial \lambda_2}$	$\frac{\partial X_1}{\partial \lambda_3}$
t_1	$\omega_2 \lambda_{12}$	$\lambda_{11} + \alpha_2 \lambda_{13}$	0
t_2	$\omega_2 \lambda_{23} + \alpha_3 \lambda_{22}$	λ_{21}	$\frac{(1-\alpha_3)\omega_2 - \omega_1 \alpha_3}{\omega_3} \lambda_{22}$
t_3	$\alpha_3 \lambda_{33} + \omega_3 \lambda_{32}$	0	$\frac{(1-\alpha_3)\omega_2 - \omega_1 \alpha_3}{3} \lambda_{33}$
t_4	$\omega_2 \lambda_{43}$	0	0
t_5	$\omega_2 \lambda_{52}$	0	0
t_6	$\omega_2 \lambda_{63}$	$\alpha_2 \lambda_{62}$	0

Tableau 2. Représentant les dérivées partielles de X_1 par rapport aux coordonnées barycentriques $\lambda_1, \lambda_2, \lambda_3$ de T.

	$\frac{\partial^2 \phi_1}{\partial \lambda_1^2}$	$\frac{\partial^2 \phi_1}{\partial \lambda_2^2}$	$\frac{\partial^2 \phi_1}{\partial \lambda_3^2}$
t_1	2	$2 \left[\frac{\omega_3 \alpha_2}{\omega_2 (1-\alpha_2)} - \frac{\omega_1}{\omega_2} - \frac{\alpha_2 - \omega_1}{\omega_2} \frac{\omega_3}{\omega_2 (1-\alpha_2)} \right]$	$2 \alpha_2 - \frac{2\alpha_2}{1-\alpha_2}$
t_2	2	$-2 \frac{(1-\alpha_3)}{\alpha_3}$	$2 \left[\frac{\omega_2 (1-\alpha_3)}{\omega_3 \alpha_3} - \frac{\omega_1}{\omega_3} - \frac{1-\alpha_3 - \omega_1}{\omega_3} \frac{\omega_2}{\alpha_3 \omega_3} \right]$
t_3	$\frac{2}{1-\alpha_3}$	0	$-2 \frac{1-\alpha_3 - \omega_1}{\omega_3} \times \frac{\omega_1}{\omega_3 (1-\alpha_3)}$
t_4	$\frac{2}{\omega_1}$	0	0
t_5	$\frac{2}{\omega_1}$	0	0
t_6	$\frac{2}{\alpha_2}$	$-2 \frac{(\alpha_2 - \omega_1)}{\omega_2} \times \frac{\omega_1}{\alpha_2 \omega_2}$	0

Tableau 3. Représentant les dérivées partielles $\frac{\partial^2 \phi_i}{\partial \lambda_i^2}$; $1 \leq i \leq 3$.



	$\frac{\partial^2 \phi_1}{\partial \lambda_1 \partial \lambda_2}$	$\frac{\partial^2 \phi_1}{\partial \lambda_2 \partial \lambda_3}$	$\frac{\partial^2 \phi_1}{\partial \lambda_1 \partial \lambda_2}$
t_1	2	$2 \left(\frac{\omega_3^{\alpha_2}}{\omega_2 (1-\alpha_2)} - \frac{\omega_1}{\omega_2} \right)$	2
t_2	2	$2 \left[\frac{\omega_2 (1-\alpha_3)}{\omega_3^{\alpha_3}} - \frac{\omega_1}{\omega_3} \right]$	2
t_3	0	0	$\frac{2(-\omega_1 + 1 - \alpha_3)}{\omega_3 (1-\alpha_3)}$
t_4	$\frac{2}{\omega_1}$	0	0
t_5	0	0	0
t_6	$2 \left[\frac{-\omega_1 + \alpha_2}{\omega_2^{\alpha_2}} \right]$	0	0

Tableau 4. Représentant les dérivées partielles $\frac{\partial^2 \phi_1}{\partial \lambda_i \partial \lambda_j}$, $i \neq j$; $1 \leq i, j \leq 3$

	$\frac{\partial^2 X_1}{\partial \lambda_1^2}$	$\frac{\partial^2 X_1}{\partial \lambda_2^2}$	$\frac{\partial^2 X_1}{\partial \lambda_3^2}$
t_1	0	$-\frac{\omega_1}{\omega_2}$	0
t_2	0	$-\frac{1-\alpha_3}{\alpha_3}$	$-\frac{\omega_2 (1-\alpha_3)\omega_2 - \omega_1\alpha_3}{\alpha_3\omega_3}$
t_3	$\frac{\alpha_3}{1-\alpha_3}$	0	$-\frac{\omega_1 (1-\alpha_3)\omega_2 - \omega_1\omega_3}{\omega_3(1-\alpha_3)}$
t_4	$\frac{\omega_2}{\omega_1}$	0	0
t_5	$\frac{2}{1}$	0	0
t_6	0	$-\frac{\omega_1}{\omega_2}$	0

Tableau 5. Représentant les dérivées partielles $\frac{\partial^2 X_1}{\partial \lambda_i^2}$; $1 \leq i \leq 3$.

	$\frac{\partial^2 X_1}{\partial \lambda_1 \partial \lambda_2}$	$\frac{\partial^2 X_1}{\partial \lambda_2 \partial \lambda_3}$	$\frac{\partial^2 X_1}{\partial \lambda_1 \partial \lambda_3}$
t_1	1	0	0
t_2	0	$\frac{1}{\alpha_3} \times \frac{(1-\alpha_3)\omega_2^{-\omega_1\alpha_3}}{\omega_3}$	0
t_3	0	0	$\frac{1}{1-\alpha_3} \times \frac{(1-\alpha_3)\omega_2^{-\omega_1\alpha_3}}{\omega_3}$
t_4	0	0	0
t_5	0	0	0
t_6	1	0	0

Tableau 6. Représentant les dérivées partielles $\frac{\partial^2 X_1}{\partial \lambda_i \partial \lambda_j}$, $i \neq j$, $1 \leq i, j \leq 3$.

Lemme 5.

ϕ_i, X_i et ψ_i ; $1 \leq i \leq 3$; étant toujours les fonctions de base, on a les majorations suivantes :

$$|\phi_i|_{1,\infty,T} \leq \frac{6}{\rho} \text{Max} \left(1 ; \frac{|\alpha_{i+1}^{-\omega_i}|}{\omega_{i+1}} ; \frac{|1-\alpha_{i+2}^{-\omega_i}|}{\omega_{i+2}} \right)$$

$$|X_i|_{1,\infty,T} \leq \frac{3}{\rho} \text{Max} \left(1 ; \frac{|(1-\alpha_{i+2})\omega_{i+1}^{-\omega_i}\alpha_{i+2}|}{\omega_{i+2}} \right)$$

ρ étant toujours le diamètre du cercle inscrit dans T (pour $|\psi_i|_{1,\infty,T}$, on trouve une majoration équivalente à celle de $|X_i|_{1,\infty,T}$).

Démonstration.

D'après le lemme 4, et pour $1 \leq i \leq 3$, on a :

$$|\phi_i|_{1,\infty,T} \leq \frac{1}{\rho} \left(\left| \frac{\partial \phi_i}{\partial \lambda_1} \right| + \left| \frac{\partial \phi_i}{\partial \lambda_2} \right| + \left| \frac{\partial \phi_i}{\partial \lambda_3} \right| \right)$$

$$(1) \leq \frac{3}{\rho} \text{Max}_{1 \leq j \leq 3} \left| \frac{\partial \phi_i}{\partial \lambda_j} \right|$$

Or en considérant les expressions des $\frac{\partial \phi_i}{\partial \lambda_j}$ ($1 \leq i, j \leq 3$) ; on constate que :

$$\sup_{x \in T} \text{Max}_{1 \leq j \leq 3} \left| \frac{\partial \lambda_i(\lambda(x))}{\partial \lambda_j} \right| (2) \leq 2 \text{Max} \left(1 ; \frac{|\alpha_{i+1}^{-\omega_i}|}{\omega_{i+1}} ; \frac{|1-\alpha_{i+2}^{-\omega_i}|}{\omega_{i+2}} \right)$$

Les inégalités (1) et (2), donnent :

$$|\phi_i|_{1,\infty,T} \leq \frac{6}{\rho} \text{Max} \left(1 ; \frac{|\alpha_{i+1}^{-\omega_i}|}{\omega_{i+1}} ; \frac{|1-\alpha_{i+2}^{-\omega_i}|}{\omega_{i+2}} \right)$$

Même raisonnement pour $|X_i|_{1,\infty,T}$.

Lemme 6.

Avec toutes les hypothèses posées au début on a :

pour $m = 1, 2$:

$$|f - \pi f|_{m,p,T} \leq \left\{ \frac{1}{2} \frac{p}{3p-2} \sum_{i=1}^3 |\phi_i|_{m,\infty,T} + \frac{p}{2(p-1)} \sum_{i=1}^3 (|x_i|_{m,\infty,T} + |\psi_i|_{m,\infty,T}) \right\} \\ \times h^3 |f|_{3,p,T}.$$

Pour la démonstration de ce lemme cf. [4].

Démonstration du théorème 2.

En appliquant le lemme 6, pour $m = 1$, on a :

$$|f - \pi f|_{1,p,T} \leq \frac{1}{2} \frac{p}{3p-2} \left(\sum_{i=1}^3 |\phi_i|_{1,\infty,T} \right) h^3 |f|_{3,p,T} \\ + \frac{p}{2(p-1)} \left(\sum_{i=1}^3 (|\psi_i|_{1,\infty,T} + |x_i|_{1,\infty,T}) \right) h^3 |f|_{3,p,T}$$

En utilisant le lemme 5, on a :

$$|f - \pi f|_{1,p,T} \leq \frac{6p}{3p-2} \left(\frac{h}{2\rho} \right) [N_1 + N_2 + N_3] h^2 |f|_{3,p,T} \\ + \frac{6p}{p-1} \left(\frac{h}{2\rho} \right) [D_1 + D_2 + D_3] h^2 |f|_{3,p,T}$$

Avec

$$\left. \begin{aligned}
 N_i &= \text{Max} \left(1 ; \frac{|\alpha_{i+1} - \omega_i|}{\omega_{i+1}} ; \frac{|1 - \alpha_{i+2} - \omega_i|}{\omega_{i+2}} \right) \\
 D_i &= \text{Max} \left(1 ; \frac{|(1 - \alpha_{i+2}) \omega_{i+2} - \omega_i \alpha_{i+2}|}{\omega_{i+2}} \right)
 \end{aligned} \right\} \text{ pour } 1 \leq i \leq 3$$

On a donc

$$|f - \pi f|_{1,P,T} \leq 6pa \left[\sum_{i=1}^3 \frac{N_i}{3p-2} + \frac{D_i}{p-1} \right] h^2 |f|_{3,P,T}$$

C.Q.F.D.

Pour la démonstration du théorème 3, on a besoin des lemmes suivants :

Lemme 7.

ϕ_i , X_i et ψ_i étant toujours les fonctions de base et λ_i , les coordonnées barycentriques ($1 \leq i \leq 3$) on a :

$$\text{et } \left. \begin{aligned}
 \left| \frac{\partial \phi_i}{\partial \lambda_k \partial \lambda_l} \right| &\leq 2M \\
 \left| \frac{\partial f_i}{\partial \lambda_k \partial \lambda_l} \right| &\leq M_i
 \end{aligned} \right\} \begin{array}{l} 1 \leq i, k, l \leq 3 \\ f_i = X_i \text{ ou } \psi_i. \end{array}$$

Avec

$$M_i = \text{Max} \left(\frac{1}{\omega_j^2 (1 - \alpha_j)} ; \frac{1}{\omega_j^2 \alpha_j} \right).$$

Démonstration.

Il suffit de considérer les expressions donnés dans les tableaux précédents et d'utiliser le fait que α_i et ω_i sont inférieurs ou égaux à 1.

Lemme 8.

Pour $1 \leq i \leq 3$, on a :

$$|\phi_i|_{2,\infty,T} \leq \frac{18}{\rho^2} M$$

$$|f_i|_{2,\infty,T} \leq \frac{9}{\rho^2} M \quad (\text{avec } f_i = \psi_i \text{ ou } X_i)$$

Démonstration.

En appliquant le lemme 4 on a :

$$\begin{aligned} |\phi_i|_{2,\infty,T} &\leq \frac{1}{\rho^2} \sum_{|\alpha|=2} \frac{2!}{\alpha!} |\partial^\alpha \phi_i(\lambda_1(x), \lambda_2(x), \lambda_3(x))| \\ &\leq \frac{1}{\rho^2} \left\{ \left| \frac{\partial^2 \phi_i}{\partial \lambda_1^2} \right| + \left| \frac{\partial^2 \phi_i}{\partial \lambda_2^2} \right| + \left| \frac{\partial^2 \phi_i}{\partial \lambda_3^2} \right| \right. \\ &\quad \left. + 2 \left(\left| \frac{\partial^2 \phi_i}{\partial \lambda_1 \partial \lambda_2} \right| + \left| \frac{\partial^2 \phi_i}{\partial \lambda_1 \partial \lambda_3} \right| + \left| \frac{\partial^2 \phi_i}{\partial \lambda_2 \partial \lambda_3} \right| \right) \right\} \\ &\leq \frac{18}{\rho^2} M \quad (\text{d'après le lemme 8}). \end{aligned}$$

(On fait le même raisonnement pour $f = \psi_i$ ou X_i)

Démonstration du théorème 3.

D'après le lemme 6, pour $m = 2$; on a :

$$\begin{aligned} |f - \pi f|_{2,p,T} &\leq \frac{1}{2} \frac{p}{3p-2} \sum_{i=1}^3 |\phi_i|_{2,\infty,T} h^3 |f|_{3,p,T} \\ &\quad + \frac{p}{2(p-1)} \left(\sum_{i=1}^3 (|X_i|_{2,\infty,T} + |\psi_i|_{2,\infty,T}) \right) h^3 |f|_{3,p,T} \\ &\leq \left\{ \frac{108 Mp}{3p-2} + \frac{108 Mp}{p-1} \right\} \frac{h^2}{4\rho^2} \cdot h |f|_{3,p,T} \end{aligned}$$

(d'après le lemme 8).

Avec

$$M = \max_i \left(\frac{\omega_i}{\omega_{i+1}} \right)$$

d'où après calcul, on a :

$$|f - \pi f|_{2,p,T} \leq 108 M p a^2 \left[\frac{4p-3}{(3p-2)(p-1)} \right] h |f|_{3,p,T}$$

C.Q.F.D.

III - GÉNÉRALISATION : ÉTUDE DE L'ERREUR D'INTERPOLATION SUR LE DOMAINE D TRIANGLE.

On démontre que les majorations précédentes sont valables dans D, triangulé par \mathcal{T} (qui est régulière). On se base dans cette étude sur les résultats donnés par P. Sablonnière dans [9].

1°) - Notions préliminaires.

Toujours dans \mathbb{R}^2 , on considère le triangle \hat{T} , appelé triangle de référence, de sommets

$$\hat{A}_1 = (0, 0) ; \hat{A}_2 = (1, 0) ; \hat{A}_3 = (0, 1)$$

(voir figure 1).

et $\hat{\Omega}_T$ le centre du cercle inscrit dans \hat{T} .

Soit $T \in \mathcal{T}$, $T = (A_1 A_2 A_3)$.

Soit F_T la transformation affine telle que :

$$F_T(\hat{A}_i) = A_i \text{ pour } 1 \leq i \leq 3.$$

P. Sablonnière a démontré dans [9], que les points $\hat{\Omega}_T = F_T^{-1}(\Omega_T)$ varient dans un compact de \hat{T} , quand T varie dans \mathcal{T} .

On appelle ce compact K_α (relativement à α choisi au début du chapitre).

En se référant à la figure 1, on remarque que $\hat{\Omega}_T$ a comme coordonnées cartésiennes (ω_2, ω_3) .

En effet :

$$\hat{\Omega}_T = \omega_1 \hat{A}_1 + \omega_2 \hat{A}_2 + \omega_3 \hat{A}_3 = (\omega_2, \omega_2)$$

d'où

$$k_1(\alpha) \leq \omega_i \leq k_2(\alpha) \quad (1 \leq i \leq 3)$$

et

$$x^* \leq \alpha_i \leq 1 - x^* \quad (\text{pour } 1 \leq i \leq 3).$$

Avec

$$k_1(\alpha) = (2\alpha + 1 - 2\sqrt{\alpha(\alpha-1)}) / (8\alpha + 1)$$

$$k_2(\alpha) = (2\alpha + 1 + 2\sqrt{\alpha(\alpha-1)}) / (8\alpha + 1)$$

$$x^*(\alpha) = (1 - \sqrt{1 - \beta^2}) / 2$$

$$\beta = (\sqrt{8\alpha + 1} + 1) / 4\alpha.$$

(pour ces résultats voir [9]).

Remarque 2.

Les théorèmes 1', 2', 3' sont des généralisations respectives des théorèmes 1, 2, 3.

Théorème 1'.

Avec les mêmes hypothèses que dans le paragraphe précédent, et aussi en posant :

$$H = \max_{T \in T} h_T ;$$

On a :

$$|f - \pi f|_{0, P, D} \leq \frac{6p^2 - 5p}{6(3p-2)(p-1)} H^3 |f|_{3, P, D}$$

Théorème 2'.

$$|f - \pi f|_{1, P, D} \leq 18\alpha p \frac{1}{k_1(\alpha)} \left(\frac{A(\alpha)}{3p-2} + \frac{B(\alpha)}{p-1} \right) H^2 |f|_{3, P, D}$$

Avec

$$A(\alpha) = |1 - k_1(\alpha) - x^*(\alpha)|$$

$$B(\alpha) = \max (|(1-x^*(\alpha)) k_2(\alpha) - k_1(\alpha) \cdot x^*(\alpha)| ; (k_2(\alpha) - k_1(\alpha)) x^*(\alpha)).$$

Théorème 3'.

$$|f - \pi f|_{2, P, D} \leq \frac{108 \alpha^2 k_2(\alpha)}{k_1^2(\alpha)} \left[\frac{4p-3}{(3p-2)(p-1)} \right] H |f|_{3, P, D}$$

Démonstration du théorème 1'.

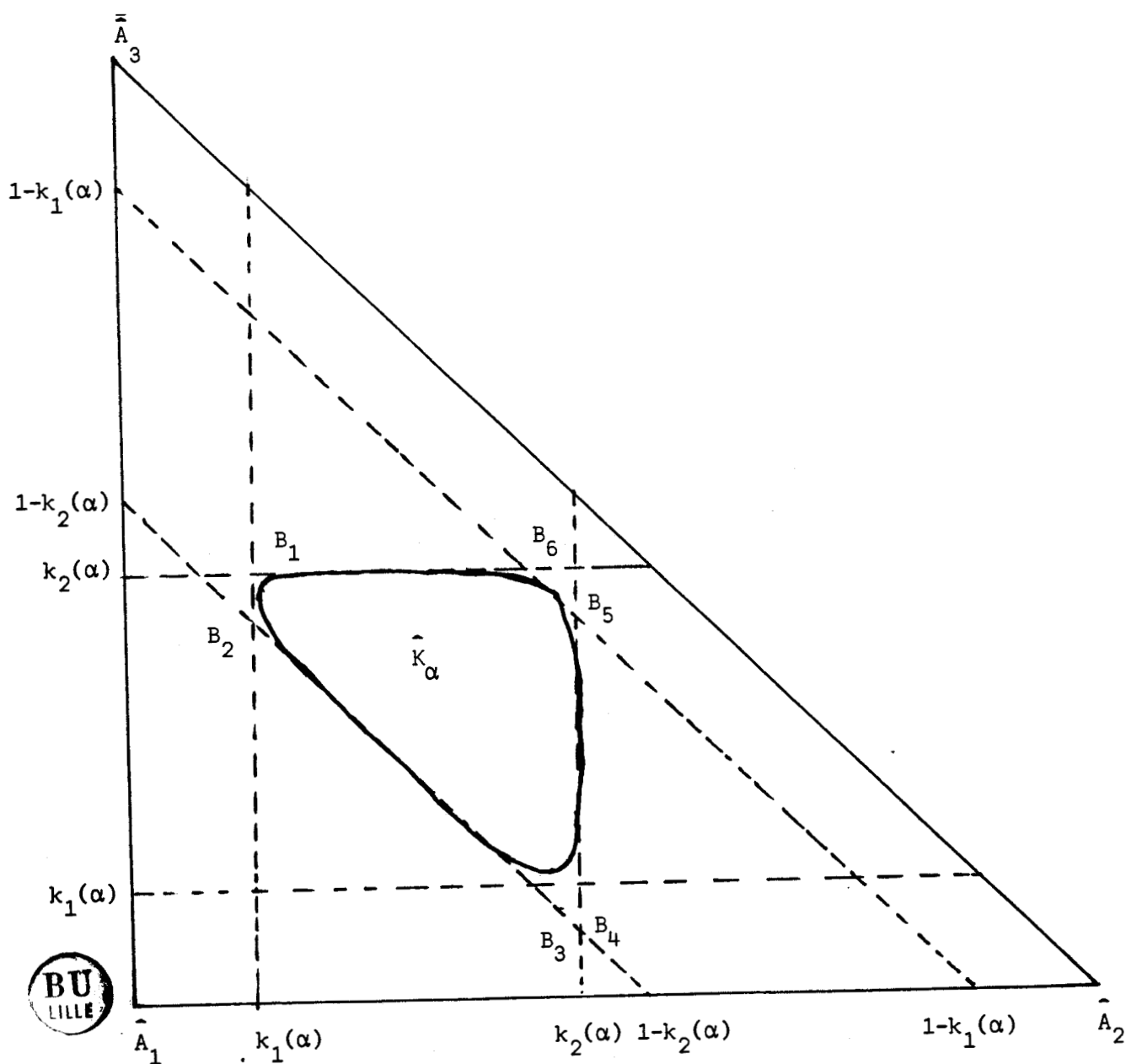
Il suffit de reprendre le résultat du théorème 1 et d'utiliser le fait que $h_T \leq H, \forall T \in T$.

Pour les démonstration du théorème 2', on a besoin des lemmes suivants :

Lemme 10.

α_i, ω_i (pour $1 \leq i \leq 3$) ; $k_1(\alpha)$; $k_2(\alpha)$; $x^*(\alpha)$; étant donnés précédemment, on a le résultat :

$$\left. \begin{array}{l} |\alpha_{i+1} - \omega_i| \leq A(\alpha) \\ |\omega_i(1-\alpha_{i+1}) - \omega_{i+2} \alpha_{i+1}| \leq B(\alpha) \end{array} \right\} \text{pour } 1 \leq i \leq 3.$$



Avec

$$\begin{cases} A(\alpha) = |1 - k_1(\alpha) - x^*(\alpha)| \\ B(\alpha) = \text{Max} (|(1 - x^*(\alpha)) k_2(\alpha) - k_1(\alpha) x^*(\alpha)| ; (k_2(\alpha) - k_1(\alpha)) x^*(\alpha)) \end{cases}$$

Démonstration.

La démonstration de ce lemme est évidente, il suffit d'utiliser le fait que :

$$k_1(\alpha) \leq \omega_i \leq k_2(\alpha) \quad (\text{pour } 1 \leq i \leq 3)$$

et

$$x^*(\alpha) \leq \alpha_i \leq 1 - x^*(\alpha) \quad (1 \leq i \leq 3)$$

Démonstration du théorème 2'.

En reprenant le théorème 2, on a : $\forall T \in T$

$$|f - \pi f|_{1,p,T} \leq 6pa \left\{ \sum_{i=1}^3 \left(\frac{N_i}{3^{p-2}} + \frac{D_i}{p-1} \right) \right\} h_T^2 |F|_{3,p,T}$$

Avec :

$$\left. \begin{aligned} N_i &= \text{Max} \left(1 ; \frac{|\alpha_{i+1} - \omega_i|}{\omega_{i+1}} ; \frac{|1 - \alpha_{i+2} - \omega_i|}{\omega_{i+2}} \right) \\ D_i &= \text{Max} \left(1 ; \frac{|(1 - \alpha_{i+2})\omega_{i+1} - \omega_i \alpha_{i+2}|}{\omega_{i+2}} \right) \end{aligned} \right\} 1 \leq i \leq 3$$

Or d'après le lemme 9

$$|\alpha_{i+1} - \omega_i| \leq A(\alpha)$$

et

$$|1 - \alpha_{i+2} - \omega_i| \leq A(\alpha)$$

de même $\omega_i \geq k_1(\alpha)$ et $|(1-\alpha_{i+2})\omega_{i+1} - \omega_i\alpha_{i+2}| \leq B(\alpha)$.

On a donc :

$$\left\{ \begin{array}{l} N_i \leq \frac{A(\alpha)}{k_1(\alpha)} \\ D_i \leq \frac{B(\alpha)}{k_1(\alpha)} \end{array} \right.$$

Par conséquent on a :

$$|f-\pi f|_{1,P,T} \leq 6pa \cdot \frac{3}{k_1(\alpha)} \left(\frac{A(\alpha)}{3^{p-2}} + \frac{B(\alpha)}{p-1} \right) h_T^2 |f|_{3,P,T}$$

Or ceci est vrai $\forall T \in \mathcal{T}$, et $a \leq \alpha$; donc

$$|f-\pi f|_{1,P,D} \leq 18 \alpha \left\{ \frac{4^{p-3}}{(p-1)(3^{p-2})} + \frac{1}{1-2k_2(\alpha)} \left(\frac{A(\alpha)}{3^{p-2}} + \frac{B(\alpha)}{p-1} \right) \right\} H^2 |f|_{3,P,D}$$

C.Q.F.D.

Démonstration du théorème 3'.

En reprenant le théorème 3, on a $\forall T \in \mathcal{T}$

$$|f-\pi f|_{2,P,T} \leq 108 PM a^2 \frac{4^{p-3}}{(3^{p-2})(p-1)} h_T |f|_{3,P,T}$$

avec

$$M = \text{Max} \left(\frac{\omega_i}{2}, \frac{\omega_i}{\omega_{i+1}} \right)$$

On vérifie que :

$$M \leq \frac{k_2(\alpha)}{k_1^2(\alpha)}$$

De même on a :

$$a = \frac{h}{2\rho} \leq \alpha$$

En remplaçant, on a donc

$$|f - \pi f|_{2,P,D} \leq \frac{108\rho\alpha^2}{k_1^2(\alpha)x^*(\alpha)} \times \frac{4P-3}{(3P-2)(P-1)} H |f|_{3,P,D}$$

C.Q.F.D.

IV - EXEMPLE NUMÉRIQUES.

On choisit par exemple : $\alpha = 1$.

Théorème 1'.

Pour $P = 2$, on a :

$$|f - \pi f|_{0,2,D} \leq \frac{7}{12} H^3 |f|_{3,2,D}$$

Pour $P = \infty$; on a :

$$|f - \pi f|_{0,\infty,D} \leq 1/3 H^3 |f|_{3,\infty,D}$$

Théorème 2'.

Pour $p = 2$, on a :

$$|f - \pi f|_{1,2,D} \leq 9/2 H^2 |f|_{3,2,D}$$

Pour $p = \infty$, on a :

$$|f - \pi f|_{1,\infty,D} \leq 3 H^2 |f|_{3,\infty,D}.$$

Théorème 3'.

Pour $p = 2$, on a

$$|f - \pi f|_{2,2,D} \leq 810 H |f|_{3,2,D}$$

pour $p = \infty$, on a :

$$|f - \pi f|_{2,\infty,D} \leq 432 H |f|_{3,\infty,D}$$

CHAPITRE III

INTERPOLATION DE LAGRANGE

SUR UN DOMAINE CARRE TRIANGLE.

I - INTRODUCTION ET NOTATIONS.

Soit Ω un domaine carré de \mathbb{R}^2 , et T une triangulation régulière de Ω (voir Fig. 1 et 2).

Soient :

$C^{-1}(\Omega)$: {fonctions bornées sur Ω }

A_i ($1 \leq i \leq N_0$) : points choisis convenablement sur Ω .

$P_2^1(\Omega, C)$: {splines quadratiques C^1 sur Ω , muni de la triangulation T }

N_0 : dimension de $P_2^1(\Omega, C)$.

Dans ce chapitre on résoud le problème suivant :

Etant donné $f \in C^{-1}(\Omega)$, on montre qu'il existe S unique, appartenant à $P_2^1(\Omega, T)$ tel que

$$S(A_i) = f(A_i) \quad 1 \leq i \leq N_0.$$

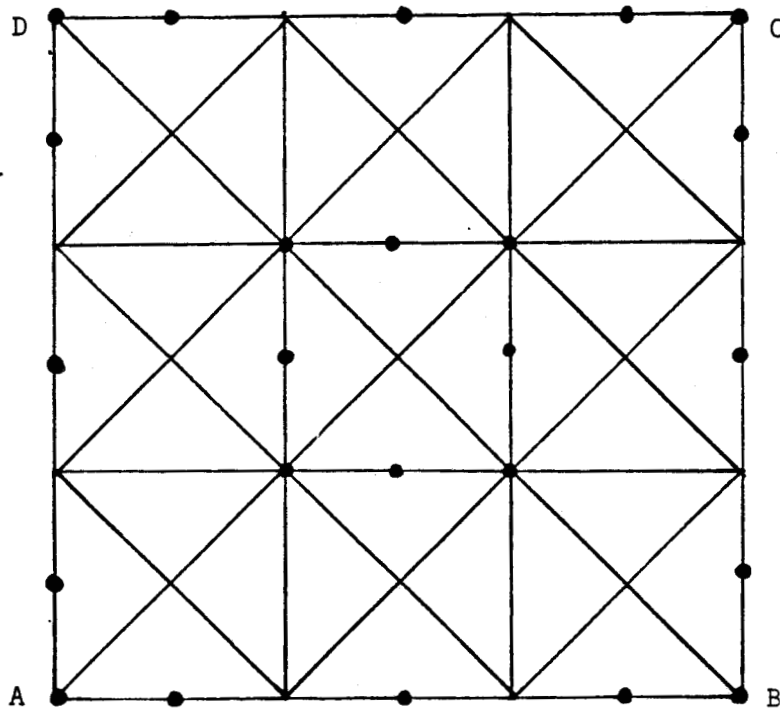
On résoud le problème dans deux cas de figure $\Omega = Q_N^*$ et $\Omega = Q_N$, qui sont deux domaines carrés, mais qui diffèrent par le choix des points d'interpolation.

II - CHOIX DES POINTS D'INTERPOLATION.

1 - Sur Q_n^* :

Figure 1.

Choix des points \tilde{q} 'interpolation sur Q_3^ .*



$$\forall N \quad Q_N^* \subset Q_{N+2}^*$$

Les côtés étant subdivisés en N segments égaux, on choisit comme points d'interpolation, les 4 sommets du carré et les milieux des segments déterminés par la subdivision.

2 - Sur Q_N :

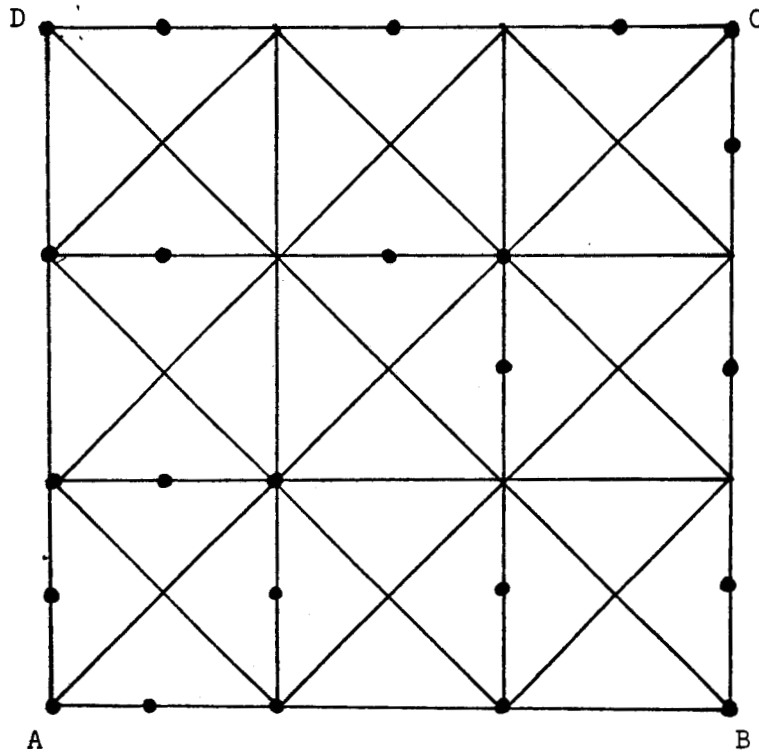


Fig. 2 : Choix des points d'interpolation sur Q_3 .

$$\forall N, \quad Q_N \subset Q_{N+1}$$

De la même façon que précédemment les côtés du carré sont subdivisés en N segments.

De plus sur les côtés BC et CD le choix des points d'interpolation est le même.

Par contre sur les côtés AD et AB, le passage de Q_N à Q_{N+1} se fait en prenant B et D comme nouveaux points d'interpolation.

Remarque 1.

On montrera par la suite que le nombre de points choisis correspond bien à la dimension de $P_2^1(\Omega, \mathbb{C})$

III - CALCUL DE LA SPLINE D'INTERPOLATION.

Théorème 1.

Pour $\Omega = Q_N^*$ (respectivement Q_N), f fonction donnée appartenant à $C^{-1}(\Omega)$, il existe une spline et une seule appartenant à $P_2^1(\Omega, T)$ interpolant f aux points A_i , $1 \leq i \leq N$.

A) - NOTIONS PRELIMINAIRES.

On sait d'après le chapitre I, que la spline S peut s'écrire sur T , dans la base de Bernstein de $P_2(T)$, de la manière suivante :

$$S(\lambda_1, \lambda_2, \lambda_3) : \sum_{0 \leq i+j \leq 2} a_{ij} \beta_{ij}(\lambda_1, \lambda_2, \lambda_3)$$

avec

$(\lambda_1, \lambda_2, \lambda_3)$: coordonnées barycentriques relatives à T

$\{\beta_{ij}\}_{0 \leq i+j \leq 2}$: base de Bernstein

$\{a_{ij}\}_{0 \leq i+j \leq 2}$: B-coefficients de S .

Ainsi pour calculer la spline, il suffit de calculer ses B-coefficients. Pour ce calcul, on utilise la proposition 1, concernant le raccordement C^1 , donnée dans le chapitre I, avec $K = 1$, comme le montre la figure suivante.

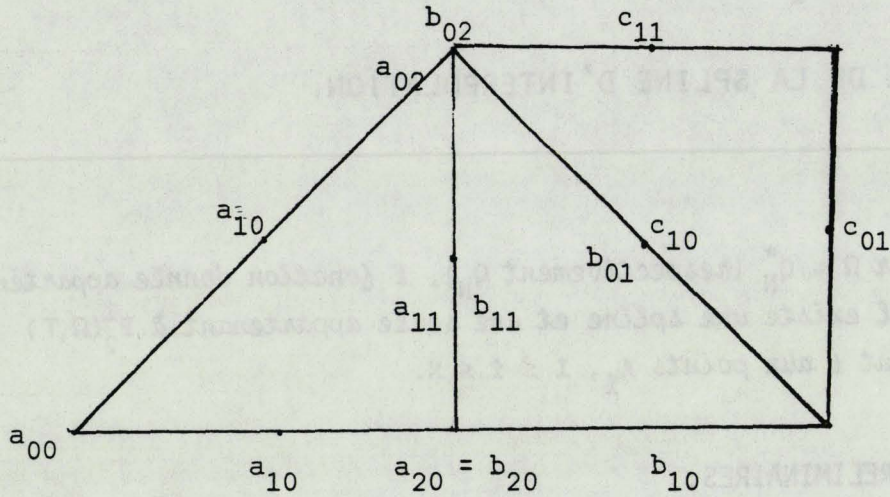


Fig. 3 : Projection du B-réseau dans le cas où les triangles sont rectangles isocèles.

On a :

$$\begin{cases} a_{20} = b_{20} = (a_{10} + b_{10})/2 \\ b_{02} + b_{01} = b_{11} + c_{11} \end{cases}$$

B) - INTERPOLATION DE LAGRANGE SUR Q_N^* .

Le raisonnement est le suivant. Pour $N > 2$, $N \in \mathbb{N}$, on suppose qu'on connaît les B-coefficients de S sur Q_{N-2} , et on donnera un algorithme de passage de Q_{N-2}^* à Q_N^* .

Algorithme de passage de Q_{N-2}^* à Q_N^* , $N \geq 2$.

Le calcul des B-coefficients de S correspondant aux bords de Q_N , conduit à un problème d'interpolation à une dimension (sur un intervalle de \mathbb{R}).

Ce calcul se fait à l'aide de la résolution du système tridiagonal (S_1) et (S_2) donnés au chapitre I paragraphe I.

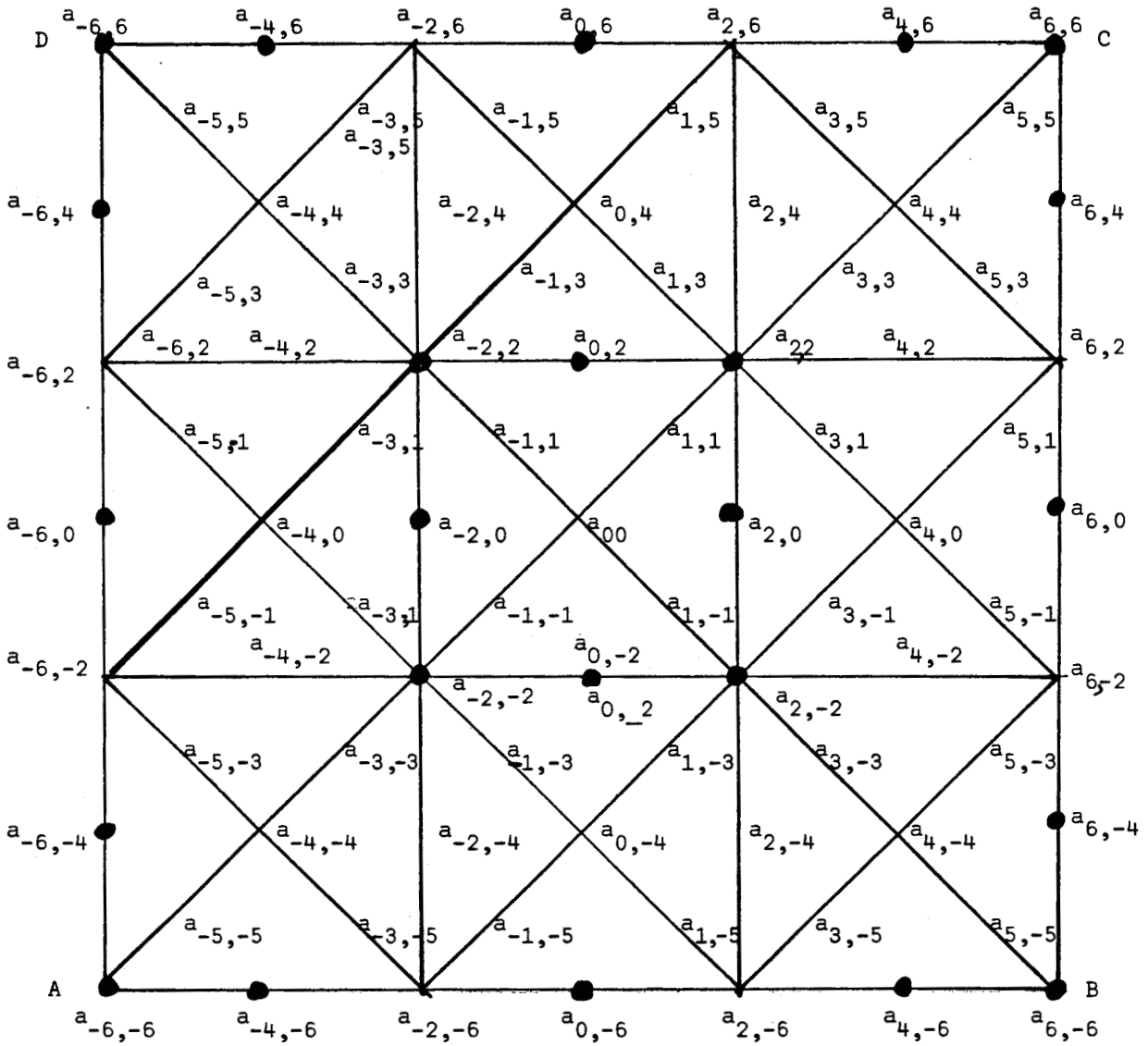


Figure 4. Représentation des B-coefficients de S dans Q_5^* .

Les petits carrés sont appelés Q_{ij} , relativement à la numérotation du B-coefficient central.

Pour $P \in [-(N-1)/2, (N-3)/2]$, $p \in \mathbb{N}$ on a

a) Sur [AB]

$$i = 4p \quad j = -2(N-1)$$

$$a_{i+2,j} = 2a_{i+2,j+2} - a_{i+2,j+4}$$

b) Sur [BC]

$$i = 2(N-1) \quad j = 4p$$

$$a_{i,j+2} = 2a_{i-2,j+2} - a_{i-4,j+2}$$

c) Sur [CD]

$$i = 4p \quad j = 2(N-1)$$

$$a_{i+2,j} = 2a_{i+2,j-2} - a_{i+2,j-4}$$

d) Sur [DA]

$$i = -2(N-1) \quad j = 4p$$

$$a_{i,j+2} = 2a_{i+2,j+2} - a_{i+4,j+2}$$

Et pour les B-coefficients correspondants à l'intérieur des carrés $Q_{i,j}^*$, on applique la proposition 1 du chapitre 1, et on les calcule à l'aide de l'algorithme suivant appelé $G_{i,j}$.

$$\left\{ \begin{array}{l} a_{i-1,j-1} = (a_{i,j-2} + a_{i-2,j})/2 \\ a_{i+1,j-1} = (a_{i,j-2} + a_{i+2,j})/2 \\ a_{i+1,j+1} = (a_{i+2,j} + a_{i,j+2})/2 \\ a_{i-1,j+1} = (a_{i,j+2} + a_{i-2,j})/2 \\ a_{i,j} = (a_{i-1,j+1} + a_{i+1,j-1})/2 \end{array} \right.$$

C) - INTERPOLATION DE LAGRANGE SUR Q_N .

On fait un raisonnement analogue au précédent.

On suppose que les B-coefficients sont calculés à l'ordre N , on donnera un algorithme de passage du cas $N-1$ au cas N ($N > 1$).

Algorithme de passage de Q_{N-1} à Q_N , $N > 1$.

Les B-coefficients correspondant à [BC] et [CD], sont calculés à l'aide de la résolution des systèmes (S_1) et (S_2) donnés dans le chapitre I.

Pour

$$\left\{ \begin{array}{l} i = 4N-1 \\ j = 4p-1 \quad \text{avec} \quad 1 \leq p \leq N-1. \end{array} \right.$$

On a :

$$\left\{ \begin{array}{l} a_{i,1} = 2a_{i-2,1} - a_{i-4,1} \\ a_{1,i} = 2a_{1,i-2} - a_{1,i-4} \\ a_{i,j+2} = 2a_{i-2,j+2} - a_{i-4,j+2} \\ a_{j+2,i} = 2a_{j+2,i-2} - a_{j+2,i-4} \end{array} \right.$$

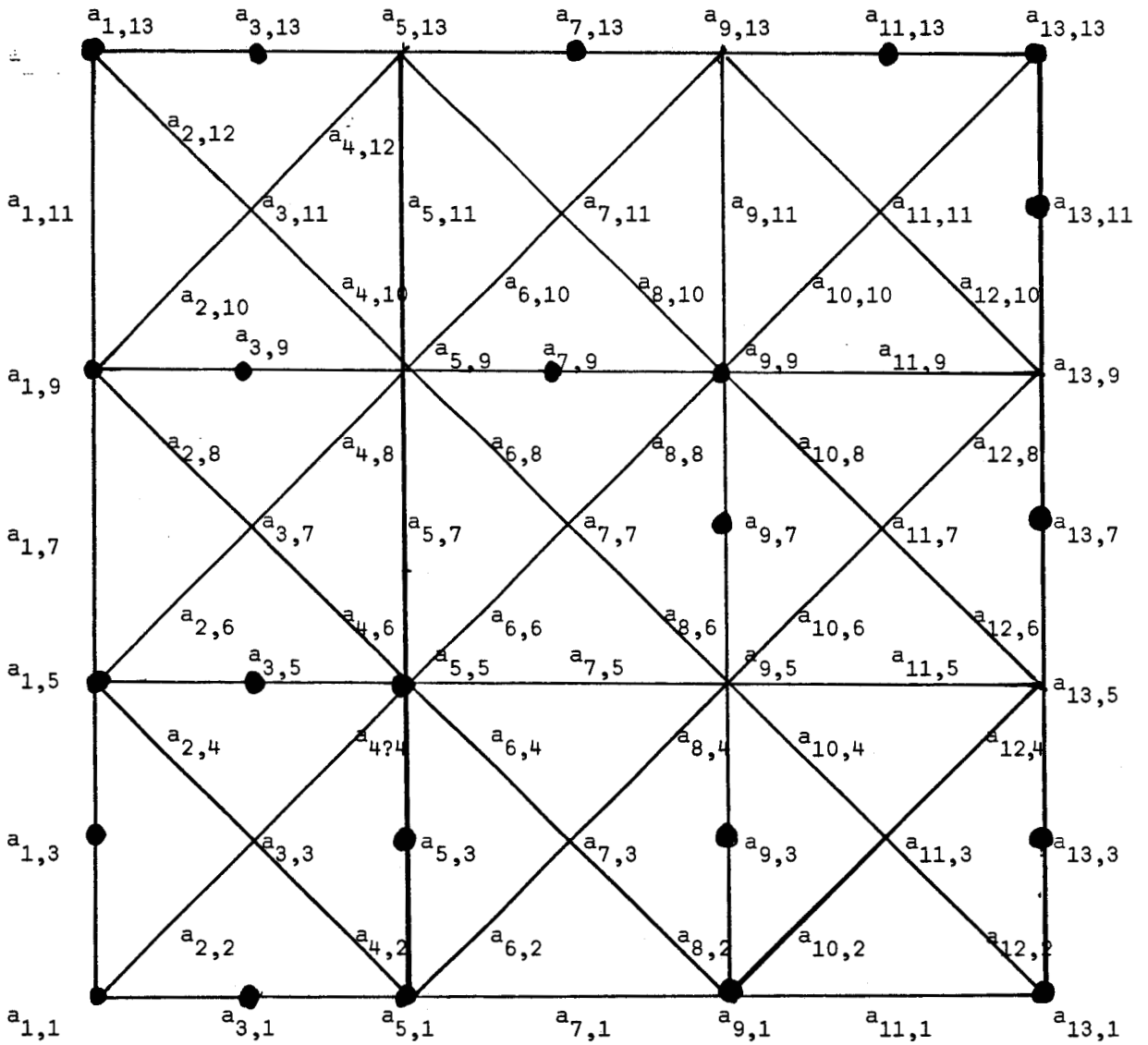


Figure 5. Représentation des B-coefficients de S sur Q_3 .



Et pour les B-coefficients internes à chaque carré Q_{ij} , il suffit d'appliquer l'algorithme $G_{i,j}$.

EXEMPLES D'APPLICATION.

1°) - Passage de Q_3^* à Q_5^* : (Voir fig. 5).

Notre hypothèse est la suivante :

Les B-coefficients appartenant à Q_3^* sont connus, ceux appartenant aux bords de Q_5^* , c'est à dire :

$$\left\{ \begin{array}{llll} a_{-10,j+2} & \text{avec} & j = 4p & -2 \leq p \leq 2 \\ a_{i+2,10} & \text{avec} & i = 4p & -2 \leq p \leq 2 \\ a_{10,j-2} & \text{avec} & j = 4p & -2 \leq p \leq 2 \\ a_{i-2,-10} & \text{avec} & i = 4p & -2 \leq p \leq 2 \end{array} \right.$$

sont calculés par la résolution du système (S_1) donné précédemment.

De même :

$$\left\{ \begin{array}{llll} a_{-10,j} & \text{avec} & j = 4p & -2 \leq p \leq 2 \\ a_{i,10} & \text{avec} & i = 4p & -2 \leq p \leq 2 \\ a_{10,j} & \text{avec} & j = -4p & -2 \leq p \leq 2 \\ a_{i,-10} & \text{avec} & i = -4p & -2 \leq p \leq 2 \end{array} \right.$$

sont calculés par la résolution du système (S_2).

Et pour :

$$\begin{array}{llll} \text{a)} & j = -8 & i = 4p-2 & (-2 \leq p \leq 1) \\ & a_{i+2,-8} = & 2a_{i+2,-6} - & a_{i+2,-4} \end{array}$$

$$\begin{array}{llll} \text{b)} & i = 8 & j = 4p & (-2 \leq p \leq 1) \\ & a_{8,j+2} = & 2a_{6,j+2} - & a_{4,j+2} \end{array}$$

$$\begin{array}{llll} \text{c)} & j = 8 & i = 4p & (-2 \leq p \leq 1) \\ & a_{i+2,8} = & 2a_{i+2,6} - & a_{i+2,4} \end{array}$$

$$\begin{array}{llll} \text{d)} & i = -8 & j = 4p & (-2 \leq p \leq 1) \\ & a_{-8,j+2} = & 2a_{-6,j+2} - & a_{-4,j+2} \end{array}$$

Les B-coefficients appartenant à l'intérieur des carrés $Q_{-8,-8}^*$; $Q_{-8,-4}^*$; $Q_{-8,0}^*$; $Q_{-8,4}^*$; $Q_{-8,8}^*$; $Q_{-4,8}^*$; $Q_{0,8}^*$; $Q_{4,8}^*$; $Q_{8,8}^*$; $Q_{8,4}^*$; $Q_{8,0}^*$; $Q_{8,-4}^*$; $Q_{8,-8}^*$; $Q_{4,-8}^*$; $Q_{0,-8}^*$; $Q_{-4,-8}^*$ sont calculés par l'algorithme $G_{i,j}$.

Par exemple dans le carré $Q_{-8,-8}^*$, on a :

$$\left\{ \begin{array}{l} a_{-9,-9} = (a_{-10,-8} + a_{-8,-10})/2. \\ a_{-7,-9} = (a_{-8,-10} + a_{-6,-8})/2. \\ a_{-9,-7} = (a_{-10,-8} + a_{-8,-6})/2. \\ a_{-7,-7} = (a_{-8,-6} + a_{-6,-8})/2. \\ a_{-8,-8} = (a_{-9,-7} + a_{-7,-9})/2. \end{array} \right.$$

2°) Algorithme de passage de Q_2 à Q_3 . (Voir Fig. 6)

Les B-coefficients $a_{13,1}$; $a_{13,3}$; $a_{13,5}$; $a_{13,7}$; $a_{13,7}$; $a_{13,9}$; $a_{13,11}$; $a_{13,13}$; $a_{11,13}$; $a_{9,13}$; $a_{7,13}$; $a_{5,13}$; $a_{3,13}$; $a_{1,13}$.

Sont calculés à l'aide de la résolution des systèmes (S_1) et (S_2)

$$\left\{ \begin{array}{l} a_{11,1} = 2a_{9,1} - a_{7,1} \\ a_{1,11} = 2a_{1,9} - a_{1,7} \\ a_{11,5} = 2a_{9,5} - a_{7,5} \\ a_{5,11} = 2a_{5,9} - a_{5,7} \\ a_{11,7} = 2a_{9,7} - a_{7,7} \\ a_{7,11} = 2a_{7,9} - a_{7,7} \end{array} \right.$$

Il reste donc à calculer le B-coefficients internes aux carrés suivants :

$$Q_{11,3} ; Q_{11,7} ; Q_{11,11} ; Q_{7,11} ; Q_{3,11}$$

Il suffit d'utiliser $G_{i,j}$ par exemple sur $Q_{11,3}$ on a :

$$\left\{ \begin{array}{l} a_{10,2} = (a_{11,1} + a_{9,3})/2 \\ a_{12,2} = (a_{11,1} + a_{13,3})/2 \\ a_{10,3} = (a_{11,5} + a_{9,3})/2 \\ a_{12,4} = (a_{13,3} + a_{11,5})/2 \\ a_{11,3} = (a_{10,4} + a_{12,6})/2 \end{array} \right.$$

D) - FONCTIONS DE BASE DU PROCÉDE D'INTERPOLATION.

Proposition 1.

La dimension de $P_2^1(\Omega, \mathbb{C})$ ($\Omega = Q_N^*$ ou Q_N) est $N_0 = (N+2)^2 - 1$.

(Pour la démonstration voir [11]).

Définition 1.

Les points d'interpolation étant les points I , avec $1 \leq I \leq N_0$, les fonctions de base sont appelés L_k avec $1 \leq k \leq N_0$ et vérifient :

$$L_k(I) = \delta_{Ik}.$$

δ_{Ik} ($1 \leq I, k \leq N_0$) étant le symbole de Kroncker.

Remarque 2.

Dans le programme donnée à la fin de ce chapitre, les points d'interpolation sont numérotés de la manière suivante.

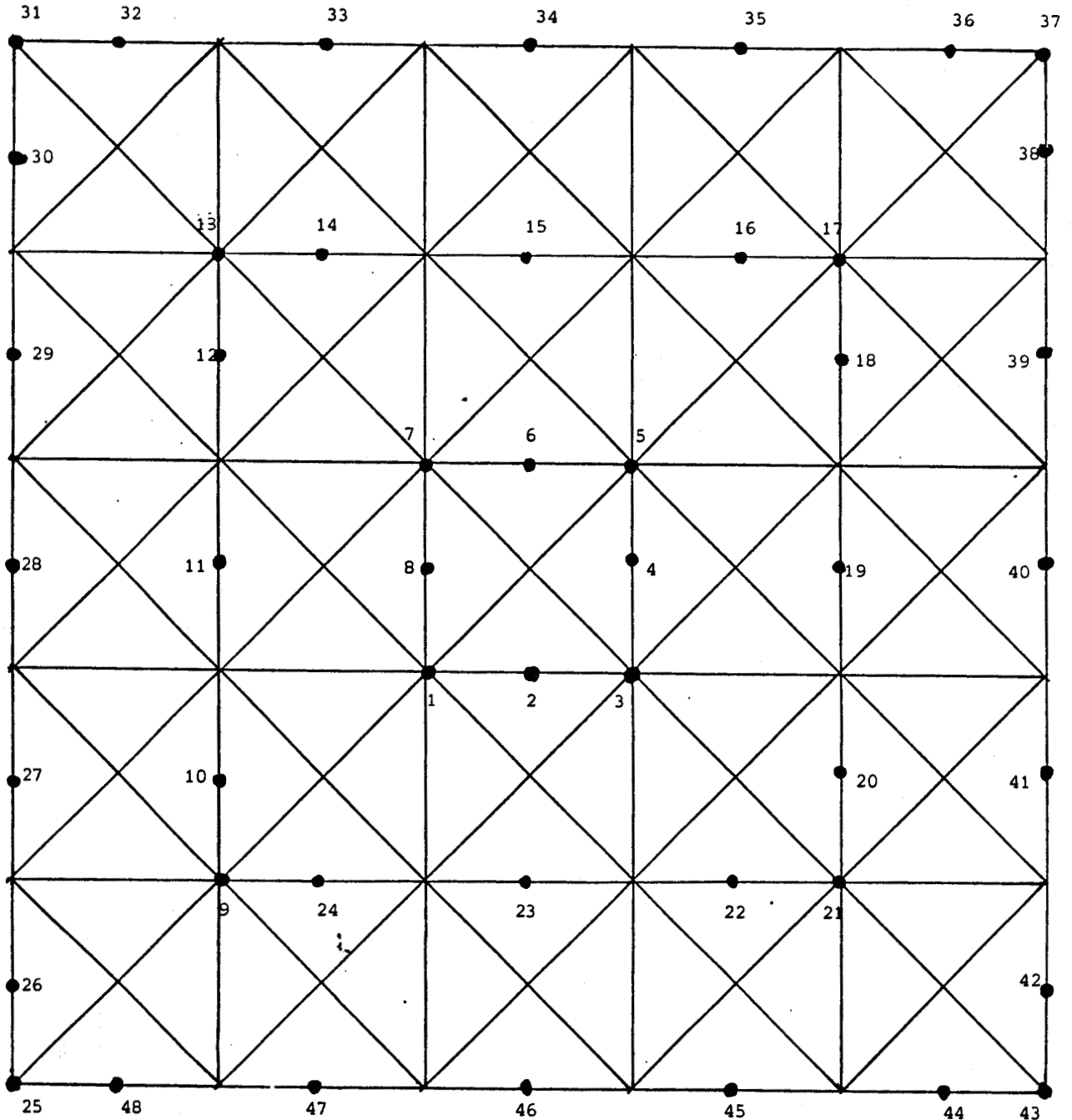


Figure 6. Numérotation des points d'interpolation.

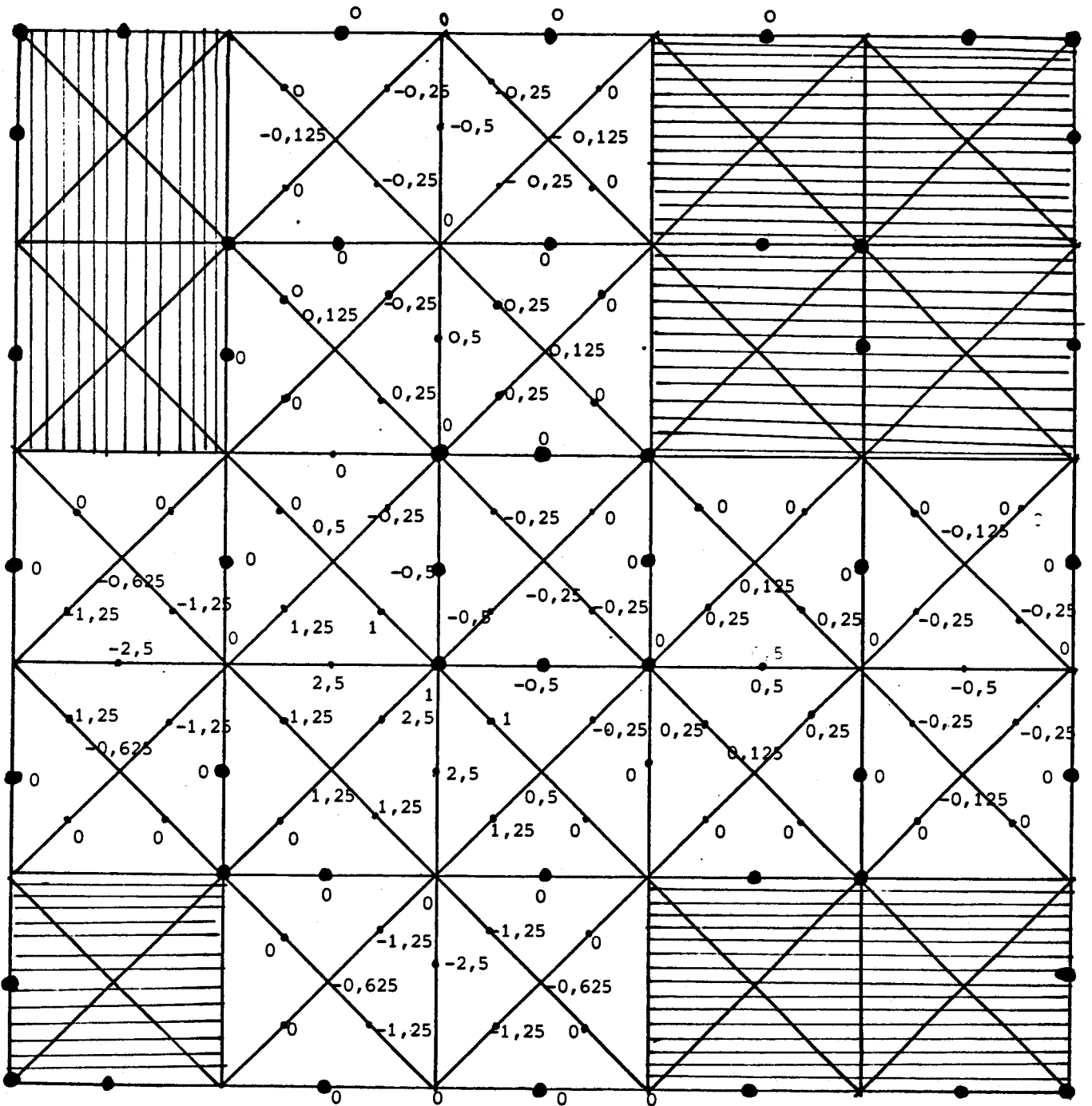


Figure 7. Représentation des B-coefficients de L_1 dans le cas où $\Omega = Q_5^*$.



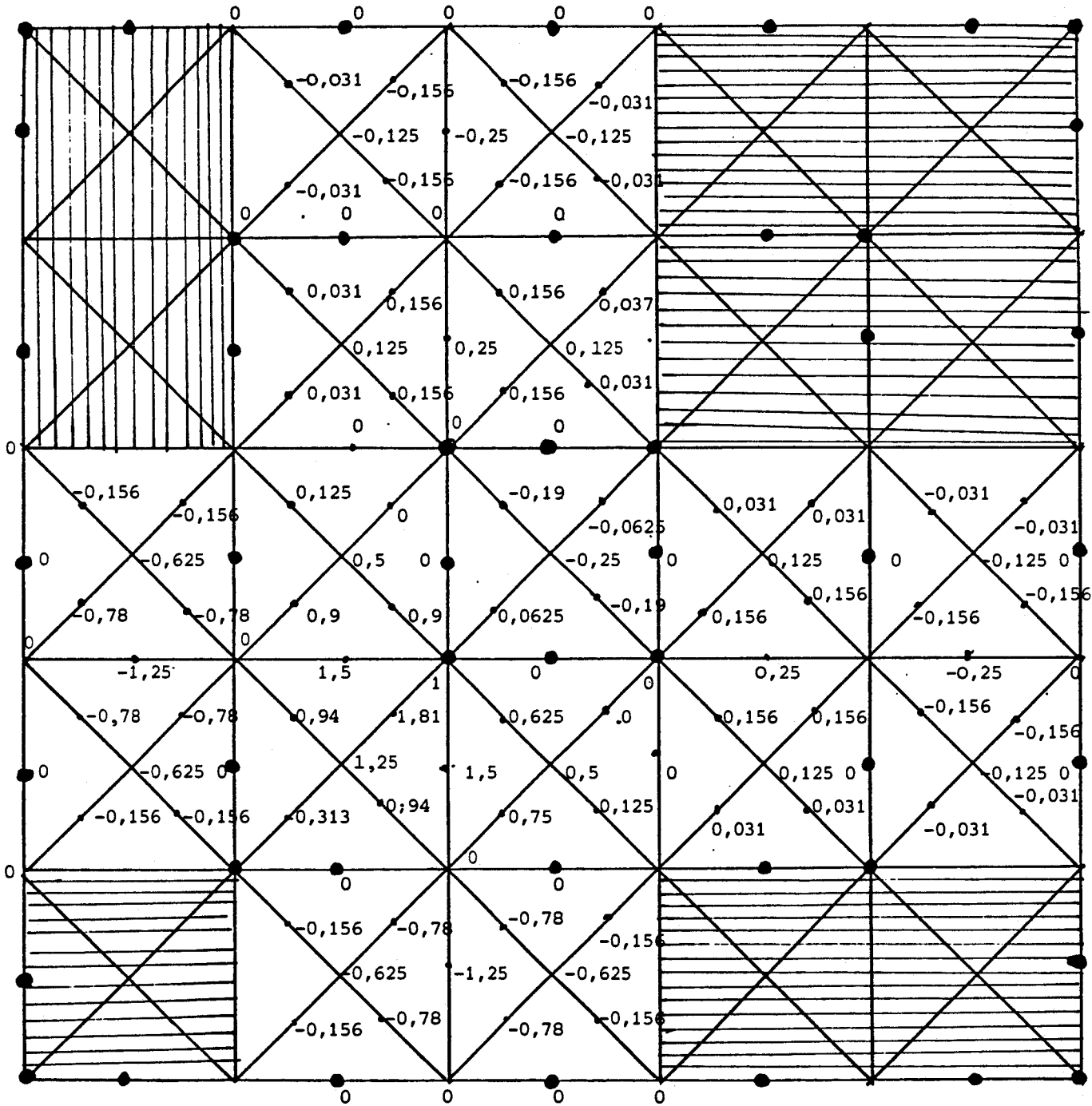


Figure 8. Représentation de quelques valeurs de L_1 dans le cas où $\Omega = Q_5^*$.



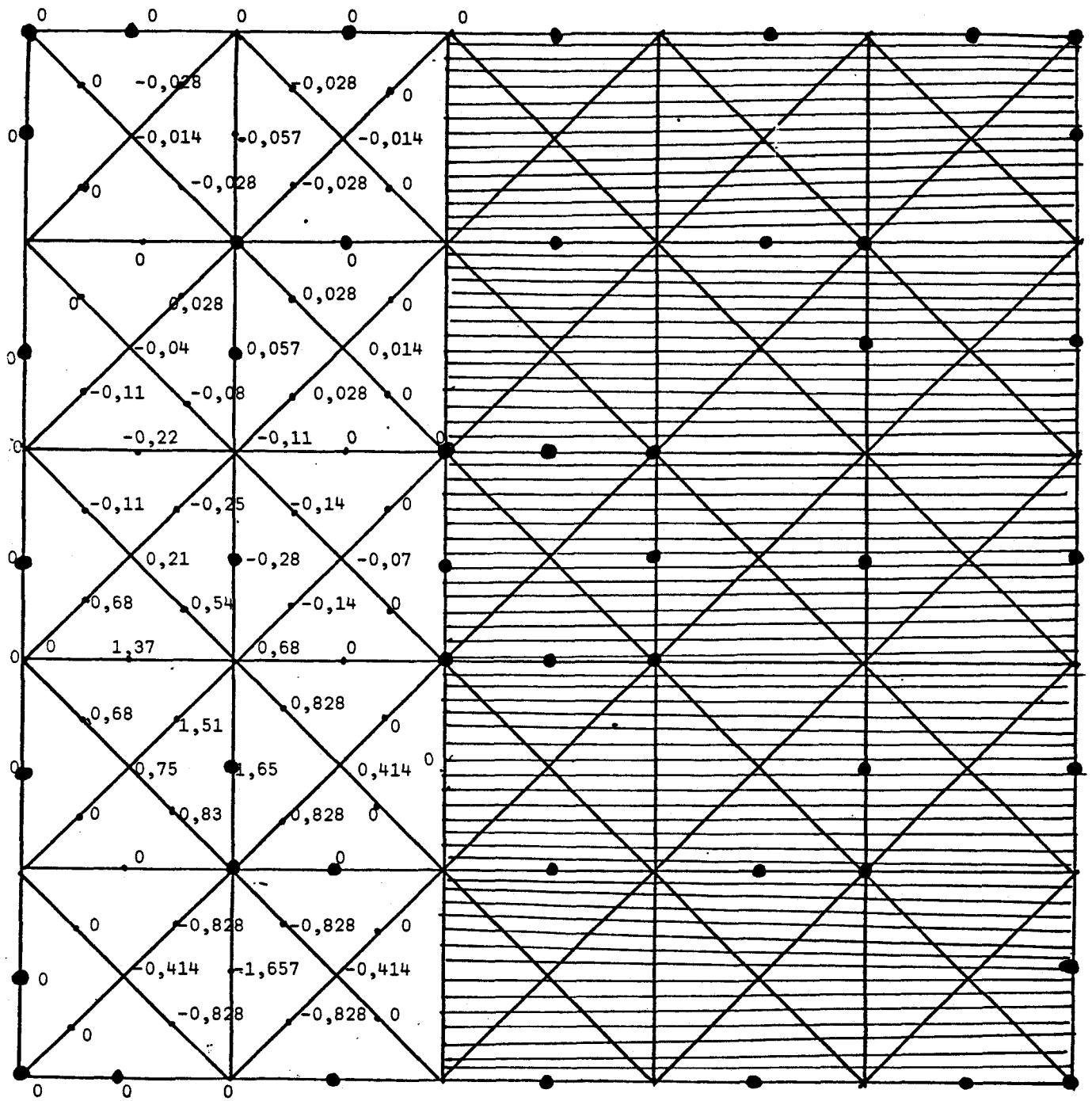


Figure 9 : Représentation des B-coefficients de L_{10} dans le cas
 ou $\Omega = Q_5^*$.



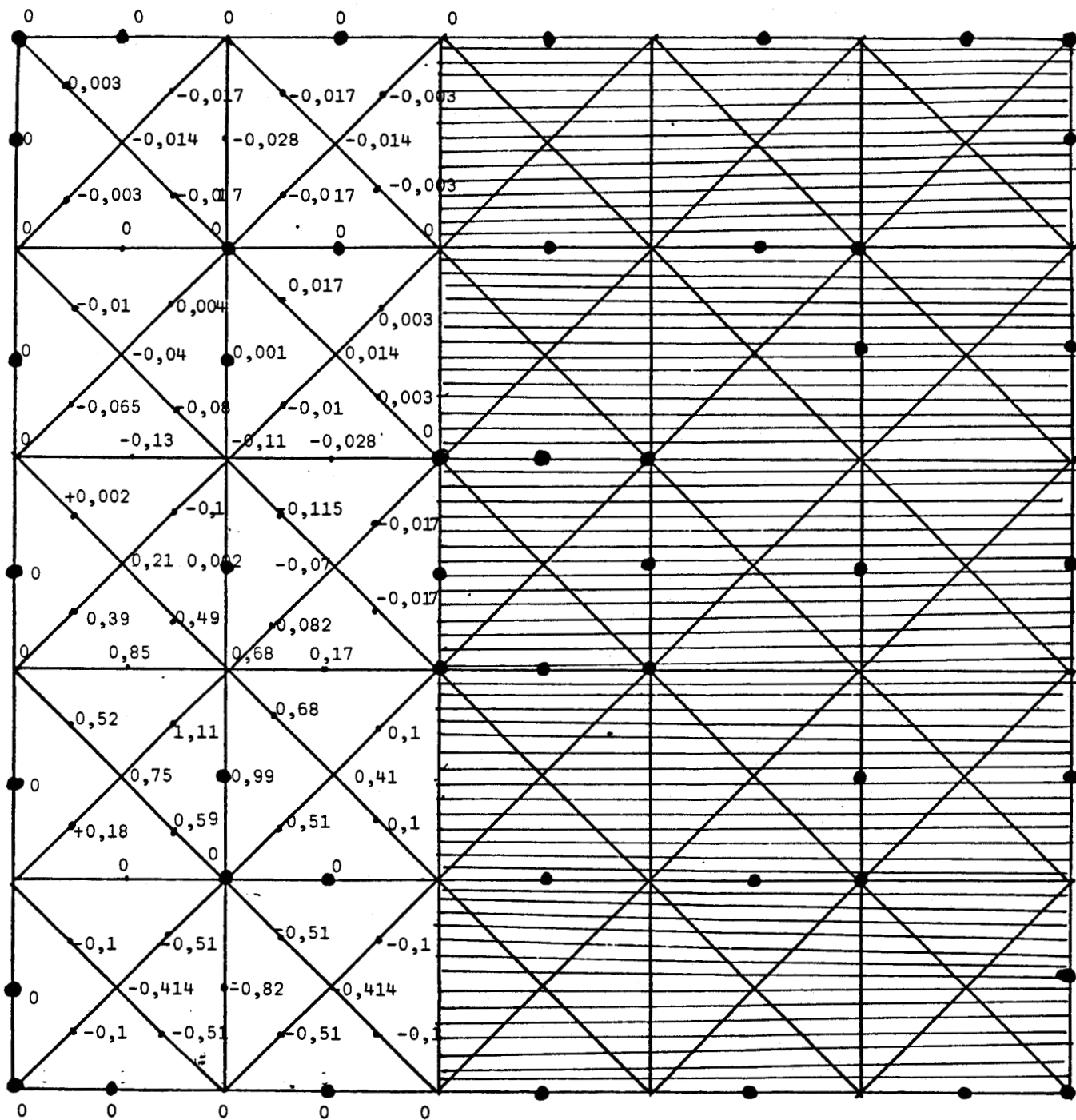


Figure 10. Représentation de quelques valeurs de L_{10} dans le cas où $\Omega = Q_5^*$.



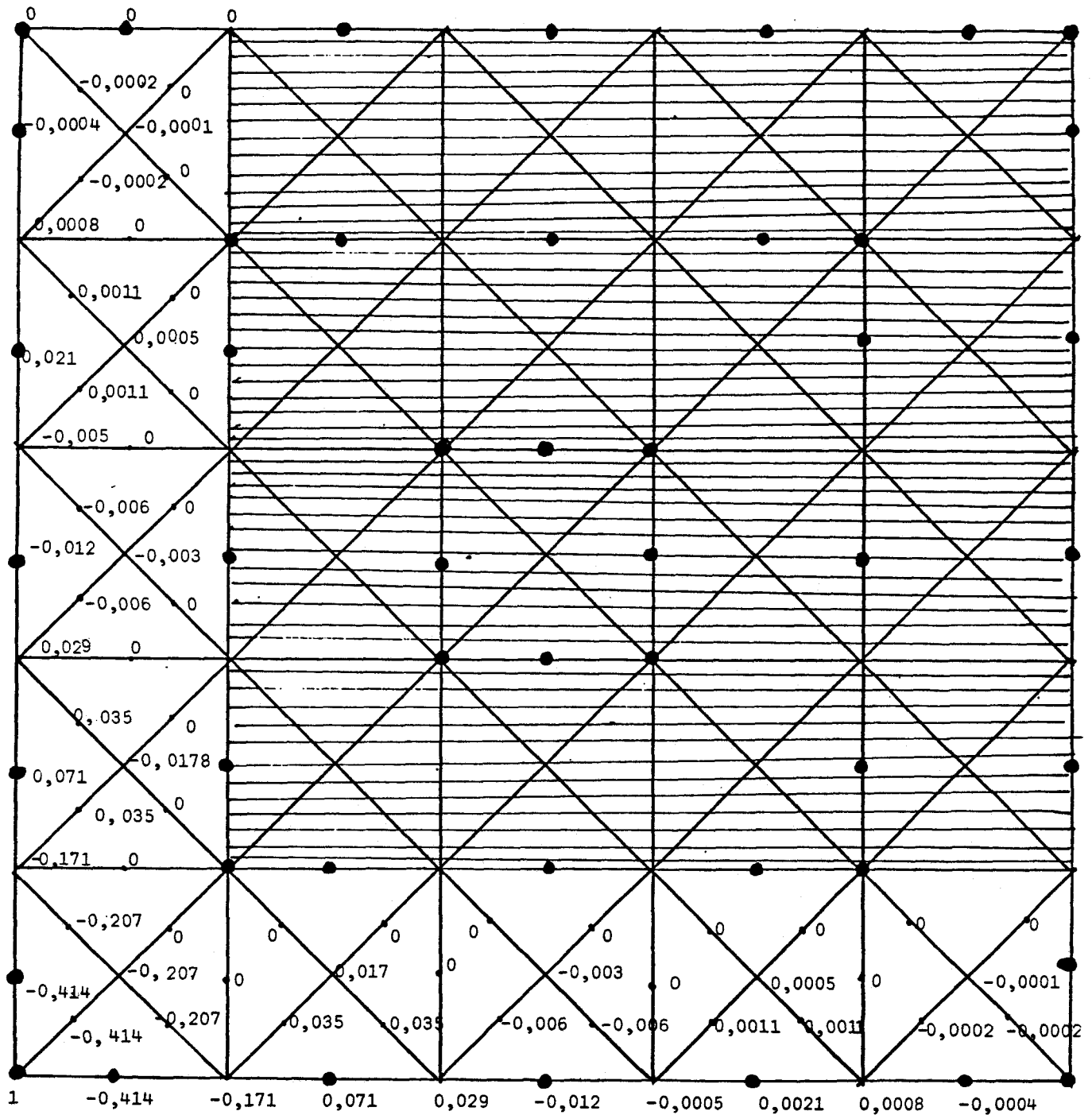


Figure 11. Représentation des B-coefficients de L_{25} dans le cas où $\Omega = Q_5^*$.



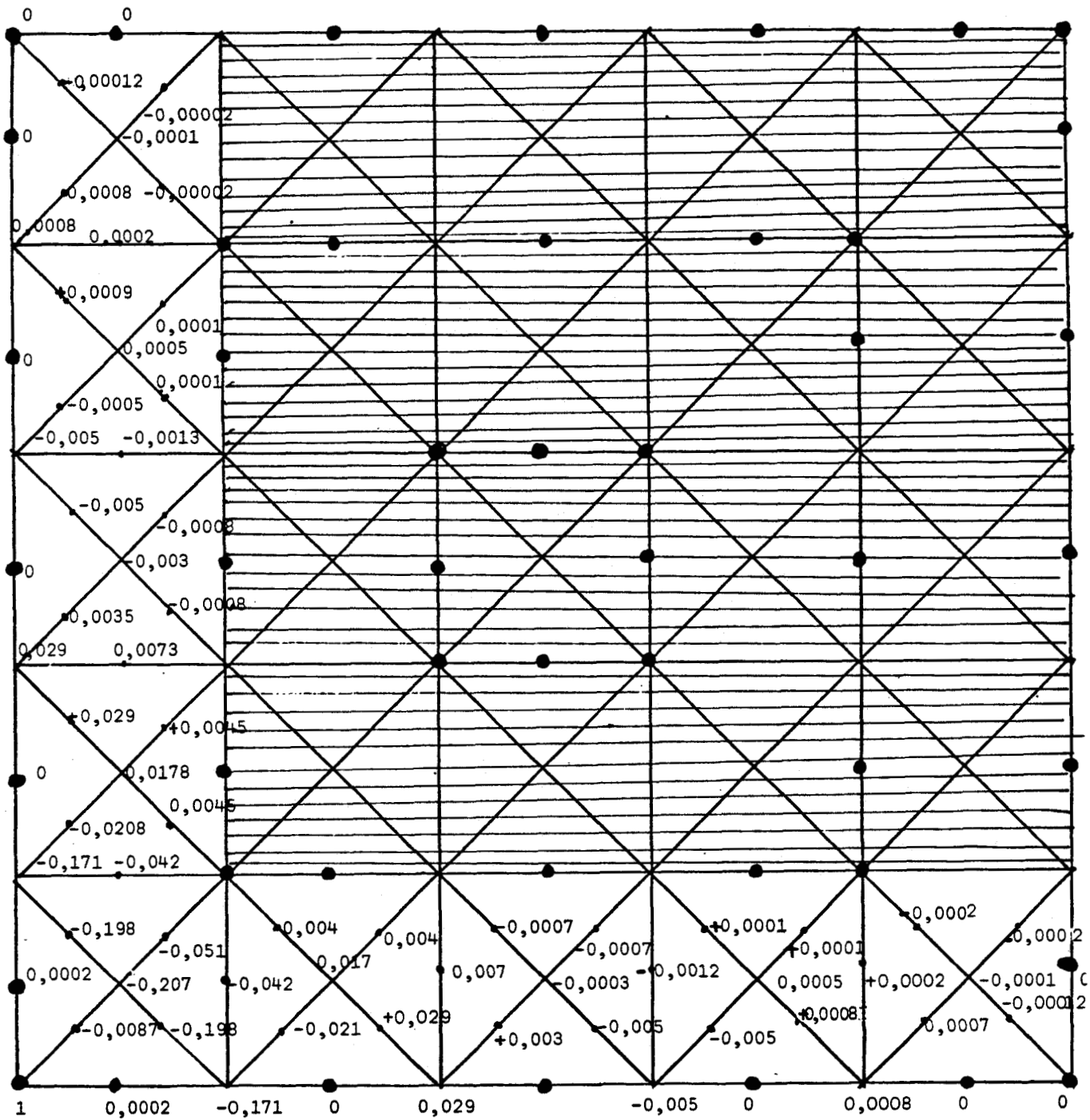


Figure 12. Représentation de quelques valeurs de L_{25} dans le cas où $\Omega = Q_5^*$.

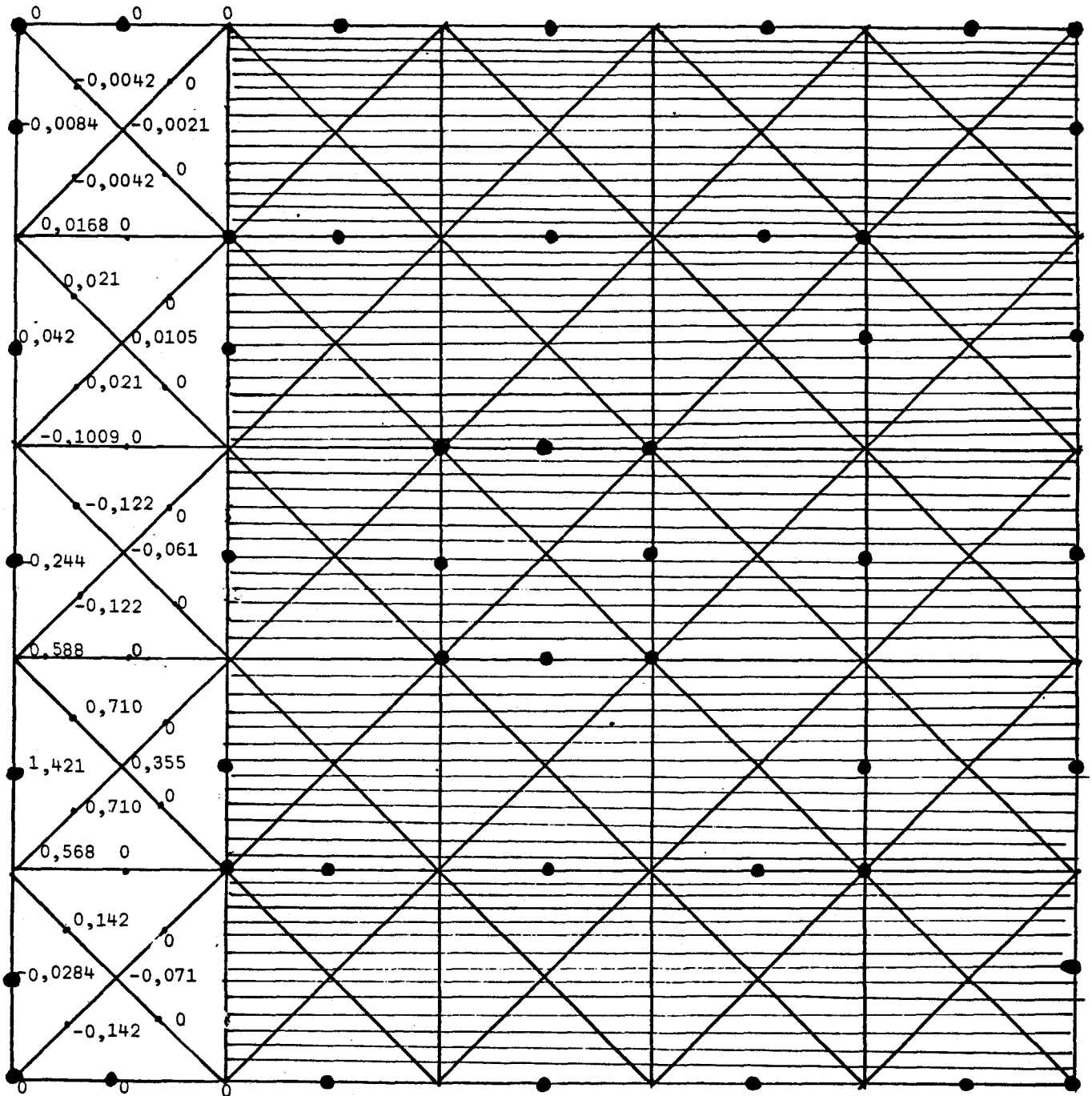


Figure 13. Représentation des B-coefficients de L_{27} dans le cas où $\Omega = Q_5^*$.



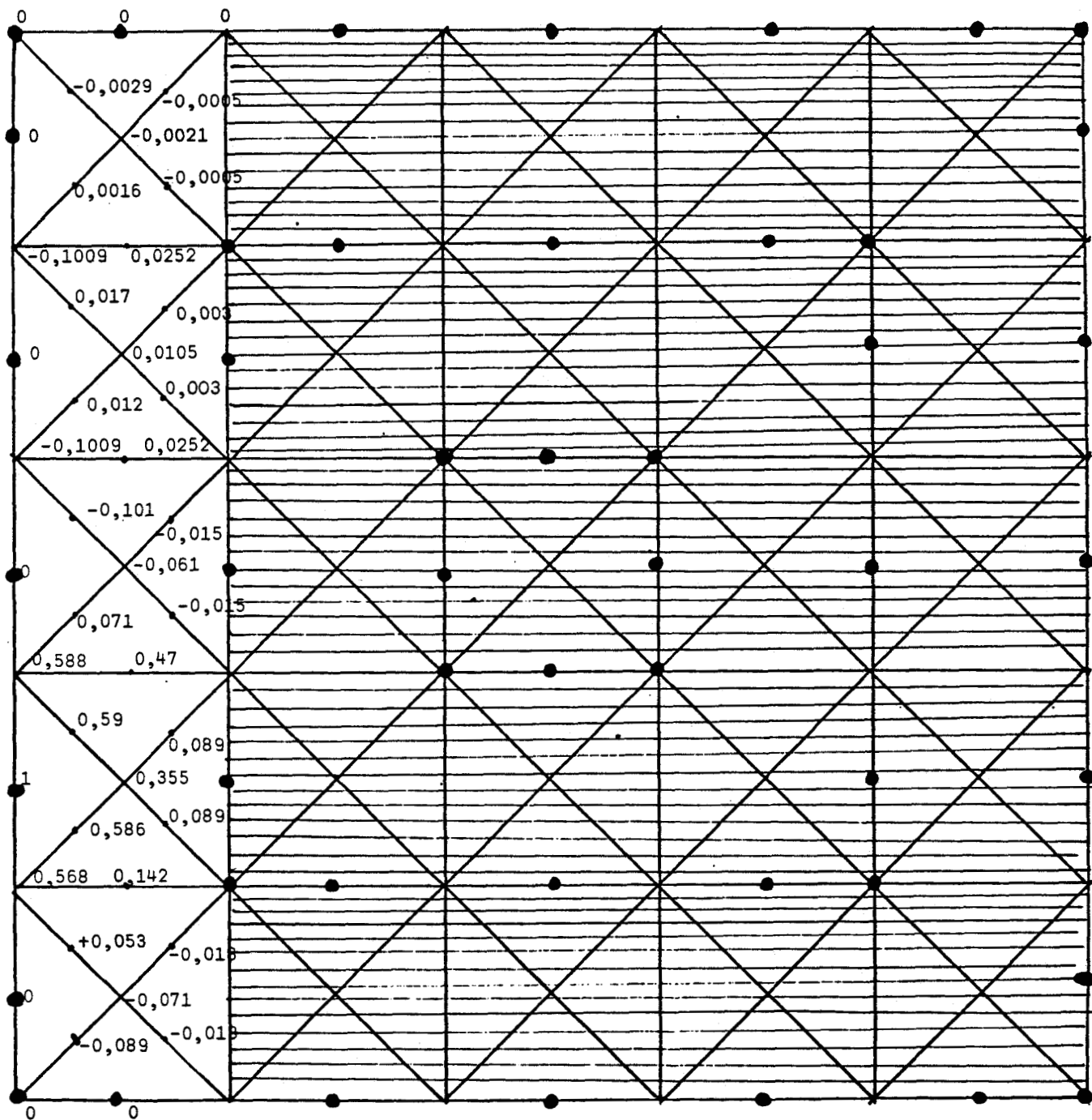


Figure 14. Représentation de quelques valeurs de L_{27}
dans le cas où $\Omega = Q_5^*$.



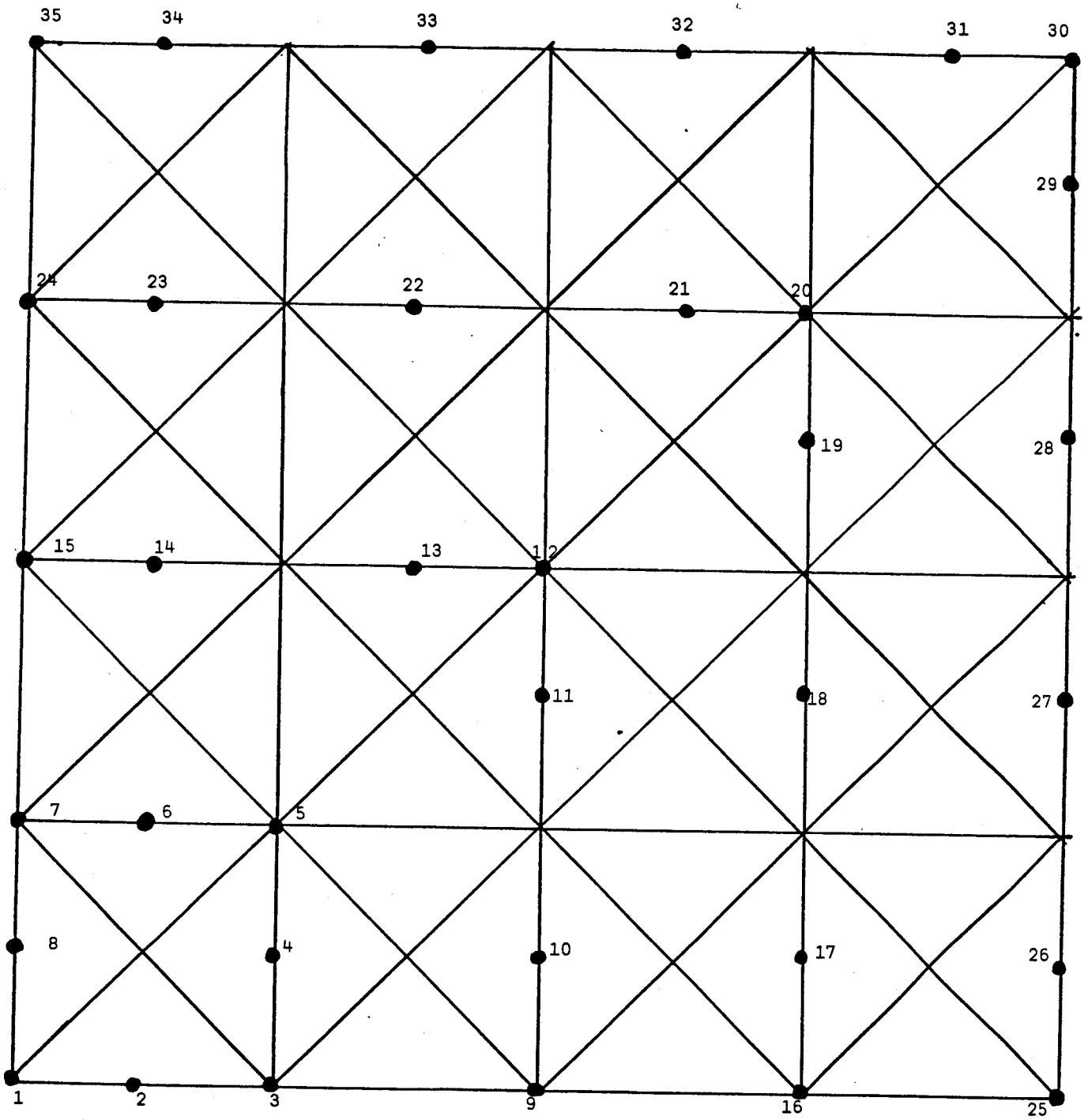


Figure 15. Numérotation des points d'interpolation dans le cas où $\Omega = Q_4$.



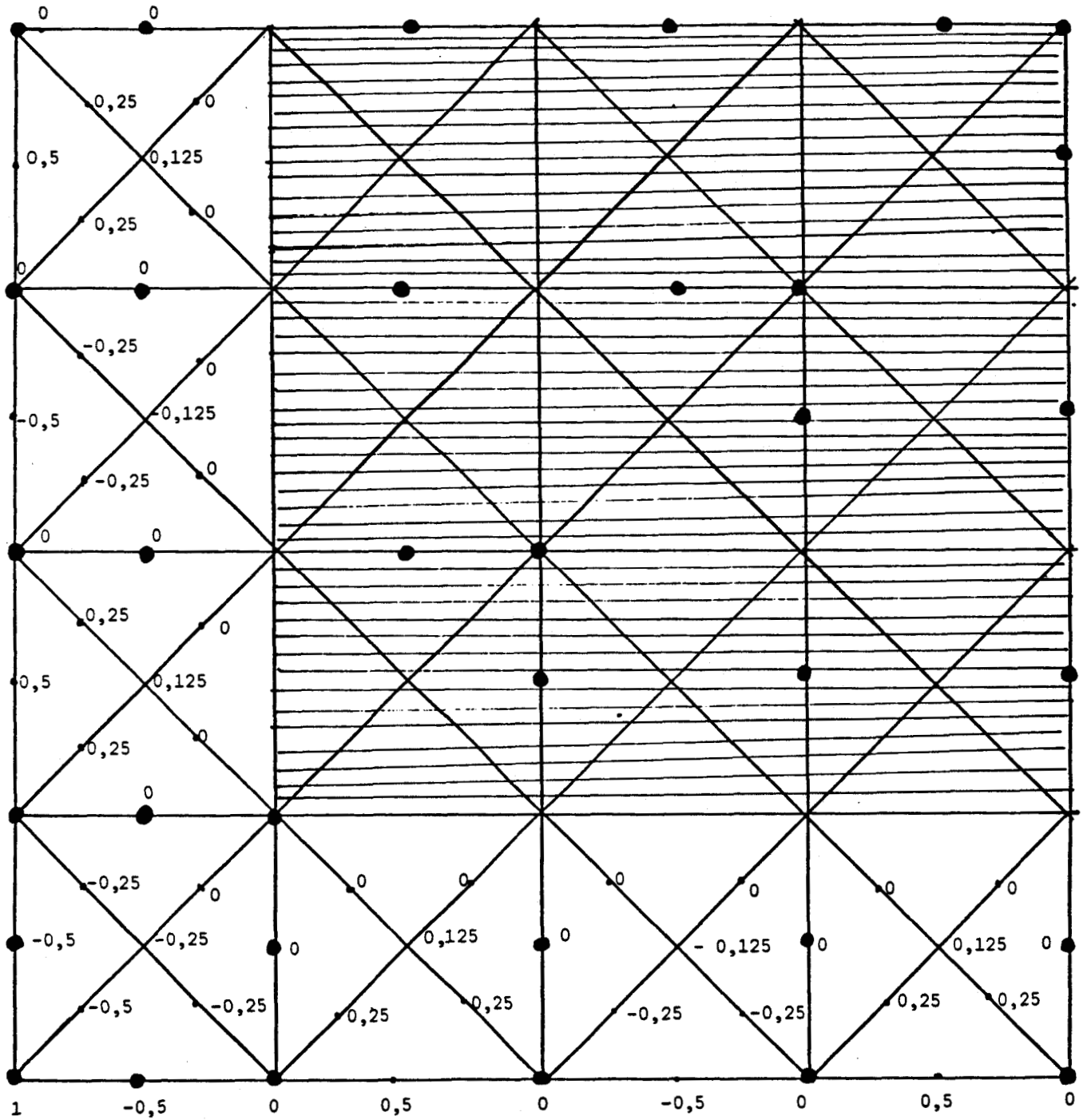


Figure 16. Représentation des B-coefficients de L_1 dans le cas où $\Omega = Q_4$.

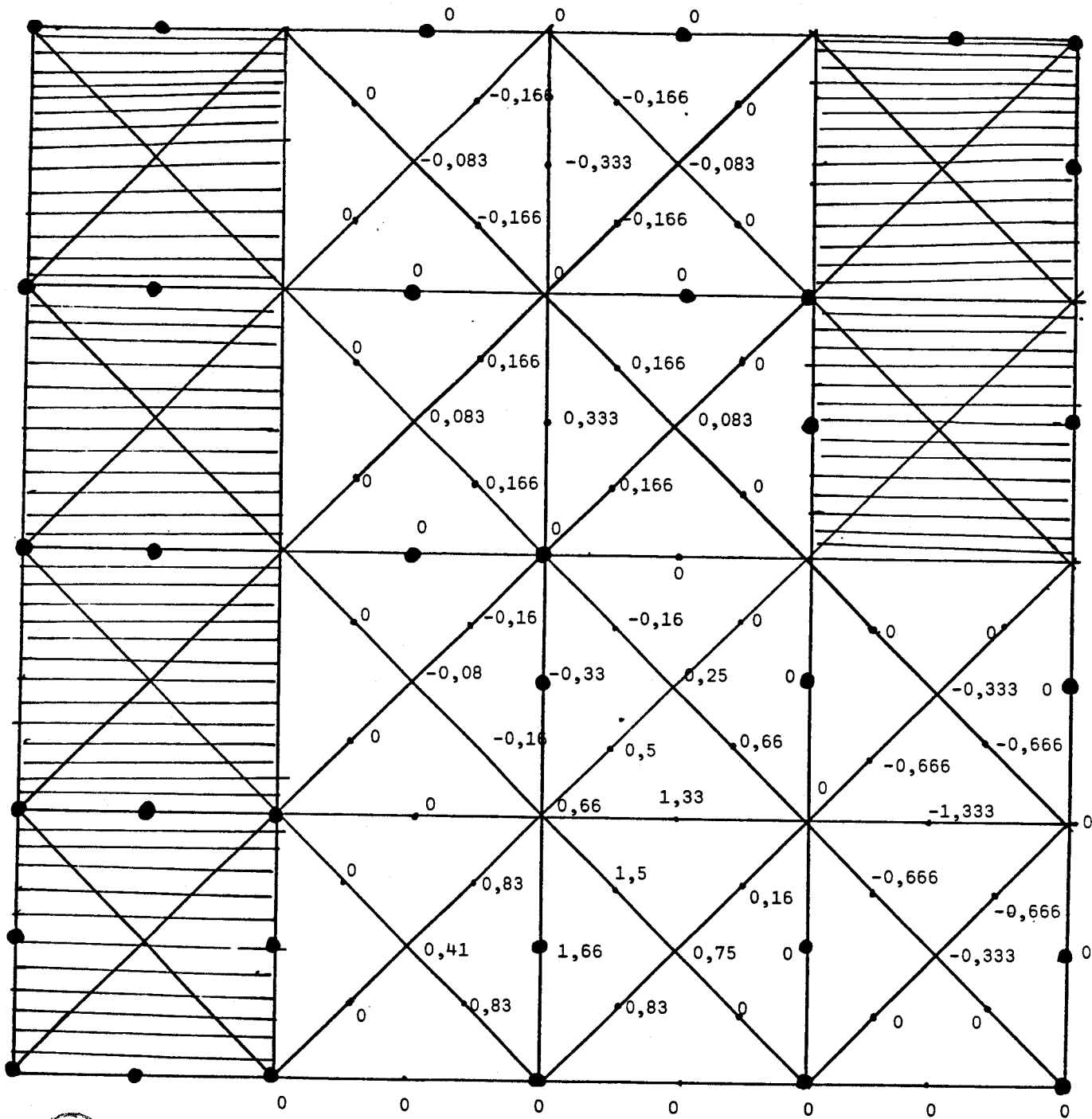


Figure 18. Représentation des B-coefficients de L_{10} dans le cas où $\Omega = Q_4$.

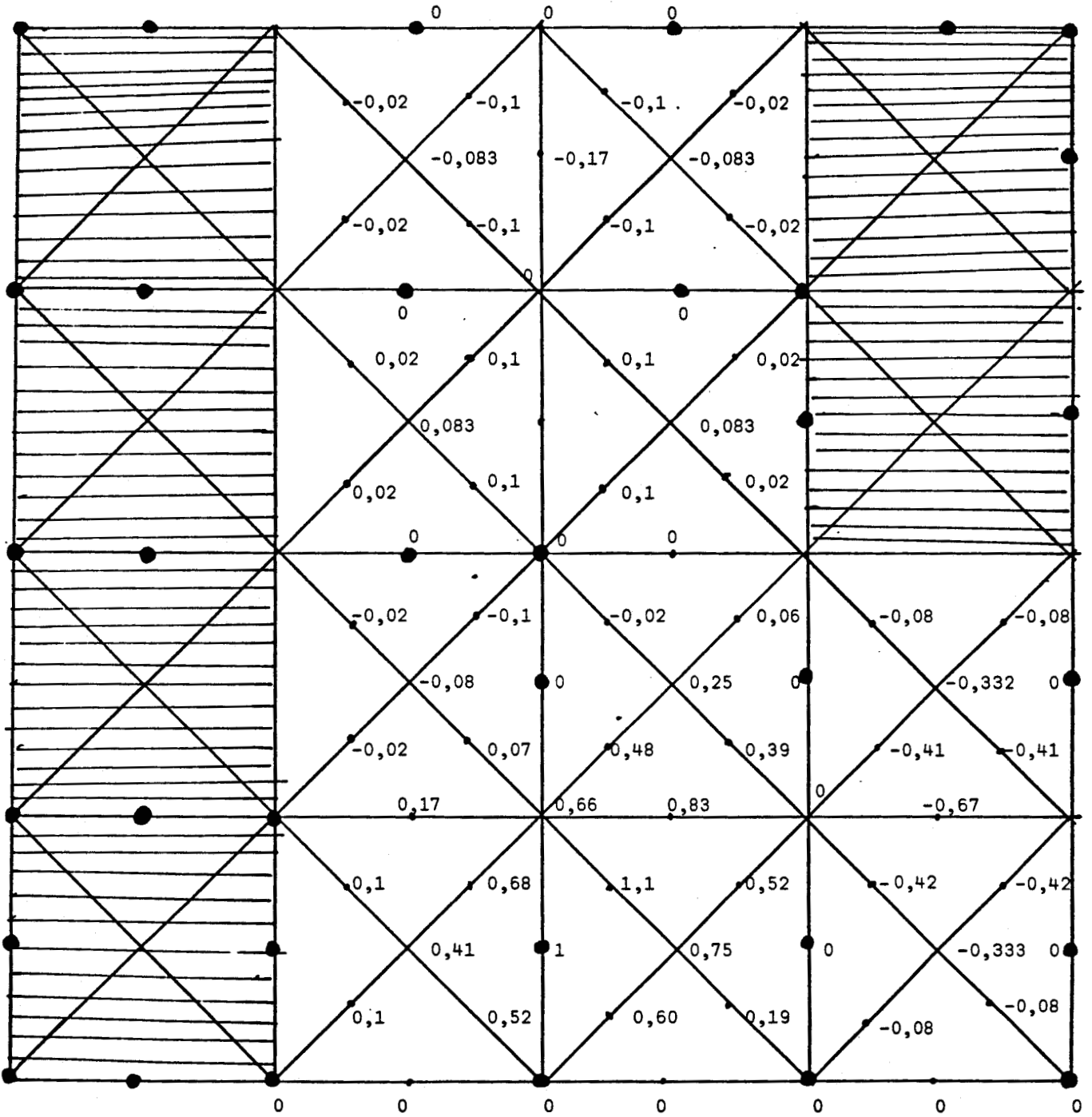


Figure 19. Représentation de quelques valeurs de L_{10} dans le cas où $\Omega = Q_4$.



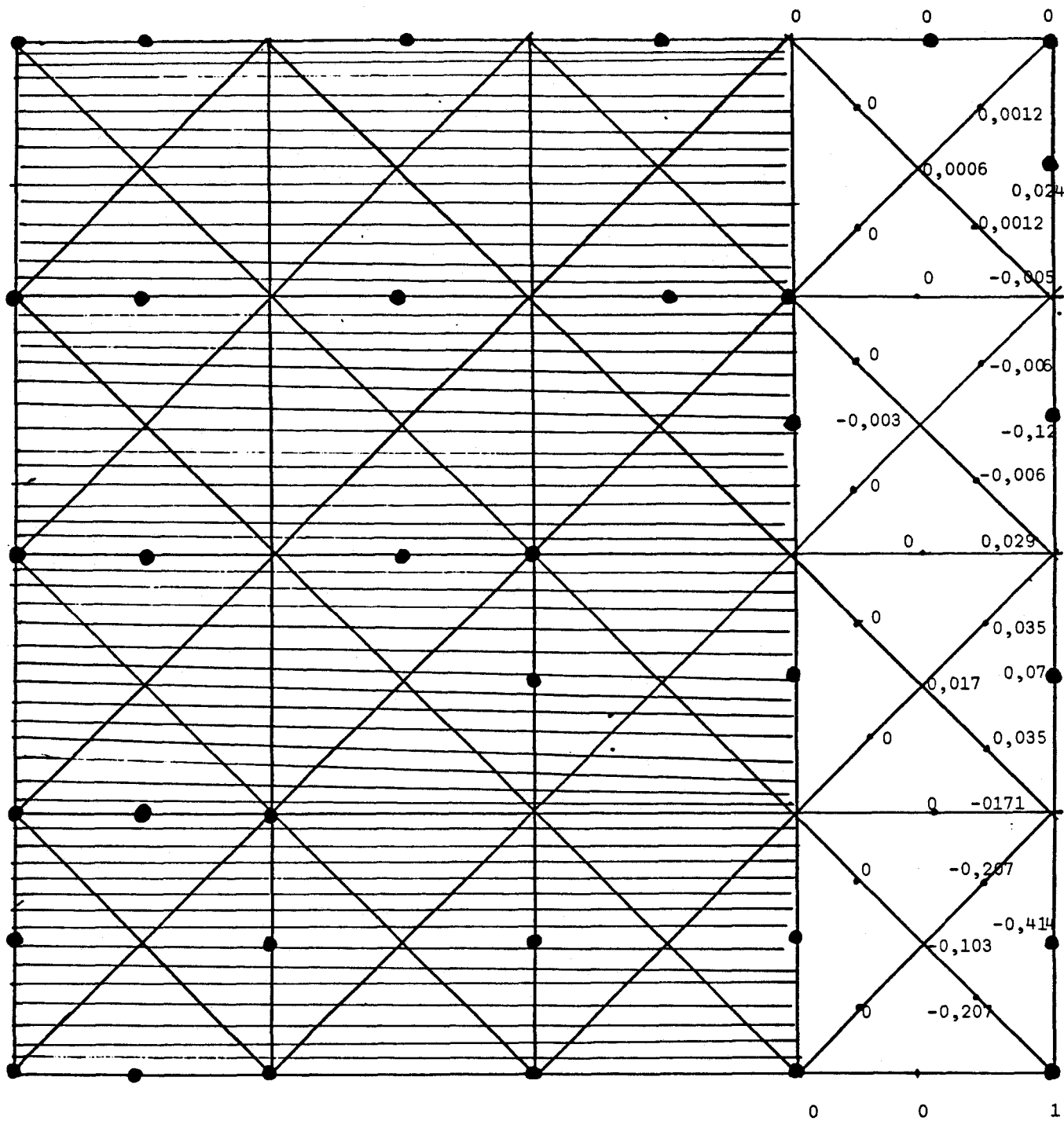


Figure 20. Représentation des B-coefficients de L_{25} dans le cas où $\Omega = Q_4$.

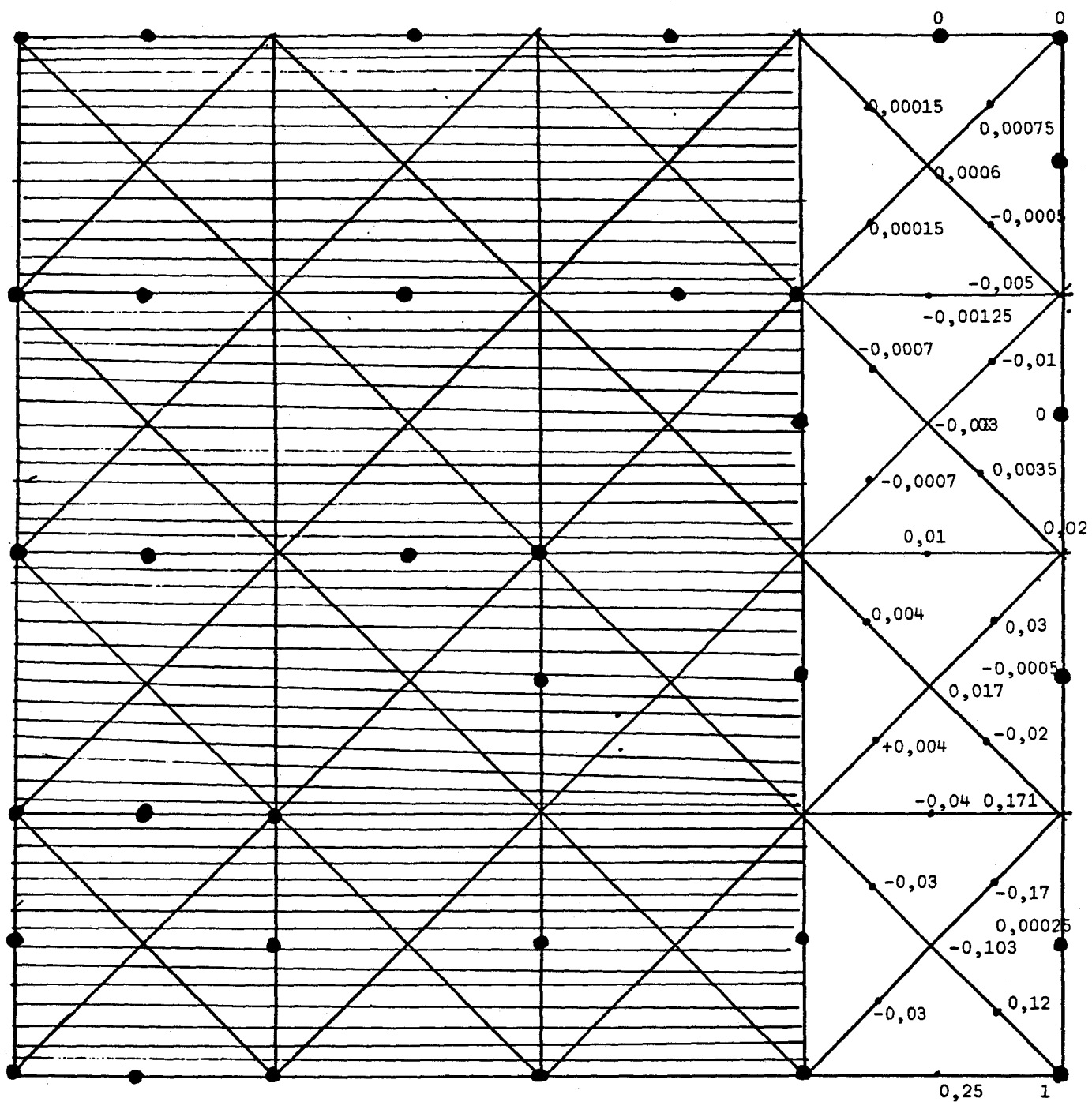


Figure 21. Représentation de quelques valeurs de L_{25} dans le cas où $\Omega = Q_4$.



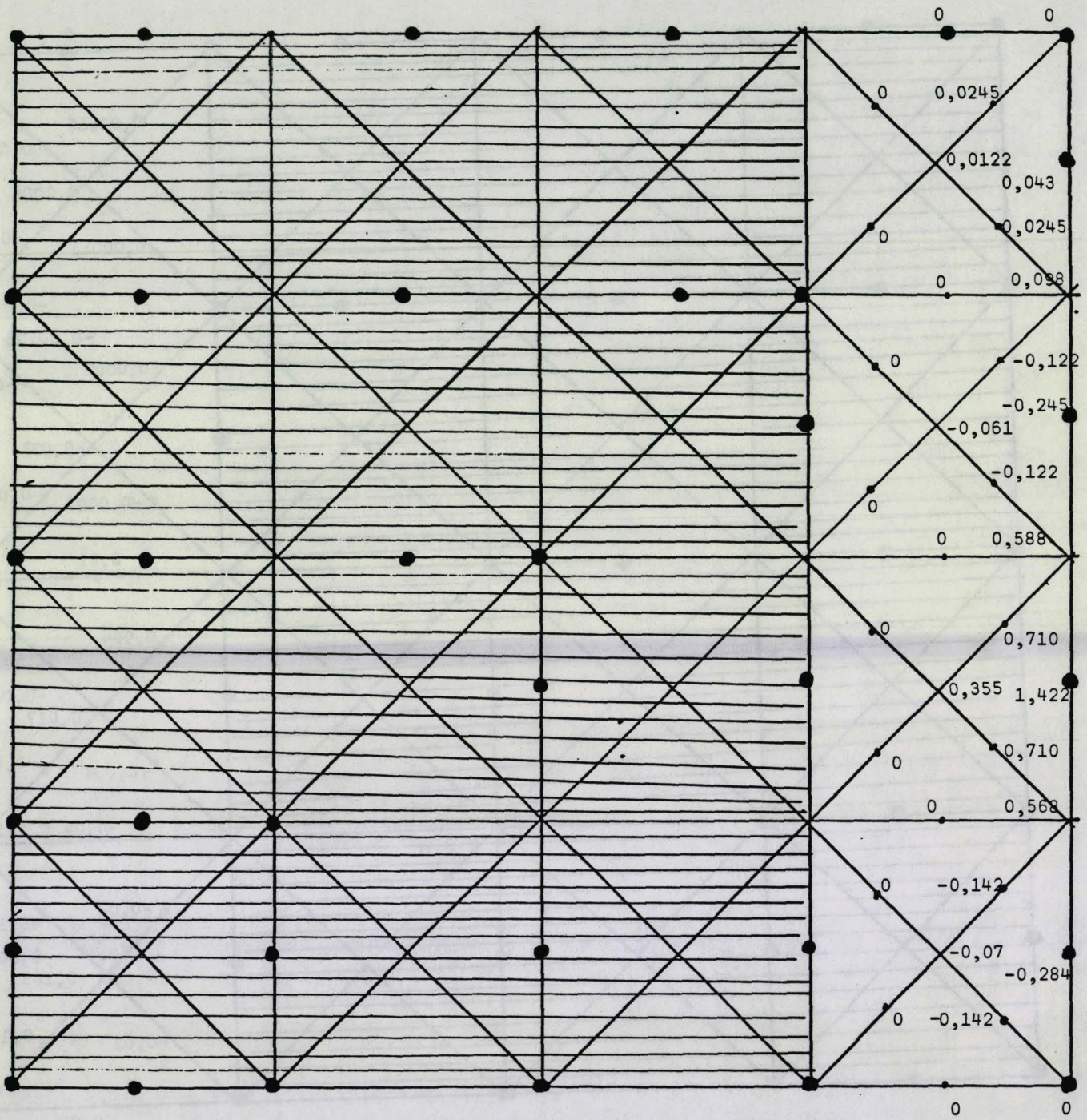


Figure 22. Représentation des B-coefficients de L_{27} dans le cas où $\Omega = Q_4$.



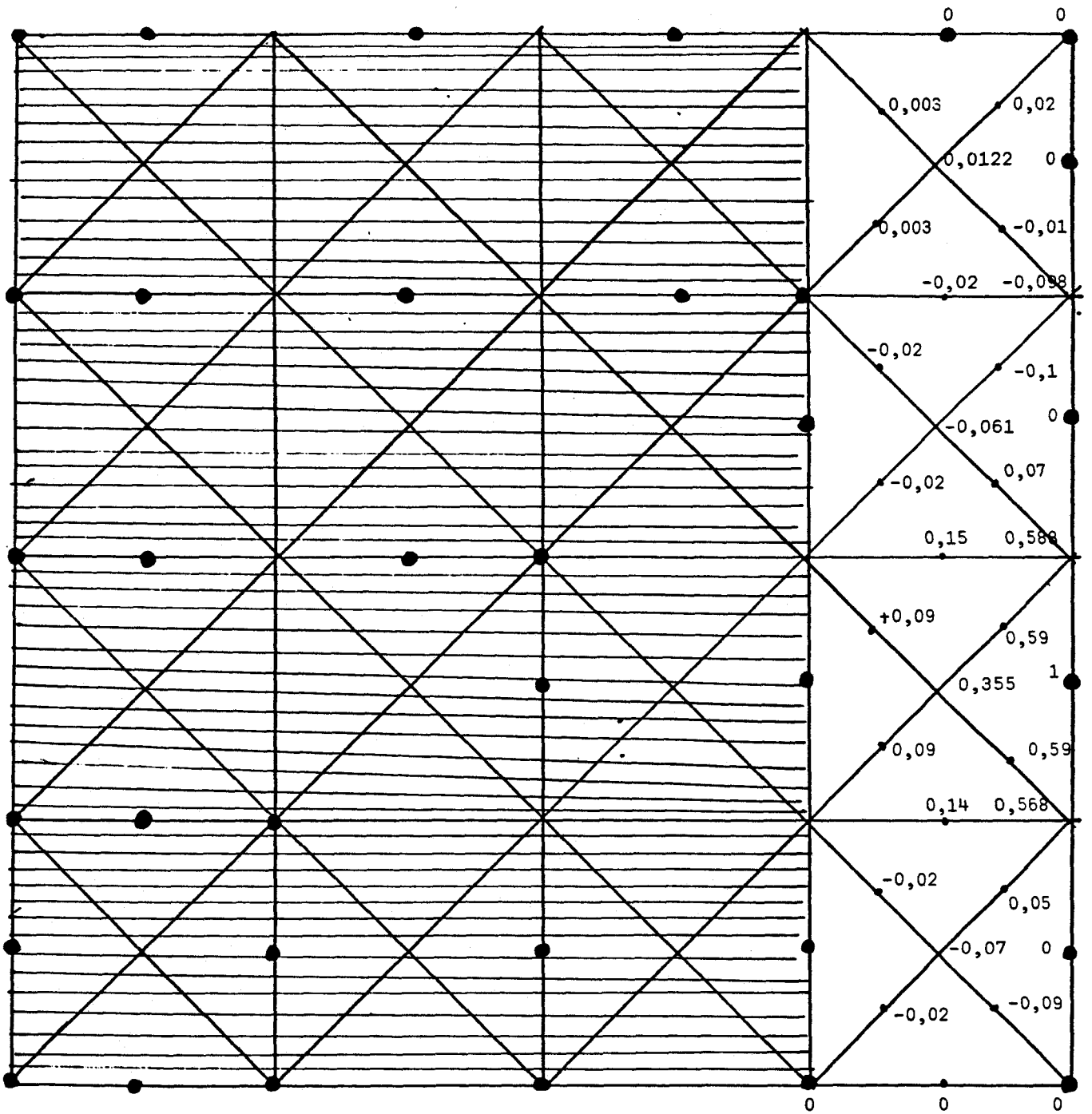


Figure 23. Représentation de quelques valeurs de L_{27} dans le cas où $\Omega = Q_4$.



IV - RÉSULTATS PRATIQUES SUR LA MAJORATION DE LA NORME DE L'OPÉRATEUR D'INTERPOLATION.

1 - Notions préliminaires.

On considère la fonction de Lebesgue définie ainsi :

$$\Lambda_N(x,y) = \sum_{k=1}^{N_0} |L_k(x,y)|$$

Soit π_N l'opérateur d'interpolation défini par

$$\begin{array}{ccc} C^{-1}(\Omega) & \longrightarrow & P_2^1(\Omega, T) \\ \pi_N : & & \\ f & \longrightarrow & \pi_N(f) = S. \end{array}$$

on sait que :

$$\|\pi_N\| = \sup_{\|f\| \leq 1} \|\pi_N f\| = \sup_{(x,y) \in \Omega} \sum_{k=1}^{N_0} |L_k(x,y)| = \|\Lambda_N\|_{\infty, \Omega}$$

On choisit un certain nombre de points $(x_\ell, y_\ell) \in \Omega$, par exemple, sur chaque micro-triangle, les points de coordonnées barycentriques (w_1, w_2, w_3) où :

$$\left\{ \begin{array}{ll} w_1 = M_1/M & 0 \leq M_1 \leq M \\ & M \in \mathbb{N} \text{ avec} \\ w_2 = M_2/M & 0 \leq M_2 \leq M-M_1 \end{array} \right.$$

et donc

$$1 \leq \ell \leq M_0 = \frac{(M+1)(M+2)}{2}$$

Proposition 2.

$$\text{Soit : } m = \sup_{(x_\ell, y_\ell) \in \Omega} \sum_{k=1}^{N_0} |L_k(x_\ell, y_\ell)|$$

$$M = \sup_{T \in \mathcal{T}} \sup_{0 \leq i+j \leq 2} \sum_{k=1}^{N_0} |a_{ij}^k|$$

les $\{a_{ij}^k\}$ étant les B-coefficients de L_k pour $1 \leq k \leq N_0$.

On a alors le résultat suivant :

$$m \leq \|\pi_N\| \leq M$$

Démonstration.

La première inégalité est évidente, on démontre la deuxième

$$\|\pi_N\| = \|\wedge_N\|_{\infty, \Omega} = \sup_{(x,y)} \sum_{k=1}^{N_0} L_k(x,y)$$

Or dans chaque triangle $T \in \mathcal{T}$, $T \subset \Omega$, on a :

$$L_k(x,y) = \sum_{0 \leq i+j \leq 2} a_{ij}^k \beta_{ij}(x,y)$$

d'où

$$\begin{aligned} \sum_{k=1}^{N_0} |L_k(x,y)| &\leq \sum_{k=1}^{N_0} \sum_{0 \leq i+j \leq 2} |a_{ij}^k| \beta_{ij}(x,y) \\ &\leq \sum_{0 \leq i+j \leq 2} \beta_{ij}(x,y) \sum_{k=1}^{N_0} |a_{ij}^k| \end{aligned}$$

avec

$$\beta_{ij}(x,y) = \frac{2!}{i!j!(2-i-j)!} \lambda_1^i(x,y) \lambda_2^j(x,y) \lambda_3(x,y)$$

or

$$\sum_{0 \leq i+j \leq 2} \beta_{ij}(x,y) = 1$$

d'où

$$\sum_{k=1}^{N_0} |L_k(x,y)| \leq \sup_{0 \leq i+j \leq 2} \sum_{k=1}^{N_0} |a_{ij}^k|$$

d'où

$$\|\pi_N\| \leq \sup_{T \in \mathcal{T}} \sup_{0 \leq i+j \leq 2} \sum_{k=1}^{N_0} |a_{ij}^k| = M$$

C.Q.F.D.

On donne deux graphes et un tableau qui représentent les variations de M et m en fonction de N .

Un programme sera donné à la fin de ce chapitre pour le calcul de M et m .

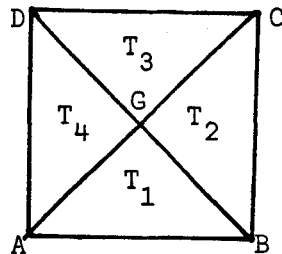
2 - Calcul explicite de l'erreur d'interpolation et de l'ordre de convergence.

Quelques explications concernant le programme ODCI : (donné à la fin de ce chapitre avec $\Omega = Q_N^*$).

Ce programme consiste à calculer la spline interpolant une fonction f donnée, l'erreur d'interpolation E_N et l'ordre de convergence.

a) - Calcul de l'erreur.

Soit $Q_{i_0 j_0}^*$ l'un des petits carrés inclus dans Q_N^* (ou $Q_{i_0 j_0} \subset Q_N$)



Considérons le triangle T_1 par exemple :

Soit $\lambda = (\lambda_1, \lambda_2, \lambda_3)$ les coordonnées barycentrique de $Z \in T_1$.

D'après les notations des B-coefficients donnés au début de ce chapitre, la spline $S \in SP_2(\Omega)$ s'écrit de la manière suivante :

$$\begin{aligned} SP_1(\lambda) = & a_{i_0-2, j_0-2} \lambda_1^2 + a_{i_0+2, j_0-2} \lambda_2^2 + a_{i_0 j_0} \lambda_3^2 \\ & + 2a_{i_0-1, j_0-1} \lambda_1 \lambda_3 + 2a_{i_0, j_0+2} \lambda_1 \lambda_2 \\ & + 2a_{i_0+1, j_0-1} \lambda_2 \lambda_3. \end{aligned}$$

N	Q _N *		Q _N	
	m	M	m	M
1	3	3	3	3
2			4,04	5
3	3,981	5	4,972	8,333
4			6,518	11,476
5	4,838	8,143	8,061	14,574
6			9,604	17,664
7	6,306	11,131	11,141	20,753
8			12,692	23,841
9	7,765	14,066	14,237	26,929
10			15,780	30,017
11	9,226	16,991	17,325	33,106
12			18,869	36,194
13	10,688	19,914	20,413	39,282
14			21,957	42,370
15	12,149	22,836	23,501	45,459
16			25,046	48,546
17	13,610	25,759	26,589	51,635
18			28,134	57,723
19	15,071	28,681		



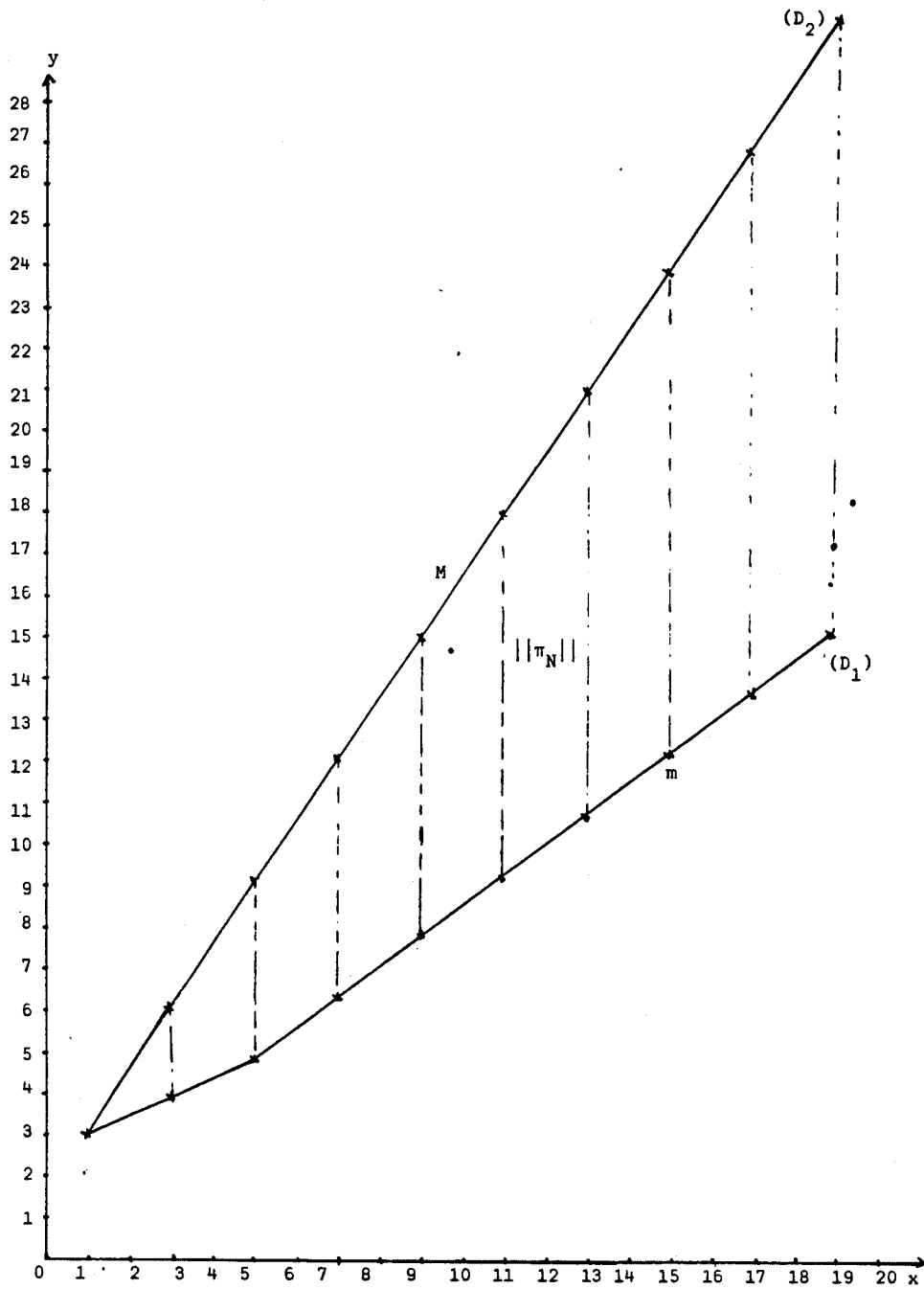


Figure 24. Représentation de la variation de m et M en fonction de N dans le cas où $\Omega = Q_N^*$.

$$\begin{cases} \text{pente de } D_1 = 0,73 \\ \text{pente de } D_2 = 1,46 \end{cases}$$

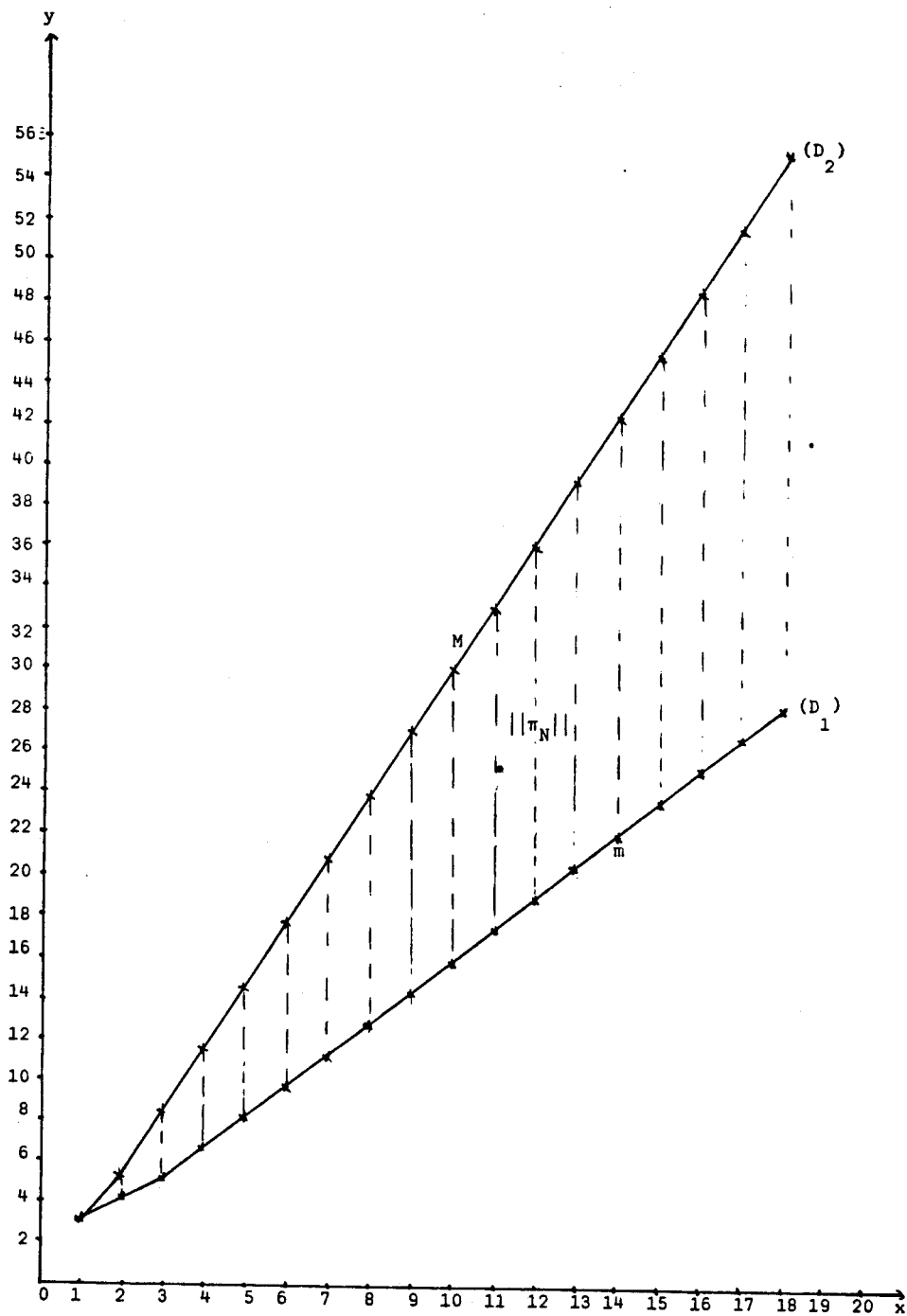


Figure 25. Représentation de M et m dans le cas où $Q_N = \Omega$ (variation avec N).

$$\begin{cases} \text{pente de } D_1 = 1,54 \\ \text{pente de } D_2 = 3,08 \end{cases}$$

On a des expressions analogues de S sur T_i ($2 \leq i \leq 4$)

On considère les points (x_1, y_1) $1 \leq l \leq M_0$ choisis précédemment.

Appelons (w_1^1, w_2^1, w_3^1) les coordonnées barycentriques correspondantes.

On a donc :

$$\begin{cases} x_1 = w_1^1 x_A + w_2^1 x_B + w_3^1 x_G \\ y_1 = w_1^1 y_A + w_2^1 y_B + w_3^1 y_G \end{cases}$$

Soit

$$g(w_1^1, w_2^1, w_3^1) = f(x_1, y_1)$$

et

$$H_{i,j,1}^1 = |(g - Sp_1)(w_1^1, w_2^1, w_3^1)|$$

$$E_N = \sup_{i,j,k,l} H_{i,j,k}^1 \text{ avec } \begin{cases} 1 \leq i, j \leq N \\ 1 \leq k \leq 4 \\ 1 \leq l \leq M_0 \end{cases}$$

E_N est donc une valeur approchée de l'erreur d'interpolation sur Q_N^* (respectivement Q_N).

b) - *Notion d'ordre de convergence.*

Soit Q_1 le carré de côtés égaux à 1.

On considère deux subdivisions respectives des côtés de ce carré, de pas

$$h_N = 1/N \text{ et } h_{N'} = \frac{1}{N'}$$

L'erreur d'interpolation E_N est proportionnelle à h_N^α avec $\alpha \in \mathbb{R}$.

On écrit :

$$E_N \sim K h_N^\alpha$$

$$E_{N'} \sim K h_{N'}^\alpha$$

$K = \text{constante}$

d'où

$$\text{Log}(E_N/E_{N'}) \sim \alpha \text{Log}(h_N/h_{N'})$$

Définition 2.

L'ordre de convergence calculé est :

$$\alpha = \text{Log} (E_N / E_{N'}) / \text{Log} (N' / N)$$

c) - Quelques résultats numériques.

Les résultats suivants permettent de voir l'évolution de l'erreur et de l'ordre de convergence en fonction de N, pour quelques exemple de fonctions, et pour $\Omega = Q_N^*$ et Q_N

$$E^{-r} = 10^{-r} \quad r \in \mathbb{N}$$

pour

$$\begin{cases} f = \text{Log}(2+x+y) \\ \Omega = Q_N^* = [-0.5 ; +0.5] \times]0,5; +0.5] \end{cases}$$

	E_N	$E_{N'} : E_{2N+1}$	α
1	93307 E - 07	4775 E - 07	2,7
3	4775 E - 07	435 E - 07	2,82
5	1150 E - 07	115 E - 07	2,91
7	435 E - 07	46 E - 07	2,96
9	208 E - 07	23 E - 07	2,96
11	115 E - 07	13 E - 07	2,97
13	70 E - 07	8 E - 07	2,97
15	46 E - 07	5 E - 07	2,99
17	31 E - 07	4 E - 07	3
19	23 E - 07	3 E - 07	3

pour

$$\left\{ \begin{array}{l} f = \text{Log} (1+x+y) \\ \Omega = Q_N = [0,1] \times [0,1] \end{array} \right.$$

N	E_N	$E_{N'} = E_{2N-1}$	α
1	90850 E - 07	17661 E - 07	2,38
2	17661 E - 07	2662 E - 07	2,74
3	5984 E - 07	815 E - 07	2,89
4	2662 E - 07	345 E - 07	2,96
5	1395 E - 07	176 E - 07	3
6	815 E - 07	101 E - 07	3,02
7	515 E - 07	63 E - 07	3,02
8	345 E - 07	42 E - 07	3,04
9	242 E - 07	29 E - 07	3,04
10	176 E - 07	21 E - 07	3,05
11	132 E - 07	16 E - 07	3,05
12	101 E - 07	12 E - 07	3,05
13	79 E - 07	9 E - 07	3,05
14	63 E - 07	8 E - 07	3,05
15	51 E - 07	6 E - 07	3,05
16	42 E - 07	5 E - 07	3,05
17	35 E - 07	4 E - 07	3,05
18	29 E - 07	3,5 E - 07	3,05
19	25 E - 07	3 E - 07	3,05
20	21 E - 07	2,6 E - 07	3,05



Pour

$$\left\{ \begin{array}{l} f = x^2 y \\ \Omega = Q_N^* = [-0.5, +0.5] \times [-0.5, +0.5] \end{array} \right.$$

N	EN	$E_{N'} = E_{2N+1}$	α
1	29514 E - 06	1093 E - 06	3
3	1093 E - 06	861 E - 06	2,99
5	236 E - 06	222 E - 06	2,99
7	86 E - 06	87 E - 06	3,01
9	40,5 E - 06	43 E - 06	2,99
11	22,6 E - 06	24 E - 06	3
13	13,4 E - 06	15 E - 06	3
15	8,7 E - 06	1 E - 06	2,99
17	6 E - 06	0,7 E - 06	3
19	4,5 E - 06	0,5 E - 06	2,99



Four

$$\left\{ \begin{array}{l} f = x^2 y \\ \Omega = Q_N = [0,1] \times [0,1] \end{array} \right.$$

N	E_N	$E_{N'} = E_{2N}$	α
1	306250 E - 07	38281 E - 07	3,01
2	38281 E - 07	4785 E - 07	3,01
3	11343 E - 07	1418 E - 07	3,01
4	4785 E - 07	598 E - 07	3,01
5	2450 E - 07	306 E - 07	3,01
6	1420 E - 07	177 E - 07	3,01
7	893 E - 07	112 E - 07	3,01
8	598 E - 07	74 E - 07	3,01
9	420 E - 07	53 E - 07	3,01
10	306 E - 07	38 E - 07	3,01
11	230 E - 07	28 E - 07	3,01
12	177 E - 07	22 E - 07	3,01
13	140 E - 07	17 E - 07	3,01
14	111 E - 07	14 E - 07	3,01
15	90 E - 07	11 E - 07	3,01
16	74 E - 07	9 E - 07	3,01
17	62 E - 07	8 E - 07	3,01
18	52 E - 07	7 E - 07	3,01
19	45 E - 07	6 E - 07	3,01
20	38 E - 07	5 E - 07	3,01



$$\left\{ \begin{array}{l} f = \sin(\pi(x+y)) \\ \Omega = Q_N^* = [-0.5, +0.5] \times [-0.5, +0.5] \end{array} \right.$$

N	E_N	$E_{N'} = E_{2N+1}$	α
1	522147 E - 07	169961 E - 07	1,07
3	169961 E - 07	8971 E - 07	3,46
5	29543 E - 07	2035 E - 07	3,39
7	8971 E - 07	762 E - 07	3,25
9	3902 E - 07	366 E - 07	3,16
11	2035 E - 07	204 E - 07	3,11
13	1194 E - 07	125 E - 07	3,1
15	762 E - 07	82 E - 07	3,05
17	517 E - 07	57 E - 07	3,07
19	366 E - 07	41 E - 07	3,04



$$\left\{ \begin{array}{l} f = \sin(\pi(x+y)) \\ \Omega = [0,1] \times [0,1] \end{array} \right.$$

N	E_N	$E_{N'} = E_{2N}$	α
1	522147 E - 07	974729 E - 07	- 0,9
2	974729 E - 07	93392 E - 07	3,40
3	279067 E - 07	20822 E - 07	3,76
4	93392 E - 07	7317 E - 07	3,69
5	37579 E - 07	3372 E - 07	3,49
6	20822 E - 07	1885 E - 07	3,48
7	11198 E - 07	1145 E - 07	3,30
8	7317 E - 07	744 E - 07	3,31
9	4691 E - 07	512 E - 07	3,21
10	3372 E - 07	367 E - 07	3,21
11	2447 E - 07	272 E - 07	3,18
12	1885 E - 07	207 E - 07	3,20
13	1438 E - 07	161 E - 07	3,17
14	1145 E - 07	128 E - 07	3,18
15	906 E - 07	103 E - 07	3,15
16	746 E - 07	84 E - 07	3,17
17	610 E - 07	70 E - 07	3,14
18	512 E - 07	58 E - 07	3,16
19	428 E - 07	49 E - 07	3,14
20	367 E - 07	42 E - 07	3,14



$$\left\{ \begin{array}{l} f = 1/1.1+x+y \\ \Omega = Q_N^* = [-0.5, 0.5] \times [-0.5, 0.5] \end{array} \right.$$

N	E_N	$E_{N'} = E_{2N+1}$	α
1	263,04714 E - 02	101,99787 E - 02	0,86
3	101,99787 E - 02	28,5177 E - 02	1,49
5	50,07872 E - 02	12,7284 E - 02	1,73
7	28,5177 E - 02	6,6484 E - 02	1,92
9	18,54113 E - 02	3,9294 E - 02	2,07
11	12,7284 E - 02	2,5072 E - 02	2,19
13	9,0618 E - 02	1,69 E - 02	2,3
15	6,6483 E - 02	1,19 E - 02	2,36
17	5,047 E - 02	0,866 E - 02	2,44
19	3,9294 E - 02	0,649 E - 02	2,5



$$\left\{ \begin{array}{l} f = 1/0.1+x+y \\ \Omega = Q_N = [0,1] \times [0,1] \end{array} \right.$$

N	E_N	$E_{N'} = E_{2N}$	α
1	272,72727 E - 02	142,85714 E - 02	0,94
2	142,85714 E - 02	74,19189 E - 02	0,95
3	98,52285 E - 02	44,85514 E - 02	1,14
4	74,19189 E - 02	28,9574 E - 02	1,36
5	57,14286 E - 02	19,64912 E - 02	1,55
6	44,85514 E - 02	13,86767 E - 02	1,70
7	35,78678 E - 02	10,10485 E - 02	1,83
8	28,9574 E - 02	7,56076 E - 02	1,95
9	23,7231 E - 02	5,79212 E - 02	2,04
10	19,64912 E - 02	4,53571 E - 02	2,12
11	16,43477 E - 02	3,61142 E - 02	2,20
12	13,86767 E - 02	2,91759 E - 02	2,26
13	11,79497 E - 02	2,38747 E - 02	2,32
14	10,10485 E - 02	1,97604 E - 02	2,37
15	8,71429 E - 02	1,65226 E - 02	2,41
16	7,56076 E - 02	1,39424 E - 02	2,45
17	6,59663 E - 02	1,18631 E - 02	2,49
18	5,79212 E - 02	1,01703 E - 02	2,52
19	5,11416 E - 02	0,87792 E - 02	2,55
20	4,53571 E - 02	0,76263 E - 02	2,58



Les résultats numériques précédents montrent que l'ordre de convergence tend vers 3, quand N augmente. Il semble donc que l'erreur d'interpolation pourrait être en $O(h^3)$ avec $h = 1/N$.

3 - Etude théorique de l'erreur d'interpolation.

Proposition 3.

Soit $\hat{\Omega} = [-h/2, +h/2]$; et soit $f \in C^3(\hat{\Omega})$. L'erreur d'interpolation est en $O(h^\alpha)$; avec α au moins égal à 2.

Démonstration.

Soit $f \in C^3(\hat{\Omega})$, et S la spline quadratique interpolant f aux points I , ($1 \leq I \leq N_0$), appartenant à Q_N^* (ou Q_N).

C'est à dire que $\pi_N f = S$.

D'après ce qui précède, Ω est subdivisé en petits carrés appelés Q_{ij} (ou Q_{ij}^*) avec $1 \leq i, j \leq N$.

Soit i_0, j_0 tq $1 \leq i_0, j_0 \leq N$, appelons C_{i_0, j_0} le centre du carré Q_{i_0, j_0} .

Soit \hat{Q}_{i_0, j_0} le carré de centre C_{i_0, j_0} et de côtés $2h$ et $S_2 f$ le quasi-interpolant défini par P. Sablonnière [10]

$$S_2 f(x, y) = \sum_{i, j} (f(c_{ij}) - \frac{1}{8} h^2 \Delta f(c_{ij})) M_{ij}$$

avec

$\Delta f =$ Laplacien de f

$M_{ij} =$ B-spline centrée au point c_{ij}

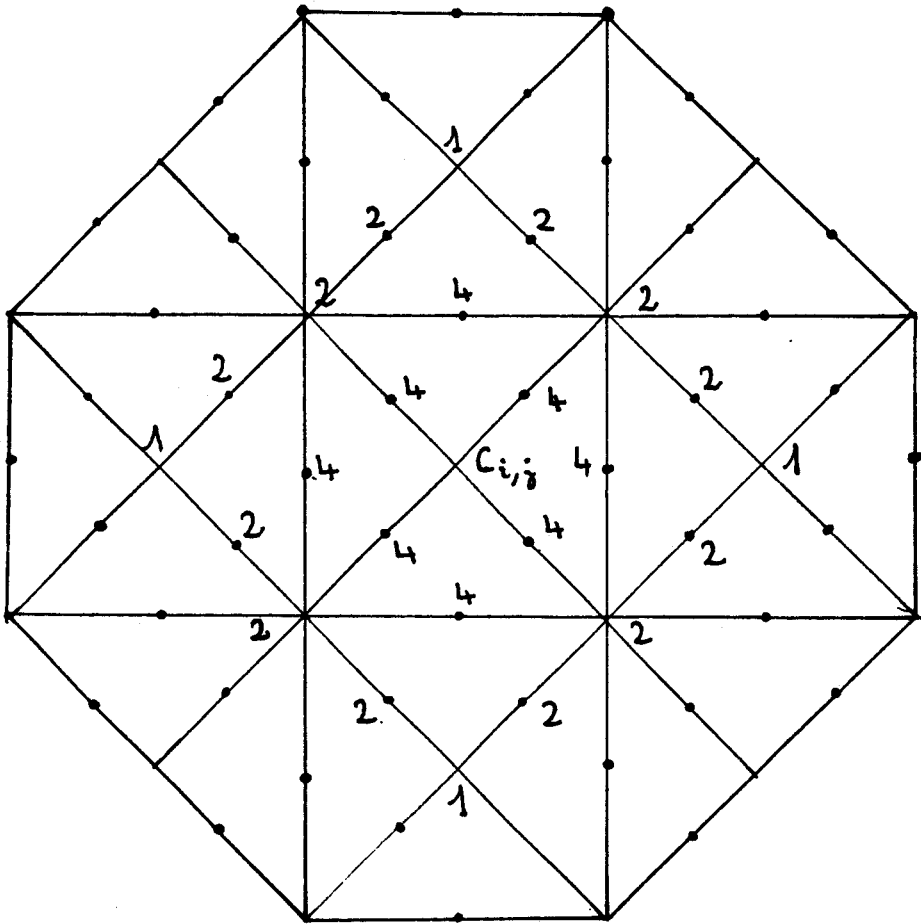


Figure 25. B-spline de $S_p(2,1)$ (Normalisation : diviser par 8, voir [10]).

P. Sablonnière donne dans [10] le résultat suivant :

$$(1) \quad \|S_2 f - f\|_{\infty, Q_{i_0, j_0}} \leq \left\{ \frac{\sqrt{3}}{27} M_3(c_{i_0, j_0}) + \frac{31}{24} \hat{\omega}_3^1(h) \right\} h^3$$

avec

$$\left\{ \begin{array}{l} M_3(c_{i_0, j_0}) = \text{Max}_{k+l=3} \{ \partial^{k,l} f(c_{i_0, j_0}) \} \\ \hat{\omega}_3(h) = \text{Max}_{k+l=3} \hat{\omega}(\partial^{k,l} f, h) \\ \hat{\omega}(\partial^{k,l} f, h) = \sup_{\substack{\|x_1 - x_2\| \leq h \\ x_1, x_2 \in Q_{i_0, j_0}}} | \partial^{k,l} f(x_1) - \partial^{k,l} f(x_2) | \\ \\ = \text{module de continuité de } \partial^{k,l} f \end{array} \right.$$

d'où on a :

$$M_3(c_{i_0, j_0}) \leq |f|_{3, \infty, \hat{Q}_{i_0, j_0}}$$

et

$$\hat{\omega}_3(h) \leq |f|_{3, \infty, \hat{Q}_{i_0, j_0}}$$

et donc

$$(2) \quad \|S_2 f - f\|_{\infty, Q_{i_0, j_0}} \leq Ch^3 |f|_{3, \infty, \hat{Q}_{i_0, j_0}}$$

Or ceci est vrai $\forall i_0, j_0$; on peut généraliser le résultat au domaine $\hat{\Omega}$, c'est à dire

$$(3) \quad \|S_2 f - f\|_{\infty, \Omega} \leq Ch^3 |f|_{3, \infty, \hat{\Omega}}$$

S_2 étant une spline quadratique, on a donc

$$\pi_N S_2 = S_2.$$

On peut donc s'écrire :

$$f - S = f - \pi_N f - S_2 f + \pi_N S_2 f$$

d'où

$$\begin{aligned} \|f - S\|_{\infty, \Omega} &\leq \|f - S_2 f\|_{\infty, \Omega} + \|\pi_N (f - S_2 f)\|_{\infty, \Omega} \\ &\leq (1 + \|\pi_N\|) \|f - S_2 f\|_{\infty, \Omega} \end{aligned}$$

d'où d'après (3), on a :

$$(4) \quad \boxed{\|f - S\|_{\infty, \Omega} \leq C (1 + \|\pi_N\|) h^3 |f|_{3, \infty, \hat{\Omega}}}$$

Mais les résultats numériques précédents montrent qu'il existe C_1 et C_2 tels que :

$$\|\pi_N\| \leq C_1 N + C_2 = \frac{C_1}{h} + C_2$$

En remplaçant dans (4) on a :

$$\boxed{\|f - S\|_{\infty, \Omega} \leq (C_1 h^2 + C_2 h^3) |f|_{3, \infty, \hat{\Omega}}}$$

C.Q.F.D.

V - QUELQUES GÉNÉRALISATIONS.

On choisit les exemples suivants comme généralisation des cas précédents.

1ère exemple.

$$\begin{cases} f = x + 2y - 1 \\ \Omega = Q_N^* \text{ (ou } Q_N) \end{cases}$$

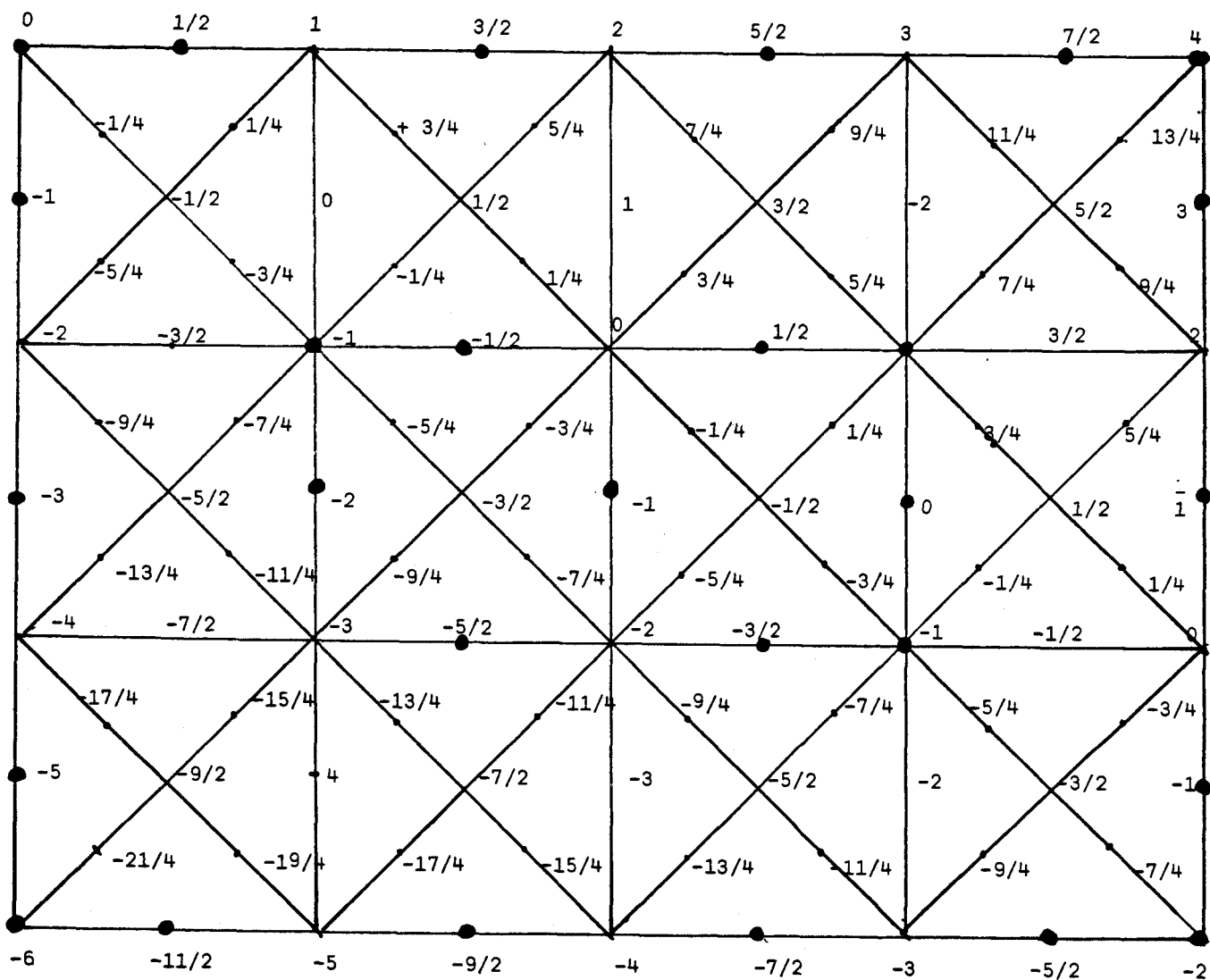


Figure 26. Représentation des B-coefficients de S interpolant de f.



2ème exemple.

$$f = x^2 + y$$

(avec un autre cas de figure)

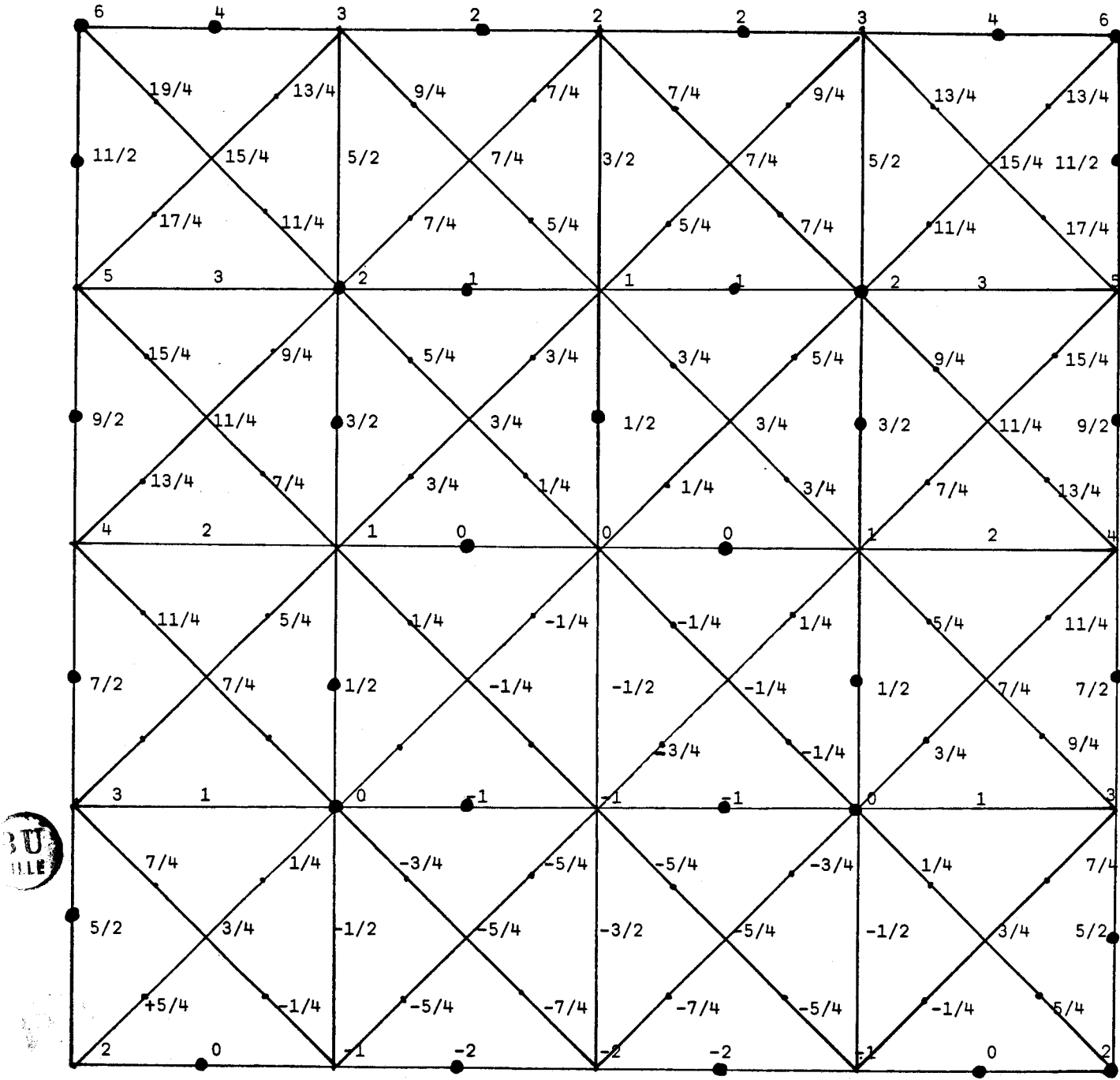


Figure 27. Représentation des B-coefficients de S interpolant de f.

3ième exemple.

$$f = 3x + 2y$$

(avec un autre cas de figure).

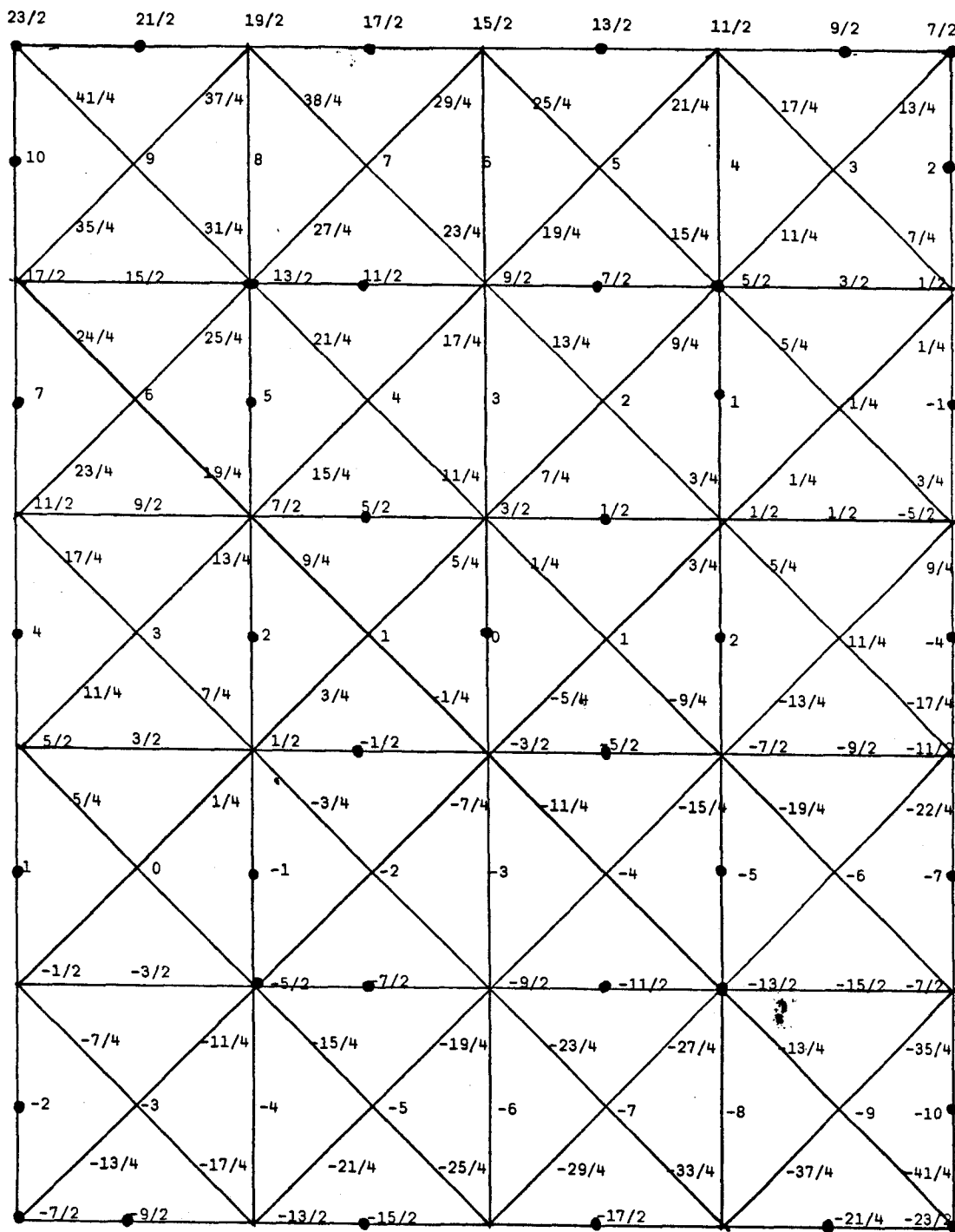
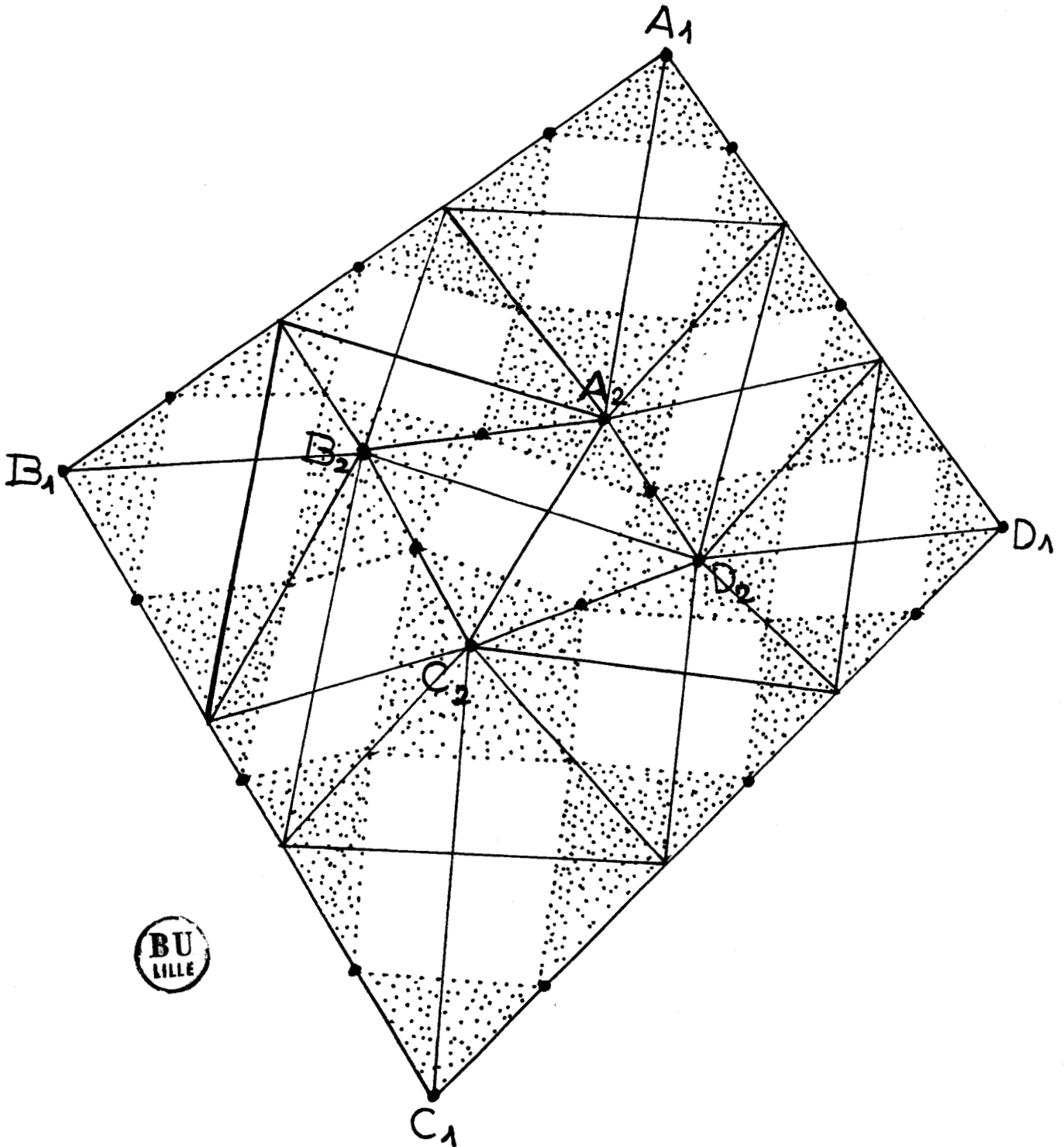


Figure 28. Représentation des B-coefficients de S interpolant f .

On peut généraliser l'étude précédente, en prenant pour Ω , un quadrilatère quelconque, et en choisissant les points d'interpolation de la manière suivante :



Dans ce cas, on procède de la même manière que précédemment.

On cherche d'abord les B-coefficients correspondants aux bords de $Q_N^*(Q_N)$; et ce, en résolvant les systèmes (S1) et (S2) donnés au début de ce chapitre.

Le passage de Q_N à Q_{N+2} , se fait à l'aide de la technique des plaques (pour cette notion voir [10]).

PROGRAMME 1 = ODCI

```

C INTERPOLATION DE LAGRANGE PAR DES SAJINES QUADRATIQUES
C CN PREND UN DOMAINE CARRE (-0.5,+0.5)*(-0.5,0.5)
C CN CHOISIT SUR LES COTES DE CE CARRE UNE SUBDIVISION DE PAS HN=1,N
C AVEC N IMPAIR
C CN CET INT LAE SLITE CROISSANTE DE CARRES
C ILS SONT APPELES G'N TEL QUE G'N EST INCLU DANS G'(N+1) POUR TOUT N
C CN CALCULE L'ERREUR D'INTERPOLATION POUR TOUT N ET PAR SUITE
C CN CALCULE L'ORDRE DE CONVERGENCE ALPHA=LOG(E/N)/LOG(HN/H(N+1))
C EN ETANT L'ERREUR D'INTERPOLATION CORRESPONDANT A LA SUBDIVISION DE PAS HN
C DECLARATION
  INTEGER F,G,F1,F2,F3,F4,F5,FF,PN
  DIMENSION A(21,21),X(50),Y(50)
  DIMENSION F1(10),G(10),H1(10),B(10)
C CN TRAITE LE CAS N=1 A PART
  DC 20 K=1,8
  READ(105,15)X(K),Y(K)
20 CONTINUE
15 FORMAT(2F8.2)
C INTERPOLATION SUR LE CARRE G1
  CALL S0(A,3,X,Y)
C B-COEFF. INTERNES
  CALL S4(A,3,3)
C FIN DE L'INTERPOLATION SUR G1
  N1=3
C CALCUL DE L'ERREUR
  CALL S5(A,0,0,1,E)
  E1=E
  WRITE(100,99)
99 FORMAT('L'ERREUR D'INTERPOLATION SUR G1 EST')
  WRITE(104,79)E1
  DC 554 FF=2,21
  N=2*FF-1
C CALCUL DES POINTS D'INTERPOLATION SUR G1
  X(1)=-0.5/FLCAT(N)
  Y(1)=-0.5/FLCAT(N)
  X(2)=0.5/FLCAT(N)
  Y(2)=0
  X(3)=-0.5/FLCAT(N)
  Y(3)=0.5/FLCAT(N)
  X(4)=0
  Y(4)=0.5/FLCAT(N)
  X(5)=0.5/FLCAT(N)
  Y(5)=0.5/FLCAT(N)
  X(6)=0.5/FLCAT(N)
  Y(6)=0
  X(7)=0.5/FLCAT(N)
  Y(7)=-0.5/FLCAT(N)
  X(8)=0
  Y(8)=-0.5/FLCAT(N)
C FIN DE CETTE LECTURE
C INTERPOLATION SUR LE CARRE (0,0)

```

```

      N1=2*N+1
      CALL S0(A,N1,X,Y)
C   FIN DE CE CALCUL
C   B COEFFICIENTS INTERNES
      CALL S4(A,N1,N1)
C   CALCUL DE L'ERREUR SLR (C,0)
      CALL S5(A,0,0,N,F)
      E2=E
C   CALCUL DES POINTS D'INTERPOLATION SUR LES AUTRES CARRÉS
      IF(N.EQ.1) GO TO 554
      N2=(N-1)/2
      DC 57 PN=1,N2
      P=2*FN+1
      P1=P*P
      P2=P1+P+1
      P3=P2+P+1
      P4=P3+P+1
      P5=(P+2)*(P+2)-1
      X(P1)=(-0.5-PN)/FLCAT(N)
      Y(P1)=X(P1)
      X(P1+1)=X(P1)
      Y(P1+1)=Y(P1)+0.5/FLCAT(N)
      DC 51 K=P1+2,P2-1
      X(K)=X(K-1)
      Y(K)=Y(K-1)+1./FLOAT(N)
51  CONTINUE
      X(P2)=X(P2-1)
      Y(P2)=Y(P2-1)+0.5/FLCAT(N)
      X(P2+1)=X(P2)+0.5/FLCAT(N)
      Y(P2+1)=Y(P2)
      DC 52 K=P2+2,P3-1
      X(K)=X(K-1)+1./FLOAT(N)
      Y(K)=Y(K-1)
52  CONTINUE
      X(P3)=X(P3-1)+0.5/FLCAT(N)
      Y(P3)=Y(P3-1)
      X(P3+1)=X(P3)
      Y(P3+1)=Y(P3)-0.5/FLCAT(N)
      DC 53 K=P3+2,P4-1
      X(K)=X(K-1)
      Y(K)=Y(K-1)-1./FLOAT(N)
53  CONTINUE
      X(P4)=X(P4-1)
      Y(P4)=Y(P4-1)-0.5/FLCAT(N)
      X(P4+1)=X(P4)-0.5/FLCAT(N)
      Y(P4+1)=Y(P4)
      DC 54 K=P4+2,P5
      X(K)=X(K-1)-1./FLOAT(N)
      Y(K)=Y(K-1)
54  CONTINUE
      X(P5+1)=X(P1)

```



```

Y(F5+1)=Y(P1)
C FIN DE LA LECTURE DES POINTS D'INTERSECTION SUR QF
C ON CHERCHE D'ABORD LES B-COEFFICIENTS APPARTENANT AUX BORDS DE QF
C ON FAIT APPEL AUX SCS PROGRAMME S2 PERMETTANT LE CALCUL DE CERTAINS DE CES
C B-COEFFICIENTS
C COTE (A,B) C'EST A DIRE SEGMENT D'EXTREMITES(-4PN,-4FN)ET(-4FN,4FN)
I=-4*PN
A(I-2+N1,I-2+N1)=F(X(P1),Y(P1))
A(I-2+N1,-I+2+N1)=F(X(P2),Y(P2))
LF=F-1
H1(1)=3./2.
G(1)=1./4
IF(LF.EC,2)GC TC 06
DC 40 K=2,LF-1
F1(K)=1./4
H1(K)=3./2.
G(K)=1./4
60 CONTINUE
66 F1(LF)=1./4.
H1(LF)=3./2.
CALL S2(LF,F1,F1,G,H1,X,Y,B)
DC 413 J=1,F-1
J1=4*J-2*P
A(I-2+N1,J1+N1)=E(J)
A(I-2+N1,J1-2+N1)=2*F(X(F1+J),Y(F1+J))-(A(I-2+N1,J1+N1)+A(I-2+N1,
SJ1-4+N1))/2
C RESTE DES B-COEFF. AUX BORDS DU CARRE (I,J1+2)
CALL S1(A,I+N1,J1+N1,2,0,4,0)
413 CONTINUE
A(I-2+N1,-I+N1)=2*F(X(F1+P),Y(F1+P))-(A(I-2+N1,-I+2+N1)+
SA(I-2+N1,-I-2+N1))/2
C FIN DU CALCUL DES B-COEFF. LE LONG DE (A,B)
C B-COEFF. LE LONG DE (B,C) C'EST A DIRE(-4FN,4FN),(4FN,4FN))
J=4*FN
A(J+2+N1,J+2+N1)=F(X(P3),Y(P3))
DC 41 K=2,LF
H1(K)=3./2.
61 CONTINUE
CALL S2(LF,F2,F1,G,H1,X,Y,B)
DC 411 I=1,F-1
I1=4*I-2*P
A(I1+N1,J+2+N1)=E(I)
A(I1-2+N1,J+2+N1)=2*F(X(F2+I),Y(F2+I))-(A(I1+N1,J+2+N1)+
SA(I1-4+N1,J+2+N1))/2
C RESTE DES B-COEFF. AUX BORDS DU CARRE (I1+2,J)
CALL S1(A,I1+N1,J+N1,0,-2,0,-4)
411 CONTINUE
A(J+N1,J+2+N1)=2*F(X(F2+P),Y(F2+P))-(A(J-2+N1,J+2+N1)+
SA(J+2+N1,J+2+N1))/2
C FIN DU CALCUL DES B-COEFF. LE LONG DE (B,C)
C B-COEFFICIENTS APPARTENANT A (C,C) C'EST A DIRE(4PN,4FN),(4FN,-4FN))

```

```

I=4*FN
A(I+2+N1,-I-2+N1)=F(X(F4),Y(F4))
DC 62 K=2,LP
H1(K)=3./2.
62  CCNTINUE
CALL S2(LF,F3,F1,U,H1,X,Y,B)
DC 414 J=1,P=1
J1=-4+J+2*P
A(I+2+N1,J1+N1)=B(J)
A(I+2+N1,J1+2+N1)=2*F(X(F3+J),Y(F3+J))-(A(I+2+N1,J1+4+N1)+
SA(I+2+N1,J1+N1))/2
C  RESTE DES B-COEFF. SUR LE CARRE (I,J1-2)
CALL S1(A,I+N1,J1+N1,-2,C,-4,0)
414  CCNTINUE
A(I+2+N1,-I+N1)=2*F(X(F3+P),Y(P3+P))-(A(I+2+N1,-I+2+N1)+
SA(I+2+N1,-I-2+N1))/2
C  FIN DL CALCUL DES B-COEFFICIENTS APPARTENANT A (C,D)
C  B-COEFF APPARTENANT A CA C'EST A DIRE ((4PN,-4PN),(-4PN,-4PN))
J=-4*PN
DC 64 K=4,LP
H1(K)=3./2.
64  CCNTINUE
CALL S2(LF,F4,F1,U,H1,X,Y,B)
DC 415 I=1,P=1
I1=-4+I+2*P
A(I1+N1,J-2+N1)=B(I)
A(I1+2+N1,J-2+N1)=2*F(X(F4+I),Y(F4+I))-(A(I1+4+N1,J-2+N1)+
SA(I1+N1,J-2+N1))/2
C  RESTE DES B-COEFF. SUR LE CARRE (I1-2,J)
CALL S1(A,I1+N1,J+N1,0,2,C,4)
415  CCNTINUE
A(J+N1,J-2+N1)=2*F(X(F4+P),Y(P4+P))-(A(J+2+N1,J-2+N1)+
SA(J-2+N1,J-2+N1))/2
C  FIN DL CALCUL
C  FIN DL CALCUL DES B-COEFF. APPARTENANT AUX BORDS DE TOUTS LES CARRES
C  CONTENUS DANS GP
C  PASSAGE AUX COEFFICIENTS INTERNES
C  CARRES LELCNG DE (A,B)
CALL S3(A,-FN,-FN,-FN,PN,N1,N,E2)
C  CARRES LFLCMG DE (B,C)
CALL S3(A,1-FN,FN,FN,PN,N1,N,E2)
C  CARRES LELCNG DE (C,D)
CALL S3(A,PN,PN,-FN,PN-1,N1,N,E2)
C  CARRES LFLCMG DE (D,A)
CALL S3(A,1-PN,PN-1,-PN,-PN,N1,N,E2)
57  CCNTINUE
WRITE(105,80)N
80  FORMAT('L ERREUR D INTERPOLATION POUR N=',I3,'EST')
WRITE(108,79)E2
C  CALCUL DE L'ORDRE DE CONVERGENCE
ALPHA=LOG(E1/E2)/LOG(FLCAT(N)/FLCAT(N-2))

```

```
WRITE(100,81)N  
81 FORMAT('L ORDRE DE CONVERGENCE POUR N=',I3,'EST')  
WRITE(100,79)ALPHA  
79 FORMAT(F18.12)  
E1=E2  
554 CONTINUE  
STOP  
END
```

```
SUBROUTINE SO(A,N1,X,Y)
DIMENSION A(21,21),X(50),Y(50)
C INTERPLICATION SUR LE CARRE (0,0)
A(N1-2,N1+2)=F(X(1),Y(1))
A(N1-2,N1+2)=F(X(3),Y(3))
A(N1-2,N1+2)=2*F(X(2),Y(2))- (A(N1-2,N1+2)+A(N1+2,N1+2))/2
A(N1+2,N1+2)=F(X(5),Y(5))
A(N1,N1+2)=2*F(X(4),Y(4))- (A(N1-2,N1+2)+A(N1+2,N1+2))/2
A(N1+2,N1-2)=F(X(7),Y(7))
A(N1+2,N1)=2*F(X(6),Y(6))- (A(N1+2,N1+2)+A(N1+2,N1-2))/2
A(N1,N1-2)=2*F(X(8),Y(8))- (A(N1+2,N1-2)+A(N1-2,N1-2))/2
C FIN DL PROGRAMME SC
RETURN
END
```



```
      SUBROUTINE S1(A,I,J,K1,K2,K3,K4)
C  DECLARATION
      DIMENSION A(21,21)
      A(I,J)=2*A(I+K1,J+K2)-A(I+K3,J+K4)
C  FIN DE SOLS PROGRAMME S1
      RETURN
      END
```

```

C      SLBRoutine S2(L,R,F1,G,H1,X,Y,B)
      DECLARATION
      INTEGER R
      DIMENSION F1(10),G(10),H1(10),B(10),D(10)
      DIMENSION X(50),Y(50)
      REAL M
C      RESOLUTION D'UN SYSTEME DE L'EQUATIONS A L'INCONNUES
C      PAR LA METHODE DE GALSS
      D(1)=F(X(R+2),Y(R+2))+F(X(R+1),Y(R+1))-F(X(R),Y(R))/4
      IF(L.LT.3)GO TO 110
      DO 35 I=2,L-1
      D(I)=F(X(R+I+1),Y(R+I+1))+F(X(R+I),Y(R+I))
35    CONTINUE
110   D(L)=F(X(L+R+1),Y(L+R+1))+F(X(L+R),Y(L+R))-F(X(L+R+2),Y(L+R+2))/4
      DO 612 K=2,L
      M=F1(K)/H1(K-1)
      H1(K)=H1(K)-M*G(K-1)
      D(K)=D(K)-M*D(K-1)
612   CONTINUE
      B(L)=D(L)/H1(L)
      DO 613 K=L-1,1,-1
      B(K)=(D(K)-G(K)*B(K+1))/H1(K)
613   CONTINUE
C      FIN DE SCS PROGRAMME S2
      RETRN
      END

```

```
      SUBROUTINE S3(A,L1,L2,L3,L4,N1,N,E2)
C   CALCUL DE L'ERREUR D'INTERPOLATION SUR LE CARRE (I,J)
C   DECLARATION
      DIMENSION A(21,21)
      DC 644 I1=L1+N1,L2+N1
      I=4*(I1-N1)
      DC 645 J1=L3+N1,L4+N1
      J=4*(J1-N1)
      CALL S4(A,I+N1,J+N1)
      CALL S5(A,I,J,N,E)
      IF (E>.GE.E)GC TC 645
      E2=E
      645 CONTINUE
      644 CONTINUE
C   FIN DU SCUS PROGRAMME S3
      RETRN
      END
```

```
C      SUBROUTINE S4(A,I,J)
      DECLARATION
      DIMENSION A(21,21)
      A(I-1,J-1)=(A(I-2,J)+A(I,J-2)))/2
      A(I+1,J-1)=(A(I,J-2)+A(I+2,J)))/2
      A(I+1,J+1)=(A(I,J+2)+A(I+2,J)))/2
      A(I-1,J+1)=(A(I,J+2)+A(I-2,J)))/2
      A(I,J)=(A(I-1,J+1)+A(I+1,J-1)))/2
      FIN DU SCUS PROGRAMME S4
      RETLRFN
      END
```

```

SUBROUTINE S5(A,I,J,N,E)
DIMENSION A(21,21)
XA=(FLCAT(I)/4.-C.5)/FLOAT(N)
YA=(FLCAT(J)/4.-C.5)/FLOAT(N)
XB=(FLCAT(I)/4.+C.5)/FLCAT(N)
YE=(FLCAT(J)/4.-C.5)/FLOAT(N)
XG=I/FLCAT(4*N)
YG=J/FLCAT(4*N)
N1=2*N+1
M=6
E=0.
DC 198 N11=1,M+1
M1=N11-1
W1=M1/FLCAT(N)
DC 199 N2=1,M-M1+1
M2=N2-1
W2=M2/FLCAT(N)
W3=1-W1-W2
C PCLR 7 APPARTENANT A T1 CN A
CALL S6(A,W1,W2,W3,XA,XB,XG,YA,YB,YG,I+N1,J+N1,-2,-2,+2,-2,-1,-1,
S+1,-1,0,-2,H)
IF(H.LE.E)GC TO 141
E=H
C FLACONS NOLS SUR T2
141 XC=(FLCAT(I)/4.+C.5)/FLOAT(N)
YC=(FLCAT(J)/4.+C.5)/FLCAT(N)
CALL S6(A,W1,W2,W3,XB,XC,XG,YB,YC,YG,I+N1,J+N1,+2,-2,+2,+2,+1,-1,
S+1,+1,+2,0,H)
IF(H.LE.E)GC TO 142
E=H
C CN SE PAGE SLR T3
C SLR T3
142 XD=(FLCAT(I)/4.-C.5)/FLCAT(N)
YD=(FLCAT(J)/4.+C.5)/FLCAT(N)
CALL S6(A,W1,W2,W3,XC,XD,XG,YC,YD,YG,I+N1,J+N1,+2,+2,-2,+2,+1,+1,
S-1,+1,0,+2,H)
IF(H.LE.E)GC TO 143
E=H
C FLACONS NOLS SLR T4
C FCUR APPARTENANT A T4 CN A
143 CALL S6(A,W1,W2,W3,XC,XA,XG,YD,YA,YG,I+N1,J+N1,-2,+2,-2,-2,-1,+1,
S-1,-1,-2,0,H)
IF(H.LE.E)GC TO 199
E=H
199 CCNTINUE
198 CCNTINUE
RETURN
END

```

```

SUBROUTINE S6(A,W1,W2,W3,X1,X2,X3,Y1,Y2,Y3,I,J,K1,K2,K3,K4,K5,K6,
SK7,KE,K9,K10,H)
C  DECLARATION
  DIMENSION A(21,21)
  XZ=W1*X1+W2*X2+W3*X3
  YZ=W1*Y1+W2*Y2+W3*Y3
  SF=A(I+K1,J+K2)*W1*W1+A(I+K3,J+K4)*W2*W2+A(I,J)*W3*W3+2*A(I+K5,
SJ+KE)*W1*W3+2*A(I+K7,J+K8)*W2*W3+2*A(I+K9,J+K10)*W1*W2
  H=ABS(SF-F(XZ,YZ))
C  FIN DE PROGRAMME S6
  RETRN
END

```

```
REAL FUNCTION F(C,D)
F=C*C*D
RETURN
END
```

PROGRAMME 2 = FLG


```

C INTERPOLATION DE LAGRANGE PAR DES SPLINES QUADRATIQUES SUR UN DOMAINE
C CARRE TRIANGLE
C LE DOMAINE CONSIDERE EST APPELE CN DE COTE N
C LES COTES DE CE CARRE SONT SUBDIVISES EN N SEGMENTS, SI BIEN QU'ON OBTIENT
C DES COTES DE COTES 1 INCLUS DANS CN
C POUR TOUT P INFERIEUR OU EGAL A N ON CHERCHE UN MAJORANT MJ ET UN MINORANT MN
C DE LA NORME DE L'OPERATEUR D'INTERPOLATION SUR LE BLOC CP-C(P-1)
C CELA PERMETTRA DE VOIR LA VARIATION DE LA NORME DE L'OPERATEUR
C EN FONCTION DE N
C L'INTERPOLATION POUR CHACUNE DES FONCTIONS DE BASE SE FAIT SUR C(P-1)
C P SUPERIEUR A 1 ET INFERIEUR OU EGAL A N
C L'ALGORITHME 2 PERMET LE PASSAGE DE C(P-1) A CP
C DECLARATION
  INTEGER P,C,PP,G1,PG,P1,P2,P3
  REAL MJ,MN
  DIMENSION A1(13,140),B1(13,120),A(13,13),B(6),G(6),H1(6),E1(6)
  DIMENSION C(24)
C A1 ET B1 REPRESENTENT LES TABLEAUX DANS LESQUELS ON PLACE LES B-COEFFICIENTS
C DES FONCTIONS DE BASE, POUR CALCULER MN ET MJ
C LES ELEMENTS DE A REPRESENTENT LES B-COEFFICIENTS D'UNE FONCTION DONNEE
C B,G,H1,E1 SONT LES MATRICES QUI INTERVIENNENT DANS LA RESOLUTION
C DU SYSTEME DE GAUSS EB=D.E EST FORMEE DES BLOCS (E1,G,H1)
C CETTE RESOLUTION SE FAIT DANS LE PROGRAMME S2
C C TABLEAU DES FONCTIONS DE BASE
C LE DIMENSIONNEMENT DE CES TABLEAUX EST DONNE POUR N=3
C ORDRE DE LECTURE
  READ(105,20)N
20 FORMAT(I3)
C INTERPOLATION SUR G1
C L REPRESENTE L'INDICE DES FONCTIONS DE LAGRANGE
C K REPRESENTE L'INDICE DES POINTS D'INTERPOLATION
DC 88 L=1,8
DC 89 K=1,8
IF(K.EQ.L) GO TO 0
C(K)=0,
GO TO 89
C(K)=1,
89 CONTINUE
C ON FAIT L'INTERPOLATION SUR G1 POUR LA FONCTION F=C(L)
C C(L) ETANT LA LIEME FONCTION DE LAGRANGE
A(1,1)=C(1)
A(5,1)=C(3)
A(3,1)=2*C(2)-(A(1,1)+A(5,1))/2
A(5,5)=C(5)
A(5,3)=2*C(4)-(A(1,5)+A(5,1))/2
A(1,5)=C(7)
A(3,5)=2*C(6)-(A(1,5)+A(5,1))/2
A(1,3)=2*C(8)-(A(1,1)+A(5,1))/2
CALL S4(A,3)
C FIN DE L'INTERPOLATION SUR G1
C IL FAUDRAIT DONC PLACER CES ELEMENTS DANS LE TABLEAU A1

```

```

CALL S5(L,A,3,3,A1)
88 CONTINUE
C LES B-COEFFICIENTS DES PREMIERES FONCTIONS DE LAGRANGE
C APPARTENANT A G1, SONT DONC PLACES DANS A1
C IL RESTE A FAIRE LA SOMME DE LEURS VALEURS ABSOLUES
C POUR TROUVER MJ
MJ=C.
DC 504 K=1,13
S=C.
DC 505 L=1,8
S=S+ABS(A1(K,L))
505 CONTINUE
IF(S.LE.MJ) GO TO 504
MJ=S
504 CONTINUE
C CALCUL DE MN
CALL S7(A1,1,8,MN)
C PASSAGE A L'INTERPOLATION POUR P QUELCONQUE
DC 999 F=2,N
I=4*F-1
C ON CHERCHE D'ABORD LES B-COEFFICIENTS SUR
C (G1-G(P-1)), DES PREMIERES FONCTIONS DE LAGRANGE
C C'EST A DIRE LES FONCTIONS DU CARRE G(P-1)
PP=(F+1)*(P+1)-1
P1=(F+1)*(P+1)
P2=(F+2)*(P+2)-1
P3=(F+1)*(P+2)
DC 901 L=1,PP
A(I+2,I+2)=0.
C LES B-COEFFICIENTS DE CES FONCTIONS DE LAGRANGE
C APPARTENANT AUX DEUX COTES DU CARRE G1, SONT
C EN PRINCIPE NULS
PG=2*p
DC 56 G1=1,PG
J1=2*(G1-1)+1
A(I+2,J1)=0.
A(J1,I+2)=0.
56 CONTINUE
A(I,1)=2*A1(3,L)-A1(2,L)
IF(F.NE.2)GO TO 22
A(1,I)=2*A1(11,L)-A1(6,L)
GO TO 23
22 LF=FF+L
A(1,I)=2*A1(11,LF)-A1(6,LF)
C B-COEFF. INTERNES
DC 968 G=1,P-2
J=4*G-1
K2=FF*(2*G-2)+L
K3=FF*(2*G-1)+L
CALL S0(A,A1,B1,F,G,I,J,P2,L,K2,K3,1)
C FIN DE CE CALCUL

```

```

960 CCNTINUE
23 Q=P-1
   J=4*Q-1
   K4=PF*(2*Q-2)+L
   CALL S0(A,A1,B1,P,Q,I,J,P2,L,K4,K4,1)
C   B-COEFFICIENTS SLR LE CARRE(I,I)
   CALL S4(A,I)
C   FIN DE CE CALCUL
C   PLACEMENT DES B-COEFFICIENTS DL CARRE(I,I)
   K=2*(P-1)*P2+L
   CALL S5(K,A,I,I,E1)
C   FIN DE CE PLACEMENT
907 CCNTINUE
C   PASSAGE AU CALCUL DES B-COEFFICIENTS DES NOUVELLES
C   FONCTIONS DE LAGRANGE
DC 997 L=P1,P2
DC 998 K=P1,P2
IF(K.EG.L) GC TC 78
C(K)=0
GC TC 990
78 C(K)=1
998 CCNTINUE
C   CALCUL DES B-COEFFICIENTS SUIVANT LES AXES
A(I+2,1)=C(P1)
A(1,I+2)=C(P2)
A(I+2,I+2)=C(P3)
A(I,1)=0.
A(1,I)=0.
C   CALCUL DES B-COEFFICIENTS SUIVANT LES DEUX AUTRES COTES DL CARRE
C   FAIRE APPEL AU SOUS-PROGRAMME S2
IF(P.NE.2)GC TC 55
A(9,5)=2*(C(11)+C(10)-C(9))/4-C(12)/4)/3
A(5,9)=2*(C(13)+C(14)-C(15))/4-C(12)/4)/3
GC TC 150
55 LP=P-1
H1(1)=3./2.
G(1)=1./4.
IF(LP.EG.2)GC TC 06
DC 60 K=2,LP-1
E1(K)=1./4.
H1(K)=3./2.
G(K)=1./4.
60 CCNTINUE
66 E1(LP)=1./4.
H1(LP)=3./2.
CALL S2(LP,P1,E1,G,H1,C,B)
I2=(I-3)/4
DC 413 J=1,I2
J1=4*J+1
A(I+2,J1)=B(J)
413 CCNTINUE

```

```

DC 61 K=C,LP
H1(K)=3.12.
61 CCNTINUE
CALL S2(LP,P3,E1,G,H1,C,B)
DC 411 J=1,I2
J1=4*J+1
J2=P-1
A(J1,I+2)=B(J2)
411 CCNTINUE
C RESTE DES B-COEFFICIENTS SUR CES SEGMENTS
156 DC 712 G=1,P
J=4*G-1
A(I+2,J)=2*C(P1+G)-(A(I+2,J-2)+A(I+2,J+2))/2
A(J,I+2)=2*C(P2-G)-(A(J-2,I+2)+A(J+2,I+2))/2
C FIN DU CALCUL DE CES B-COEFFICIENTS
712 CCNTINUE
C RESTE A CALCULER LES B-COEFFICIENTS INTERNES
DC 713 G=1,P-1
J=4*G-1
CALL S0(A,A1,B1,P,G,I,J,P2,L,K1,K2,0)
C FIN DE CE CALCUL
713 CCNTINUE
C CALCUL DES B-COEFFICIENTS SUR LE CARRE(I,I)
CALL S4(A,I)
C FIN DE CE CALCUL
C RESTE A PLACER CES B-COEFFICIENTS DANS B1
K=2*(P-1)*P2+L
CALL S5(K,A,I,I,B1)
C FIN DE CE PLACEMENT
997 CCNTINUE
C RECHERCHE DE LA SOMME DES VALEURS ABSOLUES DES B-COEFFICIENTS
C POUR TROUVER UN MAJORANT MJ DANS LE BLOC (QP-Q(P-1))
MA=C
MJ=C.
DC 615 I1=1,PG-1
J1=I1*P2
DC 416 K=1,13
S=0.
DC 417 L=J1-P2+1,J1
A1(K,I)=B1(K,L)
S=S+ABS(A1(K,L))
417 CCNTINUE
IF(S,LE,MJ)GC TC 416
MJ=S
416 CCNTINUE
CALL S7(A1,J1-P2+1,J1,SN)
IF(SN,LE,MA)GC TC 615
MA=SN
615 CCNTINUE
C ON OBTIENT AINSI UN MAJORANT DANS LE BLOC GP-G(P-1)
999 CCNTINUE
STOP
END

```

```

SUBROUTINE SO(A,A1,B1,F,G,I,J,P2,L,K1,K2,R)
C CE SCLS PROGRAMME PERMET LE CALCUL DES B-COEFFICIENTS APPARTENANT AUX
C BORDS DE CHAQUE CARRE (I,J)
C IL FAIT APPEL AUX SCLS-PROGRAMMES S1 ET S3 QUI PERMETTENT LE CALCUL DES B-COEFFI
C INTERNES AUX CARRES (I,J) ET (J,I) RESPECTIVEMENT, I DIFFERENT DE J
C DECLARATION
  INTEGER F,G,P2
  DIMENSION A(13,13),A1(13,120),B1(13,120)
  IF(R.EQ.C)GC TC 1
C B-COEFFICIENTS SUR LE CARRE(I,J)
  A(I-2,J)=A1(8,K1)
  A(I-2,J+2)=A1(13,K1)
  A(I-3,J+1)=A1(10,K1)
  A(I-2,J-2)=A1(3,K1)
  GC TC 2
C FIN DU CALCUL DES B-COEFFICIENTS SUR LE CARRE(I,J)
C CALCUL DES B-COEFFICIENTS APPARTENANT AU CARRE(J,I)
  1 A(I-2,J)=0
  A(I-2,J+2)=0
  A(I-3,J+1)=0
  A(I-2,J-2)=0
  2 CALL S1(A,I,J)
C CN LES PLACE DANS B1
  K=(2*0-2)*P2+L
  CALL S5(K,A,I,J,B1)
C FIN DU PLACEMENT DES B-COEFFICIENTS DU CARRE(I,J)
  IF(R.EQ.C)GC TC 3
  A(J+1,I-3)=A1(10,K2)
  A(J,I-2)=A1(12,K2)
  A(J+2,I-2)=A1(13,K2)
  A(J-2,I-2)=A1(11,K2)
  GC TC 4
  3 A(J,I-2)=0
  A(J+2,I-2)=0
  A(J-2,I-2)=0
  A(J+1,I-3)=0
  4 CALL S3(A,J,I)
C FIN DE CE CALCUL
C CN LES PLACE DANS B1
  K=P2*(2*4-1)+L
  CALL S5(K,A,J,I,B1)
C FIN DE CE PLACEMENT
C FIN DU SCLS PROGRAMME SO
  RETURN
  END

```

```
      SUBROUTINE S1(A,I,J)
C     DECLARATION
      DIMENSION A(13,13)
C     A(I-1,J-1),A(I,J-2),A(I+2,J-2),A(I+2,J),A(I+2,J+2)
C     A(I-2,J),A(I-2,J+2) SCNT CCKNUS
      A(I-1,J-1)=(A(I-2,J)+A(I,J-2))/2
      A(I+1,J-1)=(A(I,J-2)+A(I+2,J))/2
      A(I-1,J+1)=A(I-2,J+2)+A(I-2,J)-A(I-3,J+1)
      A(I,J+2)=2*A(I-1,J+1)-A(I-2,J)
      A(I+1,J+1)=(A(I,J+2)+A(I+2,J))/2
      A(I,J)=(A(I-1,J+1)+A(I+1,J-1))/2
C     FIN DE PROGRAMME S1
      RETURN
      END
```

```

      SUBROUTINE S2(P,R,E1,G,H1,C,B)
C   RESOLUTION D'UN SYSTEME DE L EQUATIONS A P INCONNUES
C   PAR LA METHODE DE GAUSS
C   DECLARATION
      INTEGER N,P
      DIMENSION E1(6),C(6),G(6),H1(6),E(6),C(24)
      REAL M
      D(1)=C(R+2)+C(R+1)-C(R)/4
      IF(P.EQ.3) GO TO 110
      DO 35 I=2,P-1
      D(I)=C(R+I+1)+C(R+I)
35  CONTINUE
110  D(P)=C(P+R+1)+C(P+R)-C(P+R+2)/4
      DO 412 K=2,P
      M=E1(K)/H1(K-1)
      H1(K)=H1(K)-M*G(K-1)
      D(K)=D(K)-M*D(K-1)
412  CONTINUE
      B(P)=D(P)/H1(P)
      DO 413 K=L-1,1,-1
      B(K)=(D(K)-G(K)+B(K+1))/H1(K)
413  CONTINUE
C   FIN DU SOUS PROGRAMME S2
      RETURN
      END

```

```

SUBROUTINE S3(A,J,I)
C  DECLARATION
  DIMENSION A(13,13)
C  A(J-1,I-1),A(J-2,I),A(J-2,I+2),A(J,I+2),A(J+2,I+2)
C  A(J,I-2),A(J+2,I-2) CONTINUED
  A(J-1,I-1)=(A(J,I-2)+A(J-2,I))/2
  A(J-1,I+1)=(A(J-2,I)+A(J,I+2))/2
  A(J+1,I-1)=A(J+2,I-2)+A(J,I-2)-A(J+1,I-3)
  A(J+2,I)=2*A(J+1,I-1)-A(J,I-2)
  A(J+1,I+1)=(A(J+2,I)+A(J,I+2))/2
  A(J,I)=(A(J+1,I-1)+A(J-1,I+1))/2
C  FIN DU PROGRAMME S3
  RETURN
END

```



```

SUBROUTINE S4(A,I)
  DIMENSION A(13,13)
C  CALCUL DES B-COEFF. INTERNES AU CARRE (I,I)
  A(I-1,I-1)=(A(I-2,I)+A(I,I-2))/2
  A(I+1,I-1)=(A(I,I-2)+A(I+2,I))/2
  A(I+1,I+1)=(A(I,I+2)+A(I+2,I))/2
  A(I-1,I+1)=(A(I,I+2)+A(I-2,I))/2
  A(I,I)=(A(I-1,I+1)+A(I+1,I-1))/2
C  FIN DE SOUS PROGRAMME S4
  RETURN
  END
```

```

SUBROUTINE S5(K,A,I,J,A1)
C   SCS PROGRAMME PERMETTANT LE RANGEMENT DANS A1 DES
C   B-COEFFICIENTS DE LA LIENE FONCTION DE LAGRANGE
C   CES B-COEFFICIENTS APPARTENANT AL CARRE(I,J)
C   DECLARATION
DIMENSION A(13,13),A1(13,120)
A1(1,K)=A(I-2,J-2)
A1(2,K)=A(I,J-2)
A1(3,K)=A(I+2,J-2)
A1(4,K)=A(I-1,J-1)
A1(5,K)=A(I+1,J-1)
A1(6,K)=A(I-2,J)
A1(7,K)=A(I,J)
A1(8,K)=A(I+2,J)
A1(9,K)=A(I-1,J+1)
A1(10,K)=A(I+1,J+1)
A1(11,K)=A(I-2,J+2)
A1(12,K)=A(I,J+2)
A1(13,K)=A(I+2,J+2)
C   FIN DE CE PLACEMENT
RETURN
END

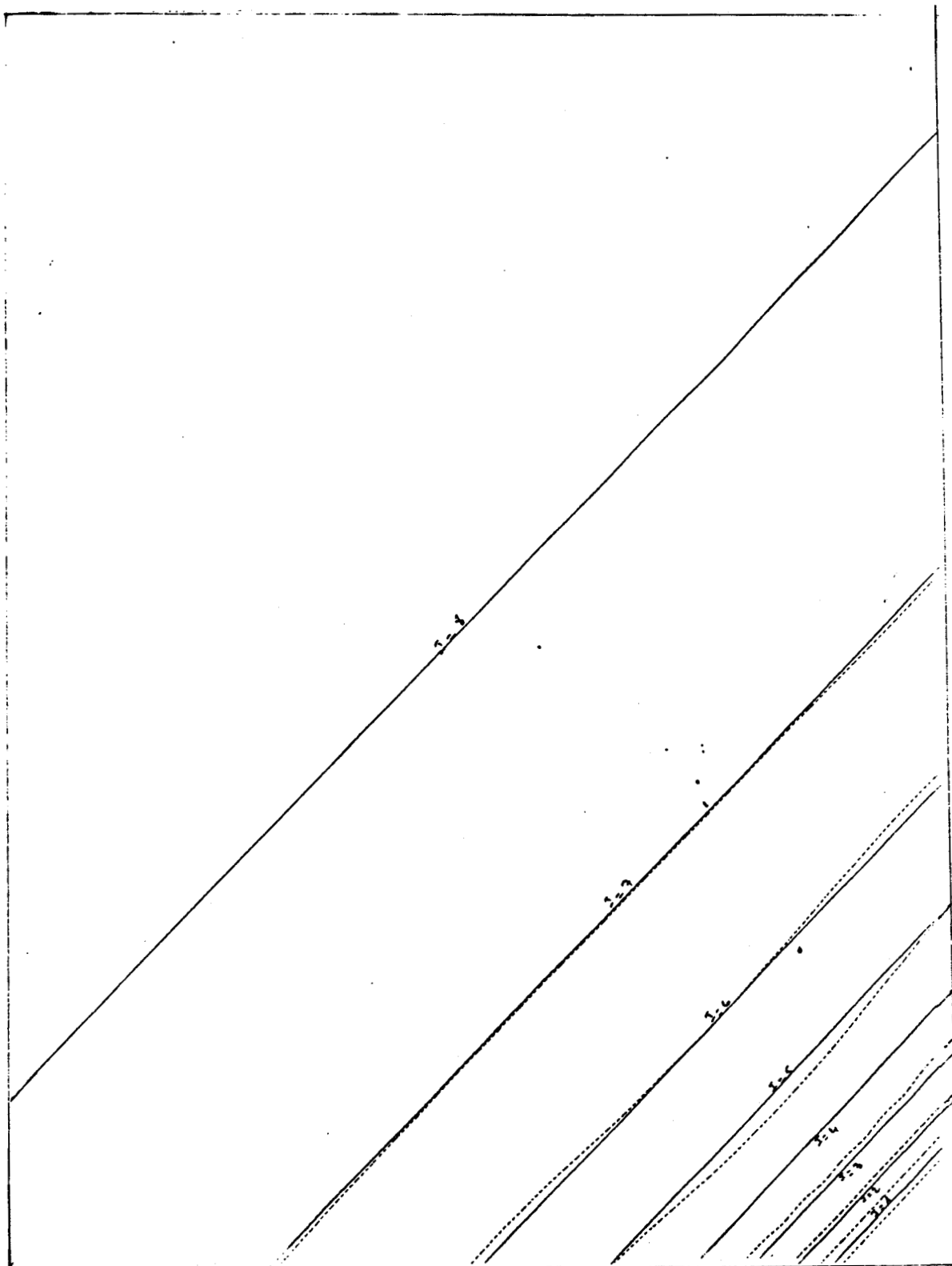
```

```
      SUBROUTINE S6(A1,L,W1,W2,W3,K1,K2,K3,K4,K5,K6,SL)
C   SOUS PROGRAMME PERMETTANT LE CALCUL DE LA VALEUR D'UNE SPLINE EN UN POINT
C   DECLARATION
      DIMENSION A1(13,120)
      SR=A1(K1,L)*W1*W1+A1(K2,L)*W2*W2+A1(K3,L)*W3*W3+2*A1(K4,L)*W1*W2+
      S2*A1(K5,L)*W2*W3+2*A1(K6,L)*W1*W3
      SL=ABS(SR)
C   FIN DU SOUS PROGRAMME S6
      RETURN
      END
```

```

SUBROUTINE S7(A1,L1,L2,SN)
C SCUS PROGRAMME PERMETTANT LE CALCUL DU MAXIMUM DES VALEURS DE LA SOMME DES
C FONCTIONS DE LAGRANGE EN UN CERTAIN NOMBRE DE POINTS DANS L'LN DES PETITS
C CARRÉS INCLUS DANS CP
C DECLARATION
  DIMENSION A1(13,120)
  REAL MN
  M=10
  SN=0
  DC 158 N1=1,M+1
  M1=N1-1
  W1=M1/FLCAT(M)
  DC 159 N2=1,M-M1+1
  M2=N2-1
  W2=M2/FLCAT(M)
  W3=1-W1-W2
  SF=0
  DC 314 L=L1,L2
C CLR T1
  CALL S6(A1,L,W1,W2,W3,1,3,7,2,5,4,SL)
  SF=SF+SL
314 CCNTINUE
  IF(SF.LE.SN)GO TO 141
  SN=SF
141 SF=0
  DC 315 L=L1,L2
  CALL S6(A1,L,W1,W2,W3,3,13,7,8,10,5,SL)
  SF=SF+SL
315 CCNTINUE
  IF(SF.LE.SN)GO TO 142
  SN=SF
142 SF=0
  DC 316 L=L1,L2
  CALL S6(A1,L,W1,W2,W3,13,11,7,12,9,10,SL)
  SF=SF+SL
316 CCNTINUE
  IF(SF.LE.SN)GO TO 143
  SN=SF
143 SF=0
  DC 317 L=L1,L2
  CALL S6(A1,L,W1,W2,W3,11,1,7,6,4,9,SL)
  SF=SF+SL
317 CCNTINUE
  IF(SF.LE.SN)GO TO 199
  SN=SF
199 CCNTINUE
198 CCNTINUE
C FIN CL SCUS PROGRAMME S7
  RETURN
  END

```



Courbes de Niveaux dans le cas où

$$\Omega = [-0.5, + 0.5] \times [-0.5,+0.5]$$

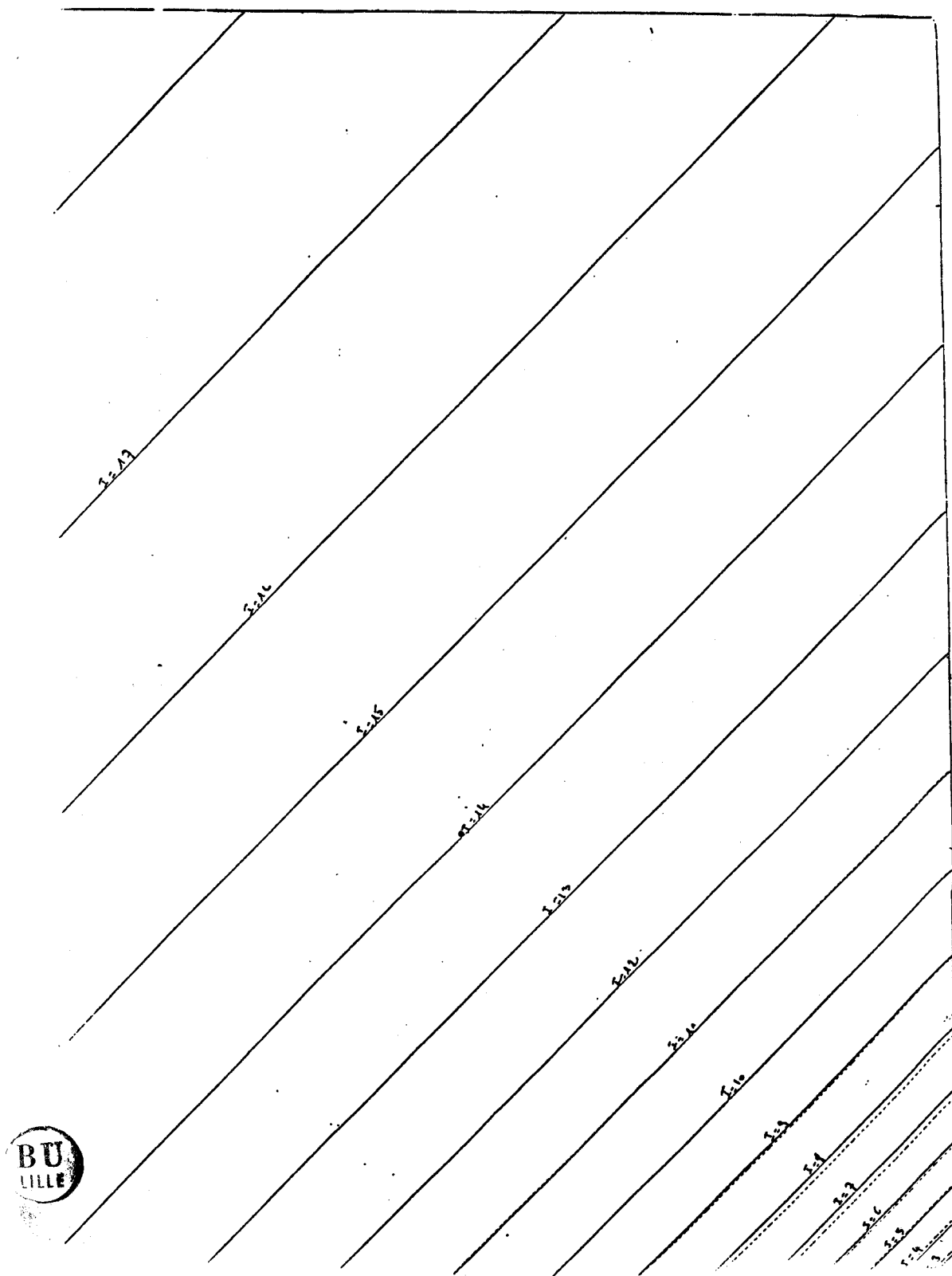
Fonctions en traits pleins, interpolant en pointillés.

$$f = \frac{1}{1,1+x+y}$$

Altitude $H = (10-J)/2$

Avec $1 \leq I \leq 8.$





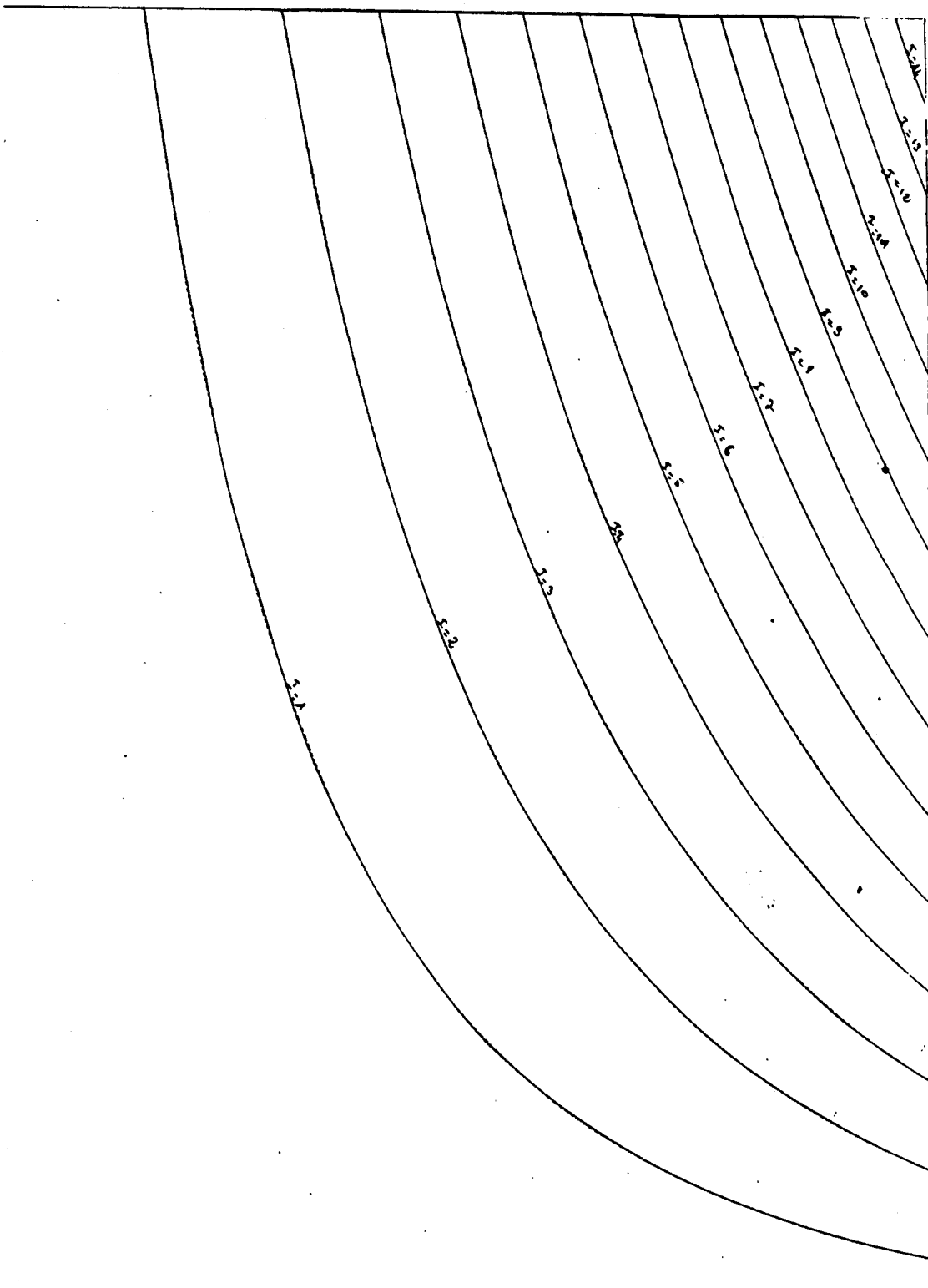
Courbes de Niveau dans le cas où $F = \text{Log}(1.1 + x + y)$

(Fonction en traits pleins, Spline en pointillés)

Altitude $H = (I-15)/6$

Avec

$$1 \leq I \leq 18$$



Courbes de Niveaux dans le cas où

$$\Omega = [0,1] \times [0,1]$$

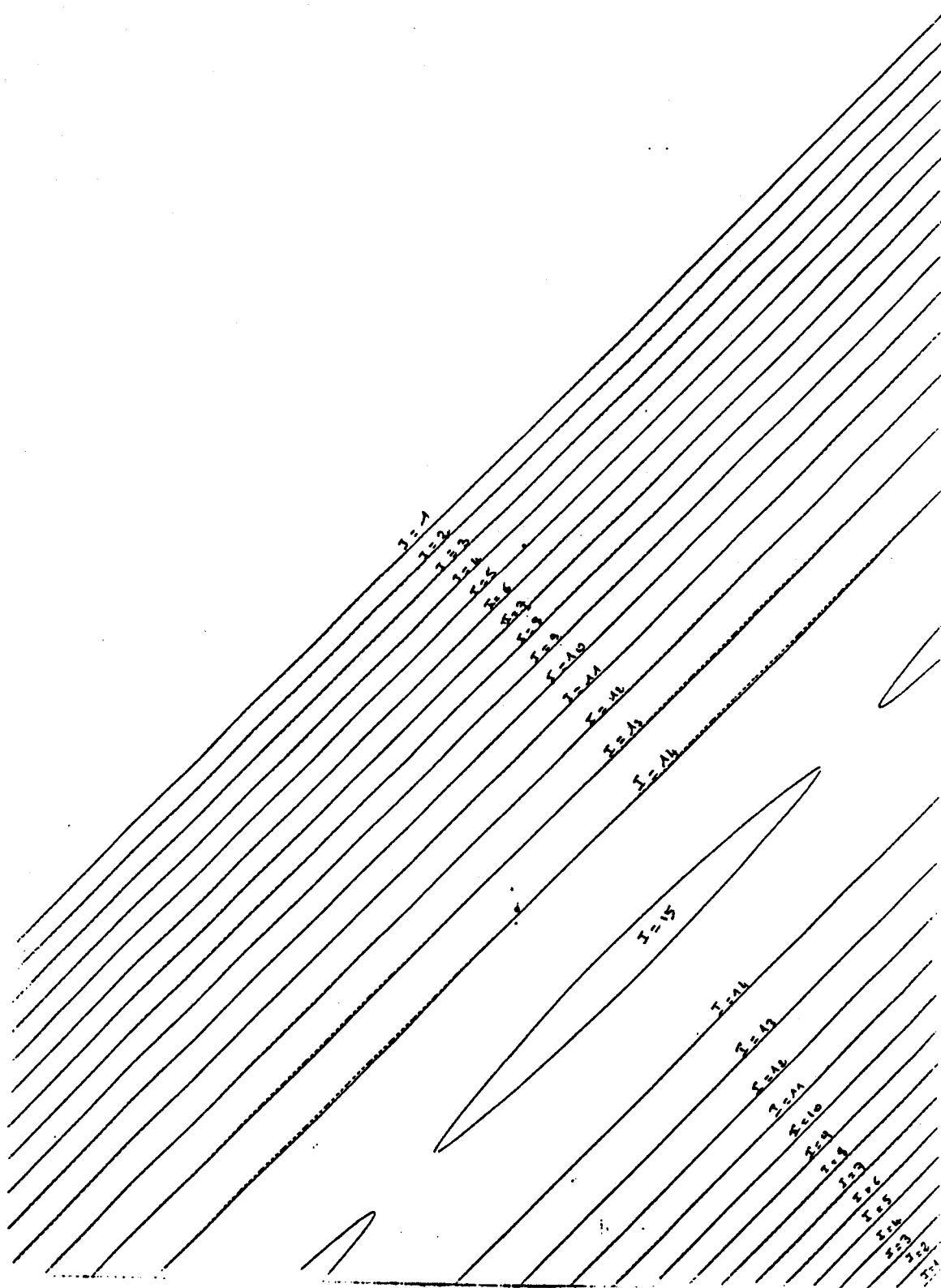
$$F = x^3 y$$

(fonction en traits pleins, interpolant en pointillés)

Altitude $H = 1/15$.

Avec $1 \leq I \leq 14$.





Courbes de Niveau dans le cas où

$$\Omega = [0,1] \times [0,1]$$

$$F = \text{Sin}(\pi(n+y))$$

Fonction en pointillé, Spline en traits pleins.

Altitude $H = 1/15$

Avec $1 \leq I \leq 15$

CHAPITRE IV

ESTIMATION DES DERIVEES PARTIELLES

PAR

MINIMISATION DE L'ENERGIE DE FLEXION D'UNE PLAQUE MINCE.

I - INTRODUCTION ET NOTATIONS.

On considère dans \mathbb{R}^2 , un domaine carré appelé Q_N ($N \geq 1$). Les côtés de ce carré sont subdivisés en N segments égaux.

Les petits carrés obtenus sont subdivisés chacun en deux triangles comme l'indique la figure 1. Chacun de ces triangles est appelé macro-triangle et est subdivisé en six micro-triangles t_i . Les sommets des petits carrés sont appelés A_{ij} ($1 \leq i, j \leq N+1$).

1°) - Position du problème.

Etant donné une fonction $f \in C^1(Q_N)$, on pose :

$$f_{ij} = f(A_{ij}) \quad (1 \leq i, j \leq N+1).$$

On cherche à interpoler f aux points A_{ij} , en utilisant les triangles de Powell-Sabin (voir chapitre 1) c'est à dire on cherche $S \in P_2^1(\Omega)$ (voir explications) tels que :

$$\mathbb{P} \left\{ \begin{array}{l} S(A_{ij}) = f(A_{ij}) = f_{i,j} \\ \frac{\partial S}{\partial x}(A_{ij}) = \tilde{p}_{ij} \sim \frac{\partial f}{\partial x}(A_{ij}) \\ \frac{\partial S}{\partial y}(A_{ij}) = \tilde{q}_{ij} \sim \frac{\partial f}{\partial y}(A_{ij}) \end{array} \right. \quad \text{pour } 1 \leq i, j \leq N+1$$

Où \tilde{p}_{ij} et \tilde{q}_{ij} sont des estimations des dérivées partielles.

Dans ce chapitre, on se propose d'estimer ces dernières en minimisant l'expression :

$$E = \iint_{Q_N} \left[\left(\frac{\partial^2 S}{\partial x^2} \right)^2 + 2 \left(\frac{\partial^2 S}{\partial x \partial y} \right)^2 + \left(\frac{\partial^2 S}{\partial y^2} \right)^2 \right] dx dy$$

qui est une approximation de l'énergie de flexion d'une plaque mince.

2°) Quelques explications.

Posons $h = 1/N$.

Soit \mathcal{C} la subdivision de Q_N en micro-triangles, appelés t_{kl} , $1 \leq k \leq N^2$ et

$1 \leq \ell \leq 6$ on définit :

$$P_2^1(Q_N) = \{ \text{fonction } s \in C^1(Q_N) \text{ tq } S/t_{kl} \in P_2(t_{kl}), 1 \leq k \leq N^2 \text{ et } 1 \leq \ell \leq 6 \}$$

D'après le chapitre 1, en utilisant les triangles de Powell-Sabin, on démontre qu'il existe S unique vérifiant le problème P .

Posons aussi, pour simplifier l'écriture :

$$G = \left(\frac{\partial^2 S}{\partial x^2} \right)^2 + 2 \left(\frac{\partial^2 S}{\partial x \partial y} \right)^2 + \left(\frac{\partial^2 S}{\partial y^2} \right)^2.$$

Remarque 1.

Avant de commencer notre étude, donnons une figure représentant la subdivision de Q_N (pour $N = 2$).

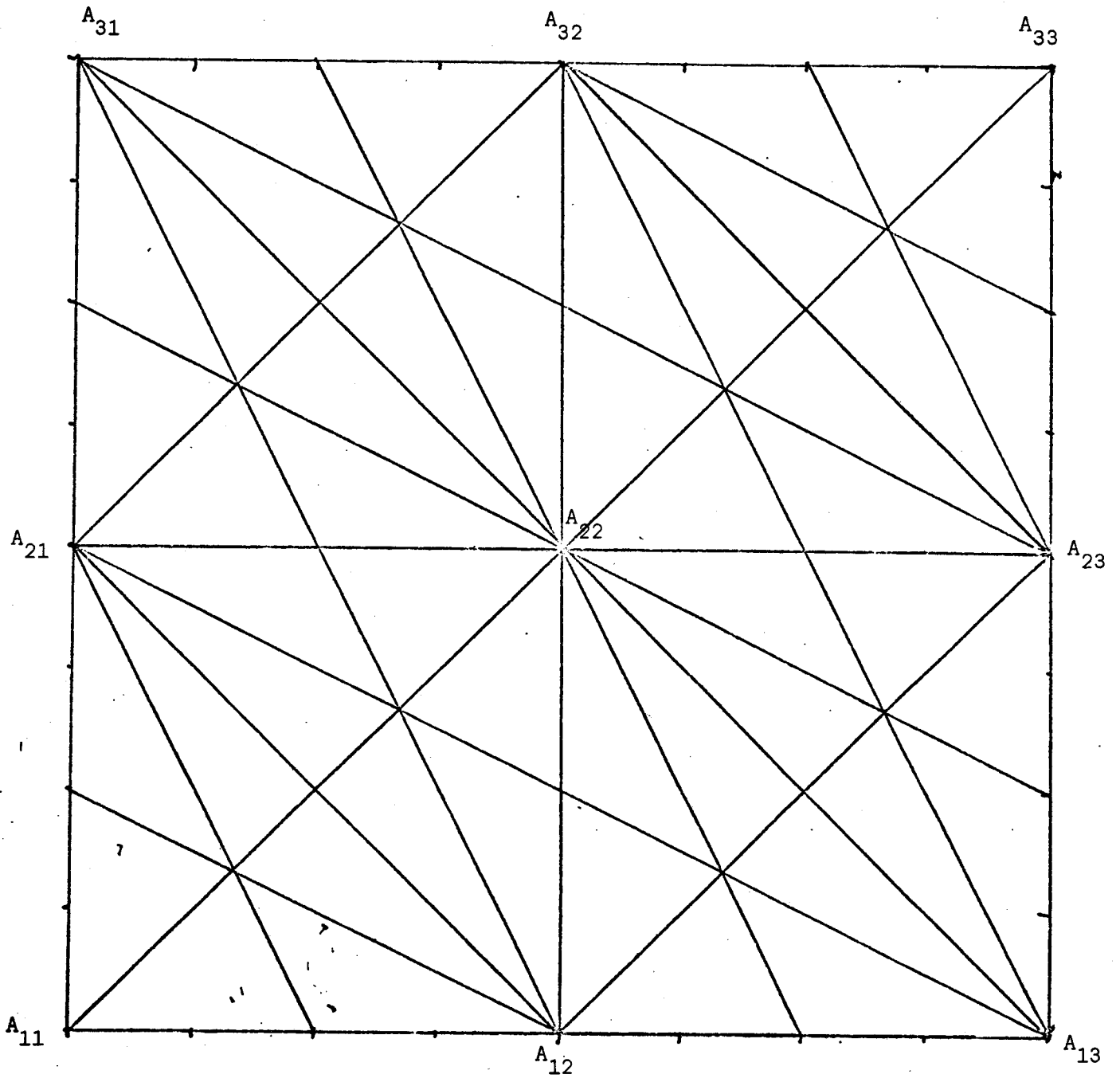
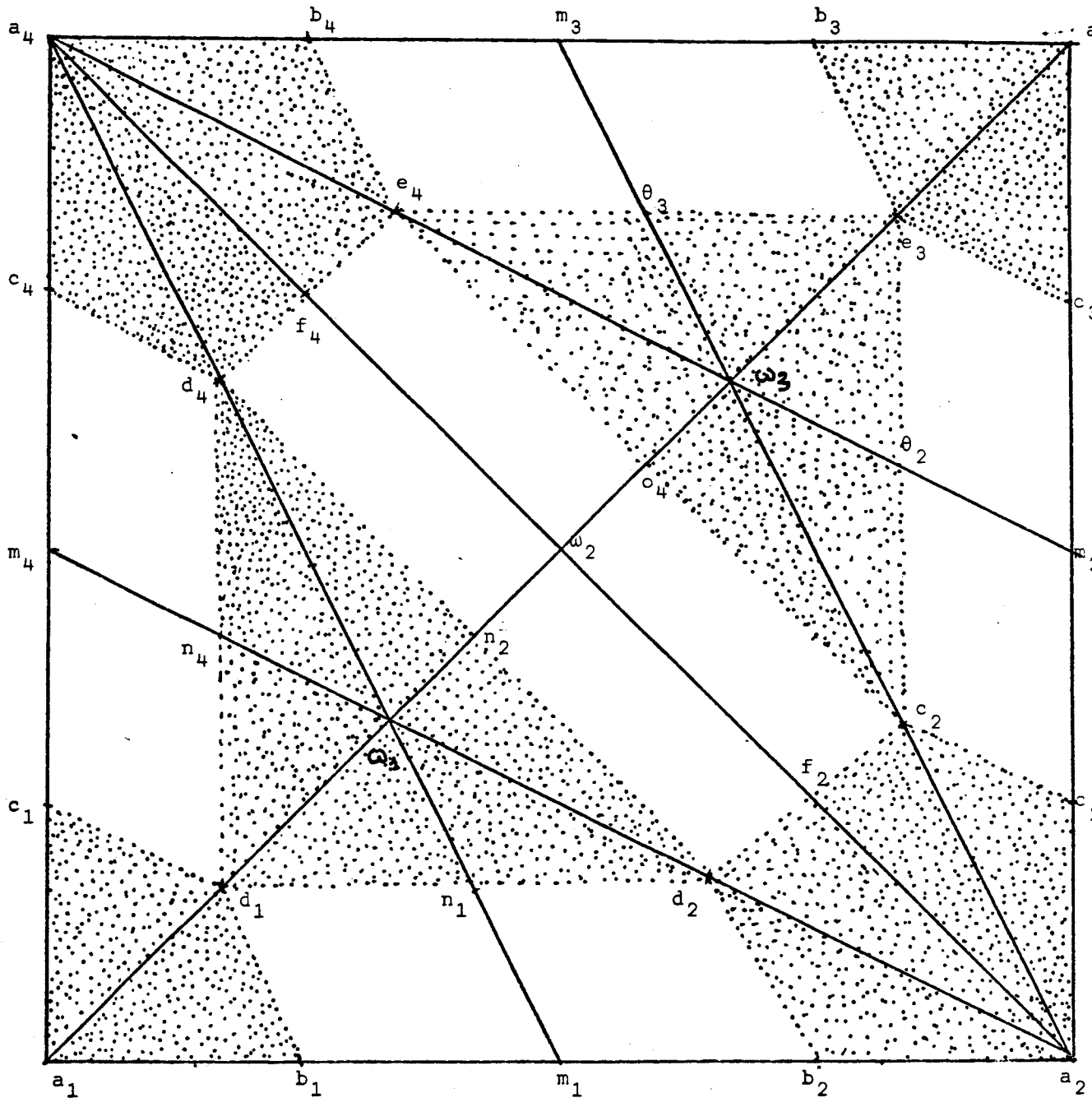


Figure 1. Domaine Q_2 subdivisé par C .



II - CALCUL DE L'EXPRESSION DE L'ÉNERGIE.

1°) - Calcul de la spline.



*Figure 2. Projection du B-réseau sur l'un des carrés du domaine (Q_{ij}^1) .
Avec la mise en évidence des plaques de raccordement C^1 .*

Pour calculer la spline S, il suffit de calculer ses B-coefficients indiquées sur la figure 2.

En posant :

$$\left\{ \begin{array}{l} a_1 = f_{i,j} \\ a_2 = f_{i,j+1} \\ a_3 = f_{i+1,j+1} \\ a_4 = f_{i+1,j} \end{array} \right. \quad \left\{ \begin{array}{l} r_1 = \tilde{P}_{i,j} \\ r_2 = \tilde{P}_{i,j+1} \\ r_3 = \tilde{P}_{i+1,j+1} \\ r_4 = \tilde{P}_{i+1,j} \end{array} \right. \quad \left\{ \begin{array}{l} s_1 = \tilde{q}_{i,j} \\ s_2 = \tilde{q}_{i,j+1} \\ s_3 = \tilde{q}_{i+1,j+1} \\ s_4 = \tilde{q}_{i+1,j} \end{array} \right.$$

On trouve les résultats suivants (voir chapitre 1).

$$\left\{ \begin{array}{l} b_1 = a_1 + \frac{h}{4} r_1 \\ b_2 = a_2 - \frac{h}{4} r_2 \\ b_3 = a_3 - \frac{h}{4} r_3 \\ b_4 = a_4 + \frac{h}{4} r_4 \end{array} \right.$$

$$\left\{ \begin{array}{l} c_1 = a_1 + \frac{h}{4} s_1 \\ c_2 = a_2 + \frac{h}{4} s_2 \\ c_3 = a_3 - \frac{h}{4} s_3 \\ c_4 = a_4 - \frac{h}{4} s_4 \end{array} \right.$$

$$\left\{ \begin{array}{l} d_1 = a_1 + \frac{h}{6} (r_1 + s_1) \\ d_2 = a_2 + \frac{h}{6} (s_2 - 2r_2) \\ d_4 = a_4 + \frac{h}{6} (r_4 - 2s_4) \end{array} \right.$$

$$\left\{ \begin{array}{l} e_2 = a_3 + \frac{h}{6} (2s_2 - r_2) \\ e_3 = a_3 - \frac{h}{6} (r_3 + s_3) \\ e_4 = a_4 + \frac{h}{6} (2r_4 - s_4) \end{array} \right.$$



On en déduit les autres B-coefficients :

$$\left\{ \begin{array}{l} m_1 = (b_1 + b_2)/2 \\ m_2 = (c_2 + c_3)/2 \\ m_3 = (b_3 + b_4)/2 \\ m_4 = (c_1 + c_4)/2 \end{array} \right.$$

$$\left\{ \begin{array}{l} n_1 = (d_1 + d_2)/2 \\ n_2 = (d_2 + d_4)/2 \\ n_4 = (d_1 + d_4)/2 \end{array} \right.$$

$$\left\{ \begin{array}{l} \theta_2 = (e_2 + e_3)/2 \\ \theta_3 = (e_3 + e_4)/2 \\ \theta_4 = (e_2 + e_4)/2 \end{array} \right.$$

$$\left\{ \begin{array}{l} f_2 = (d_2 + e_2)/2 \\ f_4 = (e_4 + d_4)/2 \end{array} \right.$$

$$\left\{ \begin{array}{l} \omega_1 = (d_1 + d_2 + d_4)/3 \\ \omega_2 = (n_2 + \theta_4)/2 = (f_2 + f_4)/2 \\ \omega_3 = (e_2 + e_3 + e_4)/3 \end{array} \right.$$

Les B-coefficients calculés, permettent donc d'avoir l'expression de S sur chacun des micro-triangles, et par conséquent sur tout le domaine Q_N .

Explication du calcul de S sur l'un des micro-triangles.

Sur $(A_1 M, \Omega_1)$ par exemple : sur ce triangle S s'écrit :

$$S(\lambda_1, \lambda_2, \lambda_3) = a_1 \lambda_1^2 + m_1 \lambda_2^2 + \omega_1 \lambda_3^2 + 2b_1 \lambda_1 \lambda_2 + 2n_1 \lambda_2 \lambda_3 + 2\lambda_1 \lambda_1 \lambda_3$$

$(\lambda_1, \lambda_2, \lambda_3)$ étant les coordonnées barycentriques de ce triangle avec

$$\begin{cases} \lambda_1 = -\frac{2}{h}x - \frac{1}{h}y + 1 \\ \lambda_2 = \frac{2}{h}(x-y) \\ \lambda_3 = \frac{3}{h}y \end{cases}$$

2) - Calcul des dérivées partielles de la spline.

On sait que pour exprimer l'énergie, on doit calculer les dérivées partielles secondes de la spline.

On a donc :

$$\begin{aligned} \frac{\partial s}{\partial x} &= \frac{\partial s}{\partial \lambda_1} \cdot \frac{\partial \lambda_1}{\partial x} + \frac{\partial s}{\partial \lambda_2} \cdot \frac{\partial \lambda_2}{\partial x} + \frac{\partial s}{\partial \lambda_3} \cdot \frac{\partial \lambda_3}{\partial x} \\ &= (2\omega_1 \lambda_1 + 2b_1 \lambda_2) \left(-\frac{2}{h}\right) + (2m_1 \lambda_2 + 2b_1 \lambda_1) \left(\frac{2}{h}\right) \\ &= \frac{4}{h} [\lambda_1 (b_1 - a_1) + \lambda_2 (m_1 - b_1)]. \end{aligned}$$

Posons :

$$\begin{aligned} \frac{\partial s}{\partial x} &= s'_1 \\ \frac{\partial^2 s}{\partial x^2} &= \frac{\partial s'_1}{\partial \lambda_1} \cdot \frac{\partial \lambda_1}{\partial x} + \frac{\partial s'_1}{\partial \lambda_2} \cdot \frac{\partial \lambda_2}{\partial x} + \frac{\partial s'_1}{\partial \lambda_3} \cdot \frac{\partial \lambda_3}{\partial x} \\ &= \frac{8(a_1 - 2b_1 + m_1)}{h^2} = \frac{1}{h^2} (-4a_1 + 4a_2 - 3hr_1 - hr_2) \end{aligned}$$

Le tableau suivant représente les dérivées partielles secondes sur chacun des trois micro-triangles $(A_1 M_1 \Omega_1)$, $(M_1 A_2 \Omega_1)$, $(\Omega_1 A_2 \Omega_2)$.

Les expressions de ces dérivées sur les autres micro-triangles s'en déduisent par symétrie.



	$t_1 = (A_1 M_1 \Omega_1)$	$t_2 = (M_1 A_2 \Omega_1)$	$t_3 = (\Omega_1 A_2 \Omega_2)$
$\frac{\partial^2 s}{\partial x^2}$	$\frac{1}{h} (-4a_1 + 4a_2 - 3hr_1 - hr_2)$	$\frac{1}{h} (4a_1 - 4a_2 + hr_1 + 3hr_2)$	$\frac{1}{h^2} (6a_1 - 4a_2 - 2a_4 + hr_1 + hs_1 + 3hr_2 + hs_4)$
$\frac{\partial^2 s}{\partial x \partial y}$	$\frac{1}{h} (-2a_1 + 2a_2 - hr_1 - hs_1 - hr_2 + hs_2)$	$\frac{1}{h} (2a_1 - 2a_2 + hr_1 - hs_1 + hr_2 - hs_2)$	$\frac{1}{h} (6a_1 - 2a_2 - 4a_4 + hr_1 + hs_1 + hr_2 + hs_2 + 2hs_4)$
$\frac{\partial^2 s}{\partial y^2}$	$\frac{1}{h} (-4a_1 - 2a_2 + 6a_4 - 3hs_1 + hr_2 - hs_2 + hr_4 - 2hs_4)$	$\frac{1}{h} (-2a_1 - 4a_2 + 6a_4 + hr_1 - 3hs_1 + 2hr_2 - hs_2 + hr_4 - 2hs_4)$	$\frac{1}{h} (6a_1 - 4a_2 - 2a_4 + hr_1 + hs_1 + 2hr_2 - hs_2 + hr_4 + 2hs_4)$

3°) - Expression de l'énergie au voisinage d'un point A_{ij} de Q_N .

La figure suivante représente un point A_{ij} du domaine, avec la mise en évidence des macro-triangles qui le contiennent. Evidemment sur les bords, il y a un, deux ou trois triangles qui contiennent A_{ij} , suivant les cas.

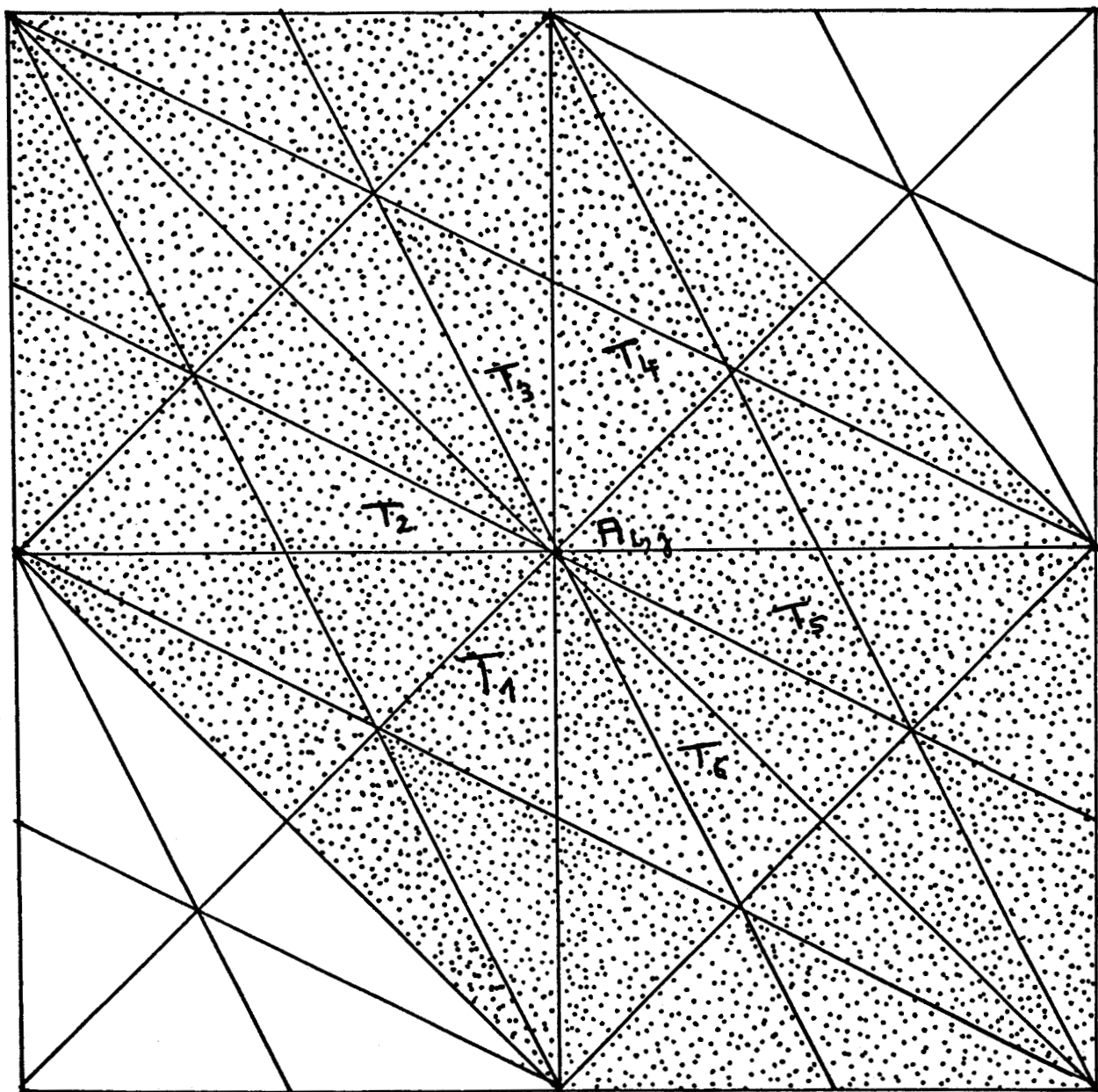


Figure 3. Représentation d'un point A_{ij} du domaine avec les macro-triangles T_i ($1 \leq i \leq 6$) qui le contiennent.

On a posé précédemment

$$E = \iint_{QN} G(x,y) dx dy = \sum_{k,l} \iint_{t_{k,l}} G_{k,l}(x,y) dx dy$$

avec

$$G_{k,l} = G/t_{k,l} \text{ pour } 1 \leq k \leq 2N^2 \text{ et } 1 \leq l \leq 6$$

d'où

$$E = \sum_{k,l} \text{mes } t_{k,l} G_{k,l} = \frac{h^2}{12} \sum_{k,l} G_{k,l}$$

Pour minimiser E, il suffit donc de considérer

$$E' = \sum_{k,l} G_{k,l}$$

On considère maintenant le point A_{ij} donné sur la figure précédente (Fig. 3).

On pose :

$$S_k = S/T_k \quad 1 \leq k \leq 6$$

(Les T_k étant les macro-triangles qui contiennent ce point A_{ij}).

Soit

$$\begin{aligned} E'_{ij} &= \sum_{k=1}^6 \left(\frac{\partial^2 S_k}{\partial x^2} \right)^2 + 2 \left(\frac{\partial^2 S_k}{\partial x \partial y} \right)^2 + \left(\frac{\partial^2 S_k}{\partial y^2} \right)^2 \\ &= \sum_{k=1}^6 \sum_{l=1}^6 G_{k,l} \end{aligned}$$

Remarque 2.

Pour A_{ij} ($1 \leq i, j \leq N'$) appartenant à Q_N , l'expression de $E'_{i,j}$ est exactement la partie de celle de G , contenant p_{ij} et q_{ij} . Or le problème qu'on se pose, est celui de minimiser l'énergie E , on pourrait donc considérer le système

$$(S) \begin{cases} \frac{\partial E'}{\partial \tilde{p}_{ij}} = 0 \\ \frac{\partial E'}{\partial \tilde{q}_{ij}} = 0 \end{cases} \quad 1 \leq i, j \leq N'$$

On arrive ainsi au problème suivant :

Trouver

$$(\tilde{p}_{ij}, \tilde{q}_{ij})_{1 \leq i, j \leq N+1}$$

solution du système (S).

Donnons d'abord quelques résultats :

Exemple.

Pour $N = 5$ on a :

$$\begin{aligned} \frac{\partial E'}{\partial \tilde{p}_{22}} = & h^2(448 \tilde{p}_{22} - 32 \tilde{q}_{22} + 20 \tilde{p}_{12} - 4 \tilde{q}_{12} + 152 \tilde{p}_{21} \\ & - 4 \tilde{q}_{21} + 44 \tilde{p}_{31} + 8 \tilde{q}_{31} + 20 \tilde{p}_{32} - 4 \tilde{q}_{32} \\ & + 152 \tilde{p}_{23} - 4 \tilde{q}_{23} + 44 \tilde{p}_{13} + 8 \tilde{q}_{13}) \\ & + h(24 a_{12} + 400 a_{21} + 40 a_{31} - 24 a_{32} - 400 a_{23} - 40 a_{13}). \end{aligned}$$

$$\begin{aligned} \frac{\partial E'}{\partial \tilde{q}_{22}} &= h^2 (-32 \tilde{p}_{22} + 448 \tilde{q}_{22} - 4 \tilde{p}_{12} + 152 \tilde{q}_{12} - 4 \tilde{p}_{21} + 20 \tilde{q}_{21} \\ &\quad + 8 \tilde{p}_{31} + 44 \tilde{q}_{31} - 4 \tilde{p}_{32} + 152 \tilde{q}_{32} - 4 \tilde{p}_{23} + 20 \tilde{q}_{23} \\ &\quad + 8 \tilde{p}_{13} + 44 \tilde{q}_{13}). \\ &+ h(400 a_{12} + 24 a_{21} - 40 a_{31} - 400 a_{32} - 24 a_{23} + 40 a_{13}). \end{aligned}$$

$$\begin{aligned} \frac{\partial E'}{\partial \tilde{p}_{11}} &= h^2 (90 \tilde{p}_{11} + 4 \tilde{q}_{11} + 76 \tilde{p}_{12} - 10 \tilde{q}_{12} + 10 \tilde{p}_{21} + 6 \tilde{q}_{21}) \\ &+ h(176 a_{11} - 176 a_{12}) \end{aligned}$$

$$\begin{aligned} \frac{\partial E'}{\partial \tilde{q}_{11}} &= h^2 (4 \tilde{p}_{11} + 90 \tilde{q}_{11} + 6 \tilde{p}_{12} + 10 \tilde{q}_{12} - 10 \tilde{p}_{21} + 76 \tilde{q}_{21}) \\ &+ h(176 a_{11} - 176 a_{21}). \end{aligned}$$

$$\begin{aligned} \frac{\partial E'}{\partial \tilde{p}_{12}} &= h^2 \{ 76 \tilde{p}_{11} + 6 \tilde{q}_{11} + 20 \tilde{p}_{22} - 4 \tilde{q}_{22} + 224 \tilde{p}_{12} \\ &\quad - 16 \tilde{q}_{12} + 44 \tilde{p}_{21} + 8 \tilde{q}_{21} + 76 \tilde{p}_{13} - 10 \tilde{q}_{13} \} \\ &+ h \{ 224 a_{11} - 24 a_{22} - 64 a_{12} + 40 a_{21} - 176 a_{13} \} \end{aligned}$$

$$\begin{aligned} \frac{\partial E'}{\partial \tilde{q}_{12}} &= h^2 \{ -10 \tilde{p}_{11} + 10 \tilde{q}_{11} - 4 \tilde{p}_{22} + 152 \tilde{q}_{22} - 16 \tilde{p}_{12} + 224 \tilde{q}_{12} \\ &\quad + 8 \tilde{p}_{21} + 44 \tilde{q}_{21} + 6 \tilde{p}_{13} + 10 \tilde{q}_{13} \} \\ &+ h \{ 24 a_{11} - 400 a_{22} + 416 a_{12} - 40 a_{21} \} \end{aligned}$$

$$\begin{aligned} \frac{\partial E'}{\partial \tilde{p}_{21}} &= h^2 \{ 10 \tilde{p}_{11} - 10 \tilde{q}_{11} + 152 \tilde{p}_{22} - 4 \tilde{q}_{22} + 44 \tilde{p}_{12} + 8 \tilde{q}_{12} \\ &\quad + 224 \tilde{p}_{21} - 16 \tilde{q}_{21} + 10 \tilde{p}_{31} + 6 \tilde{q}_{31} \} \\ &\quad + h \{ 24 a_{11} - 400 a_{22} - 40 a_{12} + 416 a_{21} \}. \end{aligned}$$

$$\begin{aligned} \frac{\partial E'}{\partial \tilde{q}_{21}} &= h^2 \{ 6 \tilde{p}_{11} + 76 \tilde{q}_{11} - 4 \tilde{p}_{22} + 20 \tilde{q}_{22} + 8 \tilde{p}_{12} + 44 \tilde{q}_{12} \\ &\quad - 16 \tilde{p}_{21} + 224 \tilde{q}_{21} - 10 \tilde{p}_{31} + 76 \tilde{q}_{31} \} \\ &\quad + h \{ -24 a_{22} + 224 a_{11} + 40 a_{12} - 64 a_{21} - 176 a_{31} \} \end{aligned}$$

$$\begin{aligned} \frac{\partial E'}{\partial \tilde{p}_{16}} &= h^2 \{ 44 \tilde{p}_{25} + 8 \tilde{q}_{25} + 10 \tilde{p}_{26} - 10 \tilde{q}_{26} + 134 \tilde{p}_{16} - 20 \tilde{q}_{16} \\ &\quad + 76 \tilde{p}_{15} + 6 \tilde{q}_{15} \} \\ &\quad + h \{ 40 a_{25} - 24 a_{26} - 240 a_{16} + 224 a_{15} \} \end{aligned}$$

$$\begin{aligned} \frac{\partial E'}{\partial \tilde{q}_{16}} &= h^2 \{ 8 \tilde{p}_{25} + 44 \tilde{q}_{25} + 6 \tilde{p}_{26} + 76 \tilde{q}_{26} - 20 \tilde{p}_{16} + 134 \tilde{q}_{16} \\ &\quad - 10 \tilde{p}_{15} + 10 \tilde{q}_{15} \} + h \{ -40 a_{25} - 224 a_{26} + 240 a_{16} + 24 a_{15} \}. \end{aligned}$$

$$\begin{aligned} \frac{\partial E'}{\partial \tilde{p}_{61}} &= h^2 \{ 44 \tilde{p}_{52} + 8 \tilde{q}_{52} + 76 \tilde{p}_{62} + 6 \tilde{q}_{62} + 134 \tilde{p}_{61} - 20 \tilde{q}_{61} \\ &\quad + 10 \tilde{p}_{51} - 10 \tilde{q}_{51} \} \\ &\quad + h \{ -40 a_{52} - 224 a_{62} + 240 a_{41} + 24 a_{51} \} \end{aligned}$$

$$\begin{aligned} \frac{\partial E'}{\partial \tilde{q}_{61}} &= h^2 \{ 8 \tilde{p}_{52} + 44 \tilde{q}_{52} - 10 \tilde{p}_{62} + 10 \tilde{q}_{62} - 20 \tilde{p}_{61} + 134 \tilde{q}_{61} \\ &\quad + 6 \tilde{p}_{51} + 76 \tilde{q}_{51} \} \\ &\quad + h \{ 40 a_{52} - 24 a_{62} - 240 a_{61} + 224 a_{51} \}. \end{aligned}$$

$$\begin{aligned} \frac{\partial E'}{\partial \tilde{p}_{66}} &= h^2 \{ 10 \tilde{p}_{56} + 6 \tilde{q}_{56} + 90 \tilde{p}_{66} + 4 \tilde{q}_{66} \\ &\quad + 76 \tilde{p}_{65} - 10 \tilde{q}_{65} \} \\ &\quad + h \{ -176 a_{66} + 176 a_{65} \} \end{aligned}$$

$$\begin{aligned} \frac{\partial E'}{\partial \tilde{q}_{66}} &= h^2 \{ -10 \tilde{p}_{56} + 76 \tilde{q}_{56} + 4 \tilde{p}_{66} + 90 \tilde{q}_{66} \\ &\quad + 6 \tilde{p}_{65} + 10 \tilde{q}_{65} \} \\ &\quad + h \{ 176 a_{56} - 176 a_{66} \}. \end{aligned}$$

III - RÉSOLUTION DU SYSTÈME.

Les calculs précédents montrent que le système (S) est équivalent au système :

$$(S') : AX = B.$$

$$X = (X_1, X_2, \dots, X_{N'}) \quad N' = N+1$$

$$B = (B_1, B_2, \dots, B_{N'})$$

$$X_i = (p_{i1} ; q_{i1} ; p_{i2} ; q_{i2} ; \dots, p_{iN'} ; q_{iN'})$$

$$B_i = (B_{i1}, B_{i2}, \dots, B_{i,2N'})$$

$L_2 =$

416	- 400			
- 64	- 24			
400	0	- 400		
24	0	- 24		
	400	0	- 400	
	24	0	- 24	
			400	0
			24	0
				400
				24
				- 400
				- 24
				- 416
				64

$L_3 =$

0	0			
- 176	0			
40	- 24			
- 40	- 400			
	40	- 24		
	- 40	- 400		
			40	- 24
			- 40	- 400
				40
				- 40
				- 24
				- 224



$$\begin{array}{l}
 D = \left[\begin{array}{cccc}
 D_0 & & & \\
 & D_1 & & \\
 & & D_1 & \\
 & & & D_1 \\
 & & & & D_1 & \\
 & & & & & 0 & D_2 \\
 & & & & & & & D_2
 \end{array} \right] \\
 \\
 u = \left[\begin{array}{cccc}
 0 & & & \\
 & E & & \\
 & & E & \\
 & & & E \\
 & & & & E \\
 & & & & & 0 \\
 & & & & & & 0
 \end{array} \right] \\
 \\
 L = \left[\begin{array}{cccc}
 0 & & & \\
 & E^T & & \\
 & & & \\
 & & & E^T & 0
 \end{array} \right]
 \end{array}$$



$$\begin{bmatrix} D_0 \\ \omega E^T D_1 \end{bmatrix} = \begin{bmatrix} x_1^{(k + \frac{1}{2})} \\ x_2^{(k + \frac{1}{2})} \\ x_{N'-1}^{(k + \frac{1}{2})} \\ x_{N'}^{(k + \frac{1}{2})} \end{bmatrix} = \begin{bmatrix} (1-\omega) D_0 - \omega E \\ (1-\omega) D_1 - \omega E \end{bmatrix} + \omega \begin{bmatrix} x_1^{(k)} \\ x_2^{(k)} \\ x_{N'-1}^{(k)} \\ x_{N'}^{(k)} \end{bmatrix} = \begin{bmatrix} B_1 \\ B_2 \\ B_{N'-1} \\ B_{N'} \end{bmatrix}$$

$$M_{\omega} x^{(k+1/2)} = M_{\omega} x^{(k)} + \omega B.$$



On obtient donc :

$$\left\{ \begin{array}{l} D_0 X_1^{(K+1/2)} = (1-\omega) D_0 X_1^{(K)} - \omega E X_2^{(K)} + \omega B_1 \\ \omega E^T X_1^{(K+1/2)} + D_1 X_2^{(K+1/2)} = (1-\omega) D_1 X_2^{(K)} - \omega E X_3^{(K)} + \omega B_2 \\ \\ \omega E^T X_{N'-1}^{(K+1/2)} + D_2 X_{N'}^{(K+1/2)} = (1-\omega) D_2 X_{N'}^{(K)} + \omega B_{N'} \end{array} \right.$$

Soit :

$$(1) \left\{ \begin{array}{l} D_0 X_1^{(K+1/2)} = (1-\omega) D_0 X_1^{(K)} - \omega (E X_2^{(K)} - B_1) \\ D_1 X_i^{(K+1/2)} = (1-\omega) D_1 X_i^{(K)} - (E X_{i+1}^{(K)} + E^T X_{i-1}^{(K+1/2)} - B_i) \\ \text{pour } 2 \leq i \leq N'-1 \\ D_2 X_{N'}^{(K+1/2)} = (1-\omega) D_2 X_{N'}^{(K)} - \omega (E^T X_{N'-1}^{(K+1/2)} - B_{N'}) \end{array} \right.$$

et pour (2) on trouve :

$$(2) \left\{ \begin{array}{l} D_2 X_{N'}^{(K+1)} = (1-\omega) D_2 X_{N'}^{(K+1/2)} - \omega (E^T X_{N'-1}^{(K+1/2)} - B_{N'}) \\ D_1 X_i^{(K+1)} = (1-\omega) D_1 X_i^{(K+1/2)} - \omega (E^T X_{i-1}^{(K+1/2)} + E X_{i+1}^{(K+1)} - B_i) \\ \text{N'-1} \leq i \leq 2 \\ D_0 X_1^{(K+1)} = (1-\omega) D_0 X_1^{(K+1/2)} - \omega (E X_2^{(K+1)} - B_1) \end{array} \right.$$

Chacun des systèmes (1) à (2) est forme de sous-systèmes $S_{k\ell}$ avec $1 \leq k \leq 2$ et $1 \leq \ell \leq 2N'$.

Pour résoudre chacun des systèmes $S_{k\ell}$, on utilise la décomposition L.U. (voir [5]).

$$\begin{bmatrix} c_0 \\ G \\ G^T \\ c_1 \\ G \\ G^T \\ c_1 \\ G \\ c_2 \end{bmatrix} = \begin{bmatrix} I \\ L_2 \\ I \\ I \\ L_2 \\ I \\ I \\ I \\ I \end{bmatrix} \begin{bmatrix} U_1 \\ U_2 \\ U_n \end{bmatrix} \begin{bmatrix} L_n \\ I \\ I \\ I \\ L_n \\ I \end{bmatrix}$$

Et donc :

$$Z_i = U_i^{-1}[Y_i - GY_{i+1}]$$

Remarque 4.

$$\begin{cases} Y_i = (Y_i^1, Y_i^2) & \text{pour } 1 \leq i \leq N' \text{ (} N' = N+1 \text{)} \\ Z_i = (Z_i^1, Z_i^2) \end{cases}$$

ce qui détermine le vecteur :

$$\begin{aligned} X_s^{(K+1/2)} &= (x_{1,s}^{(K+1/2)}, x_{2,s}^{(K+1/2)}, \dots, x_{2N',s}^{(K+1/2)}) \\ &= (Z_{11}, Z_{12}, Z_{21}, Z_{22}, \dots, Z_{N'_1}, Z_{N'_2}) \end{aligned}$$

Ce calcul est fait pour $s = 1, N'$; ce qui détermine complètement le vecteur

$$X^{(K+1/2)} = (X_1^{(K+1/2)}, \dots, X_{2N'}^{(K+1/2)})$$

Pour la résolution du système (2), on procède de la même manière.

4°) - Vecteur initial et test d'arrêt.

On sait que le vecteur X , cherché, a comme coordonnées, des valeurs proches de ceux de :

$$\bar{X} = \{(P_{ij}, Q_{ij}) \mid 1 \leq i, j \leq N\} \quad (N' = N+1)$$

avec

$$\begin{cases} P_{ij} = \frac{\partial f}{\partial x} (A_{ij}) \\ Q_{ij} = \frac{\partial f}{\partial y} (A_{ij}) \end{cases}$$

f étant la fonction donnée au début.

Sur X^0 le vecteur initial :

$$X^0 = \{(p_{ij}^0, q_{ij}^0) \mid 1 \leq i, j \leq N'\}$$

p_{ij}^0 et q_{ij}^0 étant les différences divisées de premier ordre calculées au point A_{ij} .

soit ε donné, très petit.

On considère deux vecteurs successifs appelés $X^{(K)}$ et $X^{(K+1)}$ ($K \in \mathbb{N}$).

On arrête l'algorithme quand :

$$\frac{\|X^{(K+1)} - X^{(K)}\|_{\infty}}{\|X^{(K)}\|_{\infty}} \leq \varepsilon$$

IV - QUELQUES RÉSULTATS PRATIQUES.

1°) - Exemple d'application.

Considérons la fonction :

$$f(x,y) = \text{Log}(1+x+y)$$

et soit

$$Q_N = [0,1] \times [0,1]$$

f est définie et continument dérivable sur Q_N .

Soit :

$$E \approx \sup_{i,j} (|\frac{\partial f}{\partial x}(A_{ij}) - \tilde{p}_{ij}| ; |\frac{\partial f}{\partial y}(A_{ij}) - \tilde{q}_{ij}|) = M$$

Le tableau suivant représente la variation de l'erreur en fonction de N , en prenant $\omega = 1,5$.

α est l'ordre de convergence (pour cette notion voir chapitre I).

N	E	α
3	0,10456966 10^{-1}	1,302
5	0,51409087 10^{-1}	1,253
7	0,337193007 10^{-1}	1,204
9	0,249127933 10^{-1}	1,17
11	0,197035274 10^{-1}	1,143
13	0,162787468 10^{-1}	1,124
15	0,138609135 10^{-1}	1,109
17	0,120648107 10^{-1}	1,087
19	0,106788169 10^{-1}	

2°) Estimation de l'erreur : comparaison de trois méthodes.

a) - Utilisation des splines cubiques.

Soit j_0 fixé, $1 \leq j_0 \leq N+1$ et soit S_1 la spline cubique interpolant f aux points A_{ij_0} ; $1 \leq i \leq N+1$ avec la méthode N A K de De Boor (voir [3]).
Dans ce cas :

$$P_{ij_0} = S_1'(A, j_0) \text{ pour } 1 \leq i \leq N+1.$$

De la même manière, pour i_0 fixé, on considère la spline S_2 interpolant f aux points A_{i_0j} ; $1 \leq j \leq N+1$.
Dans ce cas

$$\tilde{q}_{i_0j} = S_2'(A_{i_0j}) \text{ pour } 1 \leq j \leq N+1.$$

Soit :

$$M(h) = \sup_{i,j} (|P_{ij} - \tilde{p}_{ij}|, |q_{ij} - \tilde{q}_{ij}|).$$

D'après les résultats donnés dans [3], $M(h) = O(h^2)$ pour $f \in C^3$.

Soit S l'interpolant d'Hermite de f au sens de Powell-Sabin, en considérant les dérivées partielles premières exactes p_{ij} et q_{ij} ; et \tilde{S} l'interpolant d'Hermite de f , en considérant les dérivées partielles approchées \tilde{p}_{ij} et \tilde{q}_{ij} .

Alors on a :

$$S = \sum_{i,j} f_{ij} \phi_{ij} + \sum_{i,j} p_{ij} \chi_{ij} + \sum_{i,j} q_{ij} \psi_{ij}$$

$$\tilde{S} = \sum_{i,j} f_{ij} \phi_{ij} + \sum_{i,j} \tilde{p}_{ij} \chi_{ij} + \sum_{i,j} \tilde{q}_{ij} \psi_{ij}.$$

ϕ_{ij} , χ_{ij} et ψ_{ij} étant les fonctions de base.

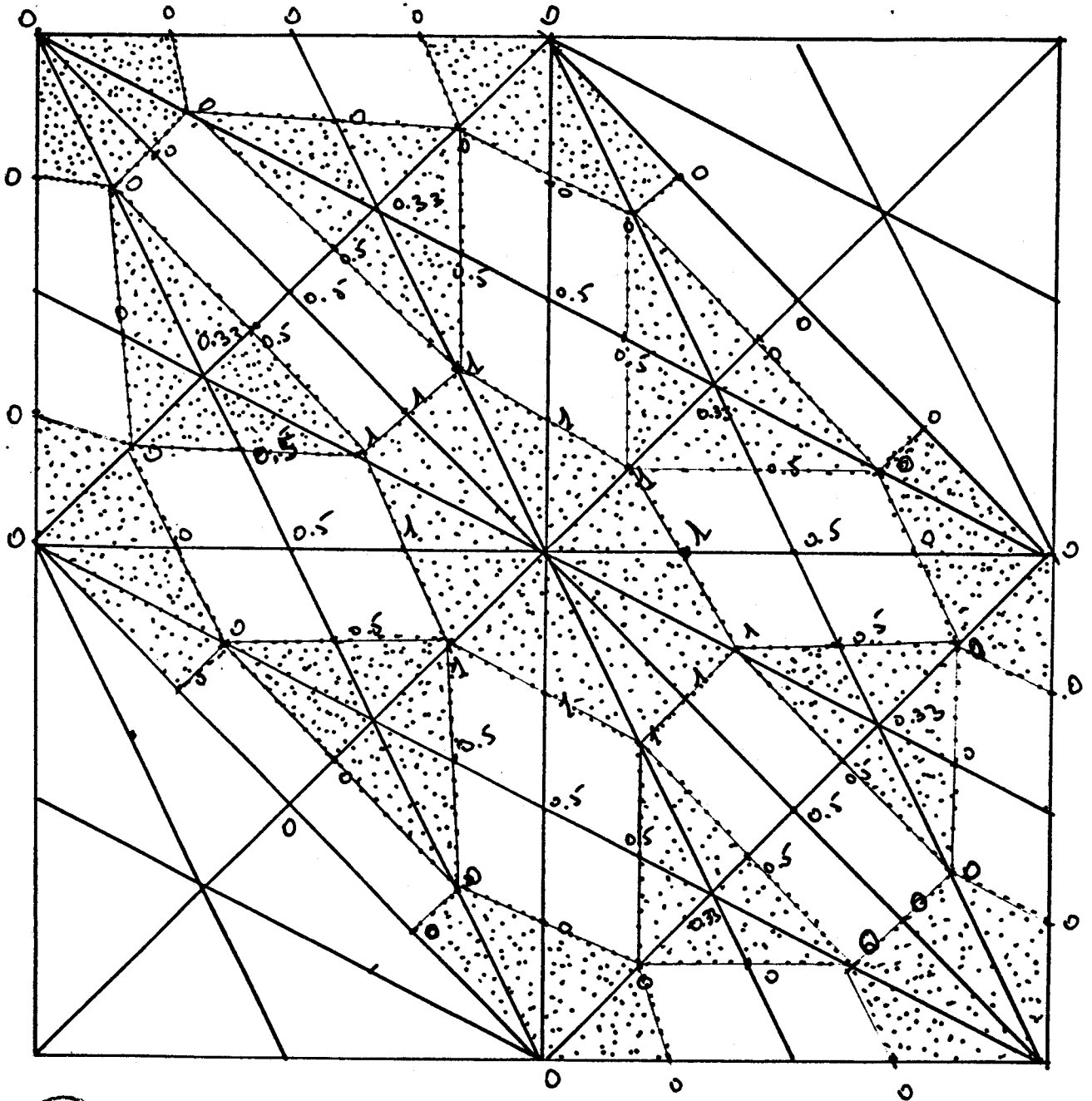


Figure 4. Fonction de base ϕ_{ij} (support hexagonal)

$$\begin{cases} \phi_{ij}(A_{i,j}) = 1 & \phi_{ij} = \partial_{10}\phi_{ij} = \\ \partial_{10}\phi_{ij}(A_{ij}) = \partial_{01}\phi_{ij}(A_{ij}) = 0 & \partial_{01}\phi_{ij} = 0 \end{cases}$$

aux autres points $A_{i',j'}$

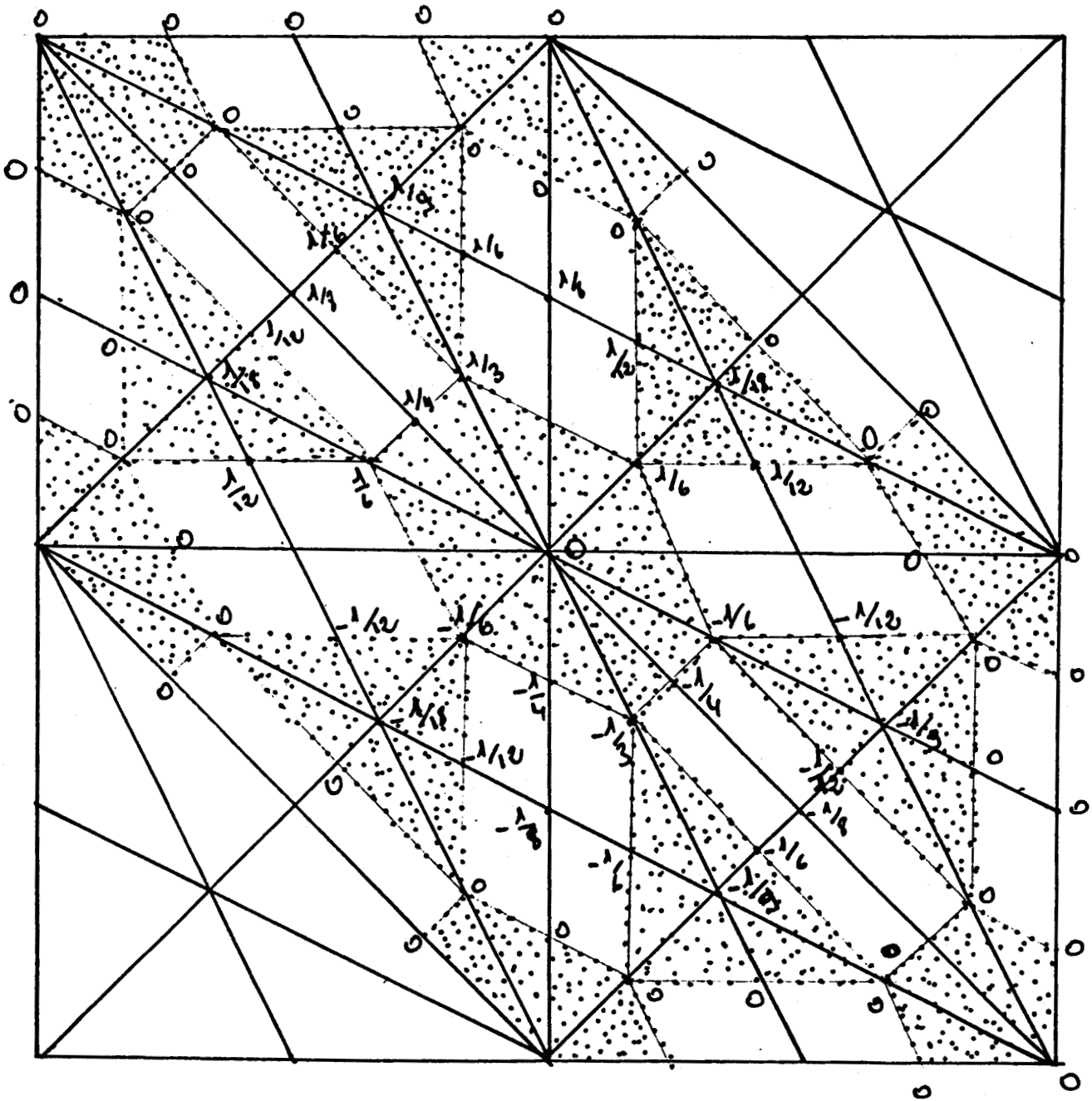


Figure 5. Fonction de base $\psi_{ij}(h)$.



$$\left. \begin{array}{l} \psi_{ij} = \partial_{10} \psi_{ij} = 0 \\ \partial_{01} \psi_{ij} = 1 \end{array} \right\}$$

au centre du support.

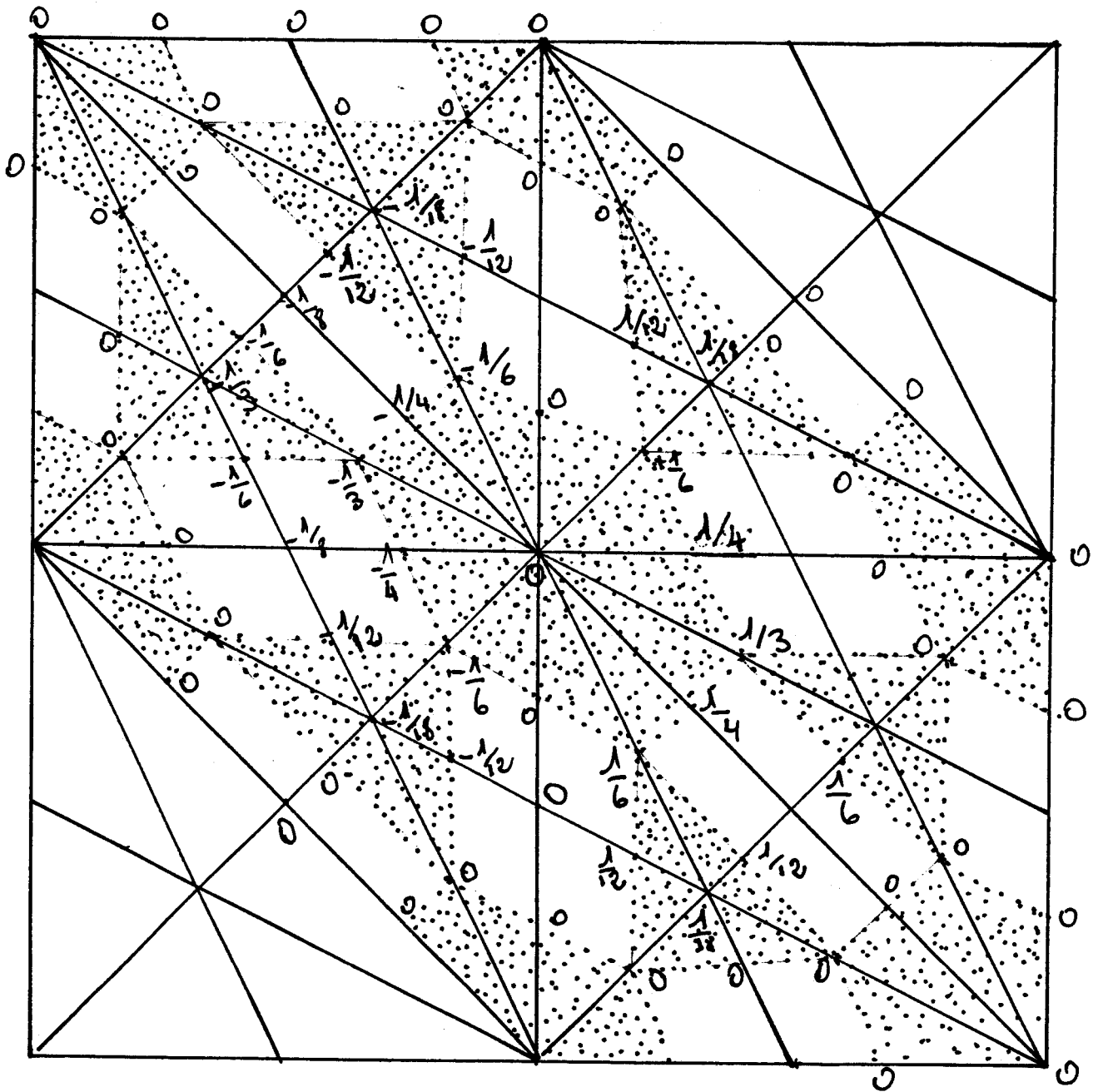


Figure 6. Fonction de base X_{ij}/h

$$\left. \begin{aligned} X_{ij} = \partial_{01} X_{ij} = 0 \\ \partial_{10} X_{ij} = 1 \end{aligned} \right\} \text{ au centre du support.}$$

On a :

$$\|f - \tilde{S}\|_{\infty} \leq \|f - S\|_{\infty} + \|S - \tilde{S}\|_{\infty}$$

Or d'après les résultats du premier chapitre

$$\|f - S\|_{\infty} = O(h^3)$$

$$\begin{aligned} \|S - \tilde{S}\| &\leq \sum_{i,j} |p_{ij} - \tilde{p}_{ij}| \|x_{ij}\|_{\infty} + \sum_{i,j} |q_{ij} - \tilde{q}_{ij}| \|\psi_{ij}\|_{\infty} \\ &\leq \sup_{i,j} (|p_{ij} - \tilde{p}_{ij}| ; |q_{ij} - \tilde{q}_{ij}|) \sum_{i,j} (\|x_{ij}\|_{\infty} + \|\psi_{ij}\|_{\infty}) \\ &= M(h) \sum_{i,j} (\|x_{ij}\|_{\infty} + \|\psi_{ij}\|_{\infty}) \end{aligned}$$

P. Sablonnière a démontré que :

$$\sum_{i,j} (\|x_{ij}\|_{\infty} + \|\psi_{ij}\|_{\infty}) = O(h).$$

Par conséquent

$$\|f - \tilde{S}\|_{\infty} = O(h^3)$$

b) - Utilisation des splines plaques minces locales.

Le problème est le suivant :

Etant donné un point $A_{i_0, j_0} \in \Omega$. On considère Ω_{i_0, j_0} la réunion de tous les triangles contenant A_{i_0, j_0} et f_{i_0, j_0} la spline plaque mince interpolant f aux points A_{ij} avec $A_{ij} \in \Omega_{i_0, j_0}$.

On approche la dérivée $\partial^\alpha f$ ($\alpha = (0,1)$ ou $(1,0)$) par la dérivée correspondante de $f^{A_{i_0, j_0}}$ calculée au point A_{i_0, j_0} .

Autrement dit dans ce cas

$$\begin{cases} P_{i_0, j_0}^y = \frac{\partial}{\partial x} f^{A_{i_0, j_0}}(A_{i_0, j_0}) \\ Q_{i_0, j_0}^x = \frac{\partial}{\partial y} f^{A_{i_0, j_0}}(A_{i_0, j_0}) \end{cases}$$

Le Mehauté a démontré dans [7] que

$$M(h) = O(h^2)$$

et par conséquent

$$\|f - \tilde{S}\|_\infty = O(h^3)$$

c) - Méthode de minimisation de l'énergie.

On a vu que :

$$\|S - \tilde{S}\| \leq M(h) \times O(h)$$

Les résultats numériques précédents montrent que dans ce cas :

$$M(h) = O(h)$$

et par conséquent

$$\|f - \tilde{S}\|_\infty = O(h^2)$$

d) - *Conclusion.*

L'erreur d'interpolation de la fonction f est nettement meilleure dans le cas des splines cubiques et splines plaques minces locales. Mais la méthode de minimisation de l'énergie peut se généraliser à une triangulation quelconque contrairement à celle des splines cubiques.

RÉFÉRENCES.

- [1] R. ARCANGELI et J.L. GOUT
"Sur l'évaluation de l'erreur d'interpolation de Lagrange dans un ouvert de \mathbb{R}^n ".
RAIRO Analyse Numérique, Vol. 3, Mars 1976, p. 5-27.
- [2] P.G. CIARLET et WAGSHAL C.
"Multipoint Taylor Formulas and applications to finite element Method".
Numer. Math. 17, p. 84-100 (1971).
- [3] DE BOOR C.
"A practical guide to splines".
Applied Mathematical Sciences, Volume 27.
- [4] GOUT J.L.
"Estimation de l'erreur d'interpolation d'Hermite dans \mathbb{R}^n ".
Numer.Math. 28 (1977), p. 407-429.
- [5] GENE H. GOLUB, CHARLES F. VAN LOAN
"Matrix Computation".
North Oxford Academic (1983).
- [6] KAMMERER REDDIEN and VARGA
"Quadratic interpolatory splines".
Numer.Math. 22, (1974), p. 241-259.
- [7] LE MEHAUTE
"Interpolation et approximation par des fonctions polynomiales par morceaux dans \mathbb{R}^n ".
Thèse de Doctorat ès Sciences, Université de Rennes, juin 1984.

- [8] P. SABLONNIERE
"Interpolation d'Hermite par des surfaces de classe C^1 quadratiques par morceaux".
Publication ANO 16, Laboratoire d'Analyse Numérique, Lille 1, Nov. 1979.
Les Méthodes Numériques de l'Ingénieur (GAMNI), Paris -1980 pp 175-185.
- [9] P. SABLONNIERE
"Error Bounds for Hermite interpolation by quadratic Splines on a triangulation".
Publication ANO 123, Laboratoire d'Analyse Numérique, Lille 1, Fevrier 1984.
Soumis à IMA Journal of Numerical Analysis.
- [10] P. SABLONNIERE
"Bases de Bernstein et approximants Splines".
Thèse de Doctorat às Sciences, Université de Lille 1, Juin 1982.
- [11] L.L. SCHUMAKER
"On the dimension of spaces of piecewise polynomials in two variables".
in "Multivariate approximation theory", W. Schempp, K. Zeller eds -
ISNM 51, Birkhäuser Verlag, Basel (1979).
- [12] P. SABLONNIERE
"Bernstein-Bézier Methods for the construction of bivariate spline approximants".
Computer Aided Geometric Design 2 (1985), p. 29-36.



RESUME.

Les splines quadratiques à deux variables sont les surfaces différentiables et polynomiales par morceaux les plus simples. Ce sont en effet des fonctions de $C^1(\Omega)$ (Ω domaine polygonal du plan) dont la restriction à chaque triangle T d'une triangulation de Ω est un élément de P_2 (espace des polynômes à deux variables de degré total inférieur ou égal à 2). Dans le cas où Ω est un carré muni d'une triangulation régulière, on donne deux algorithmes permettant de construire les interpolants splines quadratiques de Lagrange correspondant à deux choix particuliers des points d'interpolation. On donne également une estimation des normes des projecteurs associés.

On étudie ensuite l'interpolant d'Hermite d'une fonction en des points arbitraires de Ω : cette étude nécessite la connaissance des dérivées partielles de la fonction en ces points. On les estime d'une part en utilisant des splines cubiques à une variable, et d'autre part, en minimisant l'énergie de flexion d'une plaque mince.

Une étude de l'erreur est donnée pour chaque cas d'interpolation.



Mots clés.

*Interpolation de Lagrange à 2 variables.
Interpolation d' Hermite à 2 variables.
Splines quadratiques à 2 variables.
Éléments finis quadratiques.*

CLASSIFICATION AMS. 41A63 - 65D05 - 65D07 - 65M60.